

LAVORI DI COLLEGAMENTO TRA LA S.S.11 A MAGENTA E LA TANGENZIALE OVEST DI MILANO

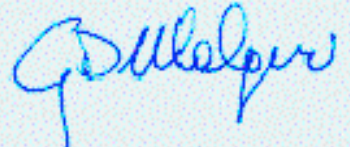
VARIANTE DI ABBIATEGRASSO E ADEGUAMENTO IN SEDE DEL TRATTO ABBIATEGRASSO-VIGEVANO FINO AL PONTE SUL FIUME TICINO

1° STRALCIO DA MAGENTA A VIGEVANO - TRATTA C

PROGETTO ESECUTIVO - COD. MI608

 <p>STUDIO CORONA</p>	 <p>Ing. Valerio Bajetti Ordine degli Ingg. di Roma e provincia n° A-26211</p>	<p>ING. RENATO DEL PRETE</p> <p>Ing. Renato Del Prete Ordine degli Ingg. di Bari e provincia n° 5073</p>	 <p>Arch. Nicoletta Frattini Ordine degli Arch. di Torino e provincia n° A-8433</p>	 <p>Ing. Gabriele Incecchi Ordine degli Ingg. di Roma e provincia n° A-12102</p>
	<p>Ing. Renato Vaira (Ordine degli Ingg. di Torino e Provincia n° 4663 W)</p>	 <p>Società designata: GA&M</p> <p>Prof. Ing. Matteo Ranieri Ordine degli Ingg. di Bari e provincia n° 1137</p>	<p>SETAC Srl Servizi & Engineering Trasporti Ambiente Costruzioni</p> <p>Prof. Ing. Luigi Monterisi Ordine degli Ingg. di Bari e provincia n° 1771</p>	<p>ARKE' INGEGNERIA s.r.l.</p> <p>Ing. Gioacchino Angarano Ordine degli Ingg. di Bari e provincia n° 5970</p>

VISTO: IL RESPONSABILE DEL PROCEDIMENTO



Dott. Ing. Giuseppe Danilo MALGERI

INTEGRATORE DELLE PRESTAZIONI SPECIALISTICHE



Ing. Fabrizio BAJETTI

GEOLOGO



Prof. Ing. Geol. Luigi MONTERISI

IL COORDINATORE DELLA SICUREZZA IN FASE DI PROGETTAZIONE



Ing. Gianluca CICIRIELLO

L0006

L - PROGETTO STRUTTURALE - TOMBINATURE IDRAULICHE

L00 - RELAZIONI TOMBINATURE E MANUFATTI

RELAZIONE DI CALCOLO TOMBINO SCATOLARE 250x150cm
SPESSORE DI RICOPRIMENTO H=1000CM

CODICE PROGETTO

PROGETTO LIV. PROG. N. PROG.

LO203 E 2301

NOME FILE

L0006-T00TM00STRRRE06_A.dwg

REVISIONE

SCALA:

CODICE ELAB. T00TM00STRRE06

A

C					
B					
A	EMISSIONE	Ottobre 2023	ING. MARTINA D'AVERSA	ING. GAETANO RANIERI	ING. FABRIZIO BAJETTI
REV.	DESCRIZIONE	DATA	REDATTO	VERIFICATO	APPROVATO

SOMMARIO

1	PREMESSA	4
2	DESCRIZIONE DELLE OPERE	4
3	NORMATIVA DI RIFERIMENTO	5
4	UNITA' DI MISURA	5
5	MATERIALI	6
5.1	Calcestruzzo	6
5.1.1	Calcestruzzo per opere di sottofondazione	6
5.1.2	Calcestruzzo per le opere strutturali prefabbricate	6
5.2	Acciaio	6
5.2.1	Acciaio per armatura lenta	6
5.3	Calcolo dei copriferri minimi	7
5.4	Valutazione della lunghezza di ancoraggio delle barre di armatura	8
6	CARATTERIZZAZIONE GEOTECNICA DEI TERRENI	10
7	ZONIZZAZIONE E CARATTERIZZAZIONE SISMICA	11
7.1	Identificazione della località e dei parametri sismici generali	11
7.2	Definizione della strategia progettuale	12
7.3	Parametri di calcolo	14
7.3.1	Parametri numerici sismici	14
7.3.2	Categoria dei terreni di fondazione e categoria topografica	14
7.3.3	Categoria dei terreni di fondazione e categoria topografica	14
7.3.4	Fattori di struttura	15
7.3.5	Definizione dello spettro di progetto	15
7.4	Definizione dei coefficienti sismici di calcolo	18
8	ANALISI DEI CARICHI	19
8.1	Sintesi delle dimensioni dello scatolare di calcolo	19
8.2	Carichi permanenti strutturali	19
8.2.1	Peso proprio delle strutture in cemento armato (g1)	19
8.3	Carichi permanenti non strutturali	19
8.3.1	Peso proprio della pavimentazione stradale (g2)	19
8.3.2	Peso del terreno di ricoprimento sulla soletta superiore (g3)	21
8.3.3	Spinta orizzontale dei terreni a tergo delle pareti verticali (g4, g5)	22
8.3.4	Spinta laterale dovuta ai sovraccarichi permanenti (g6, g7)	24
8.4	Carichi accidentali	25
8.4.1	Carichi accidentali da traffico agenti sulla soletta di copertura (q1a, q2a)	25
8.4.2	Spinta laterale dovuta ai sovraccarichi accidentali	30
8.4.3	Carichi accidentali agenti in fondazione (q3)	32
8.4.4	Azione della frenatura (q4)	33
8.4.5	Azione della neve	35
8.4.6	Azione del vento	35
8.5	Deformazioni impresse – effetti reologici	35
8.5.1	Ritiro della copertura	35
8.5.2	Azione termica longitudinale (q5)	36
8.5.3	Azione termica differenziale (q6)	36
8.6	Azioni eccezionali	36
8.6.1	Urto da autoveicolo in svio	36

8.7	Azione sismica.....	37
8.7.1	Azione inerziale delle masse (s_2)	37
8.7.2	Sovrappinta dinamica dei terreni (s_1).....	38
9	COMBINAZIONI DI CARICO.....	39
9.1	Definizione dei carichi elementari e dei coefficienti di partecipazione.....	39
9.2	Combinazioni di carico allo Stato Limite di Esercizio – Combinazioni quasi- permanenti	44
9.3	Combinazioni di carico allo Stato Limite di Esercizio – Combinazioni frequenti.....	45
9.4	Combinazioni di carico allo Stato Limite di Esercizio – Combinazioni caratteristiche.....	48
9.5	Combinazioni di carico allo Stato Limite Ultimo statiche.....	58
9.6	Combinazione di carico sismiche	69
10	MODELLO DI CALCOLO	70
10.1	Descrizione del modello di calcolo.....	70
10.2	Identificazione degli elementi e dei nodi del modello di calcolo.....	71
11	Applicazione dei carichi elementari	72
11.1	Carichi permanenti dovuti al peso della pavimentazione stradale (g_2).....	72
11.2	Carichi permanenti dovuti al peso del terreno di ricoprimento (g_3)	72
11.3	Spinta del terreno sul ritto sinistro ($g_{4,1}$)	73
11.4	Spinta del terreno sul ritto destro ($g_{5,1}$)	73
11.5	Spinta del sovraccarico permanente sul ritto sinistro ($g_{6,1}$).....	74
11.6	Spinta del sovraccarico permanente sul ritto destro ($g_{7,1}$).....	74
11.7	Azione del ritiro sulla soletta superiore (e_1).....	75
11.8	Carico accidentale da traffico concentrato diffuso – Disposizione 1 ($q_{1a,1}$)	75
11.9	Carico accidentale da traffico concentrato diffuso – Disposizione 2 ($q_{1a,2}$)	76
11.10	Carico accidentale da traffico concentrato diffuso – Disposizione 3 ($q_{1a,3}$)	76
11.11	Carico accidentale da traffico concentrato diffuso – Disposizione 4 ($q_{1a,4}$)	77
11.12	Carico accidentale da traffico distribuito (q_{2a})	77
11.13	Spinta del sovraccarico accidentale da traffico concentrato diffuso sul ritto sinistro ($q_{1b,1,1}$)	78
11.14	Spinta del sovraccarico accidentale da traffico concentrato diffuso sul ritto destro ($q_{1b,2,1}$)	78
11.15	Spinta del sovraccarico accidentale da traffico distribuito sul ritto sinistro ($q_{2b,1,1}$)	79
11.16	Spinta del sovraccarico accidentale da traffico distribuito sul ritto destro ($q_{2b,2,1}$)	79
11.17	Carico idrostatico accidentale agente sulla soletta inferiore (q_3).....	80
11.18	Azione orizzontale della frenatura sulla soletta superiore (q_4).....	80
11.19	Azione termica longitudinale sulla soletta superiore (q_5).....	81
11.20	Azione termica differenziale (q_6).....	81
11.21	Sovrappinta dinamica del terreno sul ritto sinistro (s_1)	82
11.22	Azione inerziale orizzontale della soletta superiore e dei carichi permanenti di pertinenza (s_{2a})	82
11.23	Azione inerziale orizzontale della soletta inferiore e dei carichi permanenti di pertinenza (s_{2b})	83
11.24	Azione inerziale orizzontale del ritto sinistro (s_{2c}).....	83
11.25	Azione inerziale orizzontale del ritto destro (s_{2d}).....	84
12	VALUTAZIONE DELLE AZIONI SOLLECITANTI	85
12.1	Combinazioni SLE – Quasi Permanenti.....	85
12.2	Combinazioni SLE – Frequenti.....	87
12.3	Combinazioni SLE – Caratteristiche	88
12.4	Combinazioni SLU.....	90

13	ARMATURA DEL TOMBINO.....	92
14	VERIFICHE STRUTTURALI CANNA TOMBINO.....	93
14.1	Verifiche soletta superiore.....	93
14.1.1	Definizione delle azioni sollecitanti di calcolo.....	93
14.1.2	Sezione ed armatura di verifica.....	94
14.1.3	Verifica allo Stato Limite di Limitazione delle tensioni – Combinazione Quasi Permanente.....	94
14.1.4	Verifica allo Stato Limite di Limitazione delle tensioni – Combinazione Frequente... ..	95
14.1.5	Verifica allo Stato Limite di Limitazione delle tensioni – Combinazione Caratteristica.....	96
14.1.6	Verifica allo Stato Limite di Fessurazione.....	97
14.1.7	Verifica allo Stato Limite di Fessurazione – Combinazione Quasi Permanente.....	98
14.1.8	Verifica allo Stato Limite di Fessurazione – Combinazione Frequente.....	99
14.1.9	Verifica allo Stato Limite Ultimo per pressoflessione.....	100
14.1.10	Verifica allo Stato Limite Ultimo per taglio.....	101
14.2	Verifiche dei ritri.....	102
14.2.1	Definizione delle azioni sollecitanti di calcolo.....	102
14.2.2	Sezione ed armatura di verifica.....	103
14.2.3	Verifica allo Stato Limite di Limitazione delle tensioni – Combinazione Quasi Permanente.....	103
14.2.4	Verifica allo Stato Limite di Limitazione delle tensioni – Combinazione Frequente.....	104
14.2.5	Verifica allo Stato Limite di Limitazione delle tensioni – Combinazione Caratteristica.....	105
14.2.6	Verifica allo Stato Limite di Fessurazione.....	106
14.2.7	Verifica allo Stato Limite Ultimo per pressoflessione.....	107
14.2.8	Verifica allo Stato Limite Ultimo per taglio.....	108
14.3	Verifiche soletta inferiore.....	109
14.3.1	Definizione delle azioni sollecitanti di calcolo.....	109
14.3.2	Sezione ed armatura di verifica.....	110
14.3.3	Verifica allo Stato Limite di Limitazione delle tensioni – Combinazione Quasi Permanente.....	110
14.3.4	Verifica allo Stato Limite di Limitazione delle tensioni – Combinazione Frequente.....	111
14.3.5	Verifica allo Stato Limite di Limitazione delle tensioni – Combinazione Caratteristica.....	112
14.3.6	Verifica allo Stato Limite di Fessurazione.....	113
14.3.7	Verifica allo Stato Limite di Fessurazione – Combinazione Quasi permanente.....	114
14.3.8	Verifica allo Stato Limite di Fessurazione – Combinazione Frequente.....	115
14.3.9	Verifica allo Stato Limite Ultimo per pressoflessione.....	116
14.3.10	Verifica allo Stato Limite Ultimo per taglio.....	117

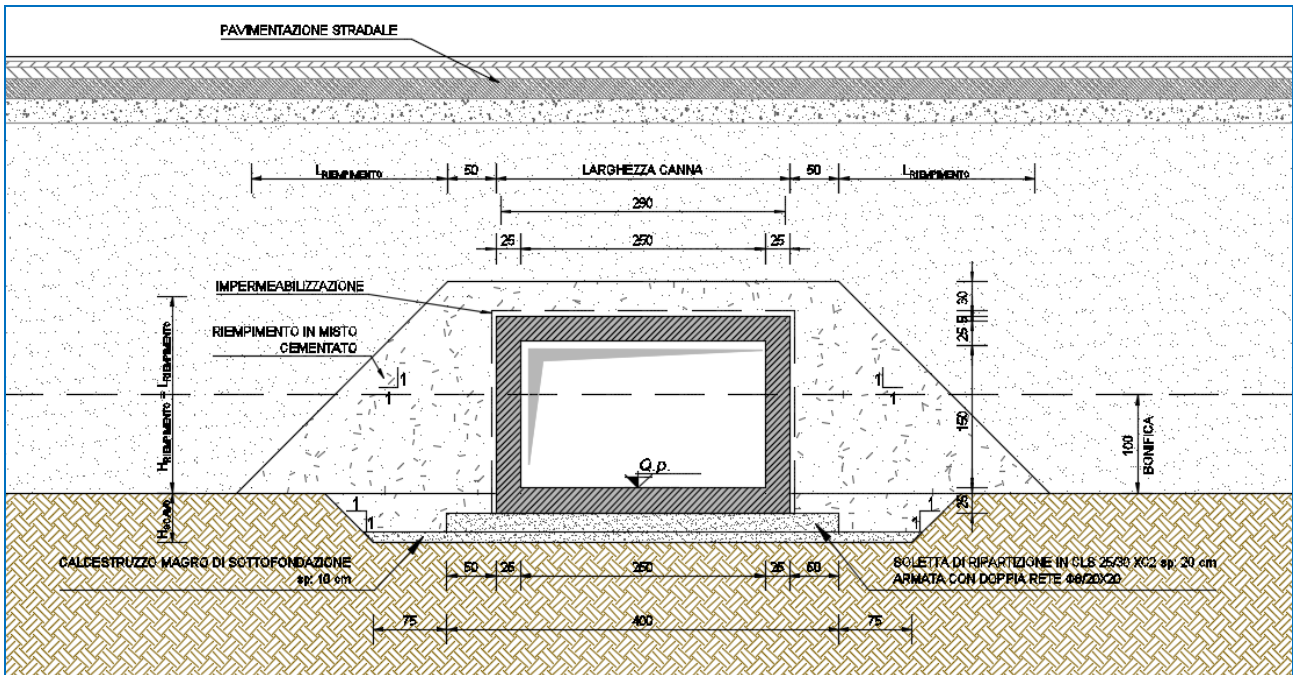
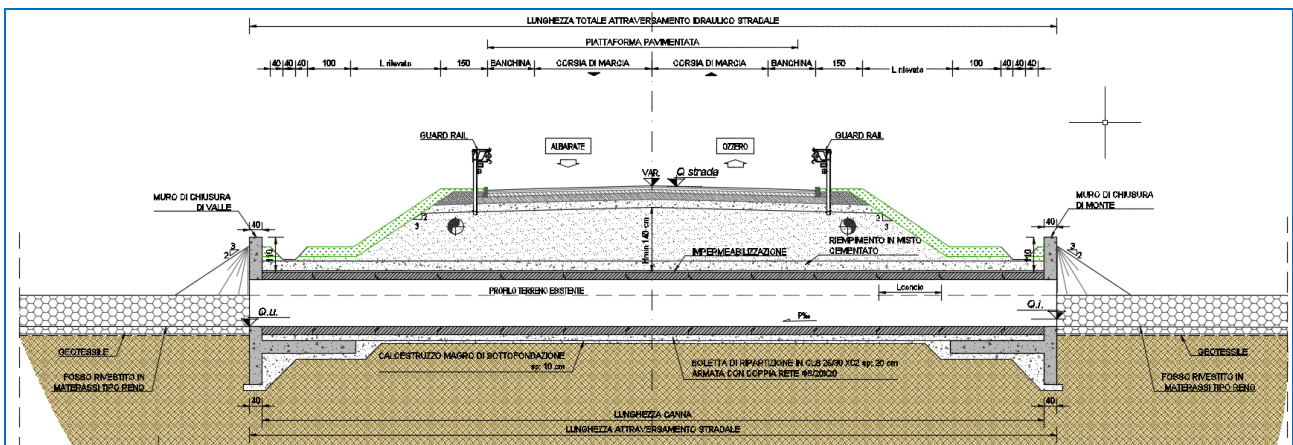
1 PREMESSA

La presente relazione di calcolo riporta la descrizione, il dimensionamento e le verifiche strutturali e geotecniche dei tombini scatolari aventi dimensioni 2,50 x 1,50 m ed altezza di ricoprimento media 10,00 m, nell'ambito del progetto esecutivo "Lavori di collegamento tra la S.S. n.11 a Magenta e la tangenziale Ovest di Milano – Variante di Abbiategrasso ed adeguamento in sede del tratto Abbiategrasso-Vigevano fino al ponte sul fiume Ticino".

2 DESCRIZIONE DELLE OPERE

L'opera in esame è un tombino scatolare di attraversamento su strada principale, prefabbricato, di dimensioni 2,50x1,50m. Lo spessore della soletta superiore ed inferiore e dei piedritti è pari a 0,25m. Si riportano nelle figure seguenti le caratteristiche dell'opera.

Si riportano nelle figure seguenti le caratteristiche dell'opera.



3 NORMATIVA DI RIFERIMENTO

La presente relazione è stata redatta in osservanza delle seguenti Normative Tecniche:

- **Legge 05/01/1971 n.1086** → Norme per la disciplina delle opere in conglomerato cementizio armato, normale e precompresso ed a struttura metallica
- **Legge 02/02/1974 n. 64** → Provvedimenti per le costruzioni con particolari prescrizioni per le zone sismiche
- **DM 17/01/2018** → Nuove Norme Tecniche per le Costruzioni
- **UNI EN 1992-1 (Eurocodice 2 – Parte 1)** → Progettazione delle strutture in calcestruzzo – Regole generali
- **UNI EN 1992-2 (Eurocodice 2 – Parte 2)** → Progettazione delle strutture in calcestruzzo – Ponti
- **UNI EN 1998-5 (Eurocodice 8) – Gennaio 2015** → Progettazione delle strutture per la resistenza sismica – Parte 5: Fondazioni, strutture di contenimento ed aspetti geotecnici
- **UNI EN 206-1:2016** → Calcestruzzo – Specificazione, prestazione, produzione e conformità
- **UNI 11104:2016** → Calcestruzzo – Specificazione, prestazione, produzione e conformità – Specificazioni complementari per l'applicazione della EN 206
- **Servizio Tecnico Centrale della Presidenza del Consiglio Superiore dei LL.PP. Linee guida sul calcestruzzo strutturale**

4 UNITA' DI MISURA

Nei calcoli è stato fatto uso delle seguenti unità di misura:

- per i carichi: $\text{kN/m}^2, \text{kN/m}, \text{kN}$
- per i momenti: kNm
- per i tagli e sforzi normali: kN
- per le tensioni: N/mm^2
- per le accelerazioni: m/sec^2

5 MATERIALI

5.1 CALCESTRUZZO

5.1.1 CALCESTRUZZO PER OPERE DI SOTTOFONDAZIONE

Per le opere di sottofondazione è stato previsto un calcestruzzo con classe di resistenza **C12/15** e classe di esposizione **X0**.

Tale calcestruzzo non ha valenza strutturale e quindi non se ne riportano le caratteristiche meccaniche.

5.1.2 CALCESTRUZZO PER LE OPERE STRUTTURALI PREFABBRICATE

Per le opere interrato e contro terra è stato previsto un calcestruzzo con classe di resistenza **C35/45** con le seguenti caratteristiche meccaniche:

CARATTERISTICHE MECCANICHE DEI CALCESTRUZZI - D.M. 14.01.2018			
Classe di resistenza del calcestruzzo		C35/45	<input type="button" value="▼"/>
Resistenza caratteristica cubica a compressione	R_{ck}	45,00	[N/mm ²]
Resistenza caratteristica cilindrica a compressione	f_{ck}	37,35	[N/mm ²]
Resistenza cilindrica media a compressione a 28 gg	f_{cm}	45,35	[N/mm ²]
Resistenza di calcolo a compressione	f_{cd}	21,17	[N/mm ²]
Resistenza media a trazione	f_{ctm}	3,35	[N/mm ²]
Resistenza caratteristica a trazione	f_{ctk}	2,35	[N/mm ²]
Resistenza di calcolo a trazione	f_{ctd}	1,56	[N/mm ²]
Modulo elastico istantaneo	E_c	38.236,76	[N/mm ²]
Modulo elastico medio	E_{cm}	33.877,87	[N/mm ²]

5.2 ACCIAIO


5.2.1 ACCIAIO PER ARMATURA LENTA

Per le armature lente è stato previsto un acciaio del tipo **B450C**, con le seguenti caratteristiche meccaniche:

- $f_{t,k}$ = 540,00 N/mm² (resistenza caratteristica a rottura)
- $f_{y,k}$ = 450,00 N/mm² (tensione caratteristica di snervamento)
- $f_{y,d}$ = 391,30 N/mm² (tensione di snervamento di calcolo - $\gamma_c=1,15$)
- E_s = 210.000,00 N/mm² (modulo elastico istantaneo)

5.3 CALCOLO DEI COPRIFERRI MINIMI

Ai sensi delle prescrizioni di cui alla normativa vigente e con riferimento alla procedura di calcolo prevista dalla Circolare Applicativa (riferita alla normativa del 2008 ma a tutt'oggi valida) si riporta di seguito il calcolo del copriferro minimo inteso come ricoprimento delle barre:

	CODICE FILE	MAT-02	
	OGGETTO:	CALCOLO COPRIFERRO	
Definizione della condizioni ambientali (TABELLA 4.1.IV - Descrizione delle condizioni ambientali)			
Condizioni ambientali	Classe di esposizione	Classe di esposizione di progetto	
Ordinarie	X0, XC1, XC2, XC3, XF1	XC4 <input type="button" value="v"/>	
Aggressive	XC4, XD1, XS1, XA1, XA2, XF2, XF3	Condizioni ambientali di progetto	
Molto Aggressive	XD2, XD3, XS2, XS3, XA3, XF4	Aggressivo	
Definizione della classi di resistenza rispetto alla Tabelle C4.1.IV			
Classe minima Cmin	Classe di resistenza del calcestruzzo	Classe di resistenza del calcestruzzo	
C28/35	Barre da c.a. altri elementi <input type="button" value="v"/>	C35/45 <input type="button" value="v"/>	
Classe C0	Vita Nominale dell'opera	Produzioni sottoposte a controllo qualità	
C45/55	50 Anni <input type="button" value="v"/>	SI <input type="button" value="v"/>	
Determinazione del copriferro minimo (Tab. C4.1.IV)			
Copriferro minimo ai sensi della tabella e delle precisazioni di cui al capitolo C4.1.6.1.3 della Circolare Applicativa		30	mm
Tolleranza costruttiva		5	mm
COPRIFERRO MINIMO DI PROGETTO		35	mm

5.4 VALUTAZIONE DELLA LUNGHEZZA DI ANCORAGGIO DELLE BARRE DI ARMATURA

Le Norme Tecniche per le Costruzioni (NTC 2018) e l'Eurocodice 2 (EC2 – EN1992) indicano sinteticamente le prescrizioni per calcolare la lunghezza minima di ancoraggio delle armature in modo che quest'ultime riescano ad assorbire le forze di trazione che il calcestruzzo non è in grado di sopportare.

Al paragrafo 5.2.2.3 dell'EC2 viene riportata la definizione della lunghezza di ancoraggio di base.

Essa è la lunghezza rettilinea necessaria per ancorare una barra soggetta alla forza ($f_{yd} \cdot A_s$) avendo assunto una tensione costante all'interfaccia acciaio-calcestruzzo pari a f_{bd} .

La lunghezza di ancoraggio di base per ancorare una barra di diametro \varnothing è data dalla relazione:

$$l_b = \frac{\varnothing \cdot f_{yd}}{4 \cdot f_{bd}}$$

con:

- f_{bd} : si indica la tensione di aderenza ultima offerta dal calcestruzzo;
- \varnothing : diametro della barra di armatura;
- f_{yd} : si indica la tensione di snervamento dell'acciaio.

La tensione di aderenza f_{bd} , dipende oltre che dalla resistenza del calcestruzzo, anche dalle condizioni in cui si realizza l'ancoraggio della barra.

La tensione di aderenza ultima di progetto delle barre ad aderenza migliorata è data dalla formula:

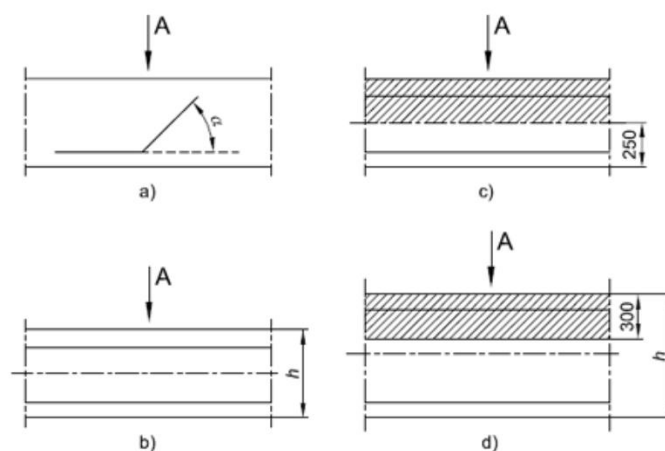
$$f_{bd} = 2,25 \cdot \eta_1 \cdot \eta_2 \cdot f_{ctd}$$

dove:

- $f_{ctd} = f_{ctk} / \gamma_c$;
- $\eta_1 = 1$ nelle condizioni di buon ancoraggio, e uguale a 0,7 negli altri casi;
- $\eta_2 = 1$ per diametri delle barre inferiori a 32 mm oppure a $(132 - \varnothing) / 100$ per diametri maggiori.

L'Eurocodice 2 descrive dettagliatamente le condizioni di buona aderenza:

- la barra ha una inclinazione sull'orizzontale maggiore o uguale a 45° verso la direzione del getto
- la barra ha una inclinazione compresa tra 0 e 45° e sono:
 - o poste in elementi la cui profondità nella direzione del getto non è maggiore di 250 mm.
 - o inglobate in elementi con una profondità maggiore di 250 mm e che, a getto completato, sono nella metà inferiore dell'elemento o ad almeno 300 mm dalla superficie superiore dell'elemento.



La figura a e b rappresentano condizioni di buona aderenza. Nelle figure c e d le aree tratteggiate rappresentano zone con condizioni di aderenza mediocre.

Di seguito viene riportata la tabella riepilogativa delle diverse lunghezze di ancoraggio in funzione delle diverse classi di resistenza del calcestruzzo.

ACCIAIO								
f _{yd}	Mpa	valore di calcolo snervamento acciaio	391,3					
CALCESTRUZZO								
			C28/35	C32/40	C30/37	C35/45	C40/50	C45/55
f _{ck}	Mpa	resistenza a compressione cilindrica cls	29,05	33,2	30,71	37,35	41,5	45,65
R _{ck}	Mpa	resistenza a compressione cubica cls	35	40	37	45	50	55
f _{ctm}	Mpa	resistenza media a trazione semplice cls	2,83	3,10	2,94	3,35	3,60	3,83
f _{ctk}	Mpa	resistenza a trazione pura cls	1,98	2,17	2,06	2,35	2,52	2,68
f _{bk}	Mpa	valore caratteristico della tensione di aderenza	4,47	4,88	4,63	5,28	5,66	6,04
f _{bd_buona}	Mpa	valore di calcolo della tensione di aderenza	2,98	3,25	3,09	3,52	3,78	4,02
f _{bd_mediocre}	Mpa	valore di calcolo della tensione di aderenza	2,08	2,28	2,16	2,46	2,64	2,82
LUNGHEZZA DI ANCORAGGIO								
l _{b_buona}	∅	lunghezza di ancoraggio per ∅	33	30	32	28	26	24
l _{b_mediocre}	∅	lunghezza di ancoraggio per ∅	47	43	45	40	37	35

Per armature dei manufatti si è sempre considerata una lunghezza di ancoraggio e sovrapposizione pari a:

$$l_{bd} = 50 \cdot \varnothing$$

maggiore dei valori presenti nella tabella sovrastante per cui la verifica risulta implicitamente soddisfatta.

6 CARATTERIZZAZIONE GEOTECNICA DEI TERRENI

Ai sensi della relazione geologica e della relazione geotecnica, nonché in conformità con i profili geotecnici allegati al presente progetto esecutivo, il terreno di fondazione è schematizzato dalle seguenti unità litotecniche caratterizzate dai seguenti parametri geotecnici:

UNITÀ G3/G3* Ghiaia con sabbia/ sabbia con ghiaia da mediamente (G3) a molto addensate (G3*), spesso intercalate dal livello L5. Questa Unità si estende da p.c. fino a profondità massime di 22.0 m.

UNITÀ L5 Limo sabbioso a tratti debolmente argilloso/ limo con sabbia, da poco a ben addensato si rileva solitamente all'interno dell'unità G3/G3* con spessori variabili tra 1.5 e 2.0 m. Nel solo sondaggio S14-36 raggiunge spessori di circa 5.0 m.

UNITÀ S2 Sabbia prevalentemente fine limosa talvolta ghiaiosa. Si rileva solitamente al di sotto dell'unità G3/G3* e si estende oltre la profondità raggiunta dai sondaggi costituendo un vero e proprio strato di base.

UNITÀ S1 Sabbia prevalentemente fine con passaggi a granulometria gradata media, mediamente addensata. Si rileva solo in alcune tratte al di sotto dell'unità G3/G3* e/o unità S2 e come quest'ultima si estende oltre la profondità raggiunta dai sondaggi costituendo lo strato di base.

La falda di progetto è stata considerata a quota **-1,00 m** dal piano di campagna.

Il terreno spingente è costituito da materiale idoneo per la costruzione del rilevato, caratterizzato dai seguenti parametri geotecnici:

- Peso per unità di volume: $\gamma = 20,00 \text{ kN/m}^3$
- Angolo di attrito interno: $\varphi = 37,00^\circ$
- Coesione efficace: $c' = 0,00 \text{ kN/m}^2$

A favore di sicurezza i calcoli e le verifiche sono stati effettuati considerando il terreno di fondazione di tipo **L5**:

- Peso per unità di volume: $\gamma = 18,00 \text{ kN/m}^3$
- Angolo di attrito interno: $\varphi = 26,00^\circ$
- Coesione efficace: $c' = 0,00 \text{ kN/m}^2$
- Modulo di rigidezza: $E = 20,00 \text{ MPa}$

Nei modelli di calcolo il terreno è stato modellato mediante molle elastiche alle quali sono state assegnate le seguenti costanti di rigidezza (a favore di sicurezza):

- Direzione verticale $\rightarrow k = 15.000,00 \text{ kN/m}^3$
- Direzione orizzontale $\rightarrow k = 7.500,00 \text{ kN/m}^3$

7 ZONIZZAZIONE E CARATTERIZZAZIONE SISMICA

7.1 IDENTIFICAZIONE DELLA LOCALITÀ E DEI PARAMETRI SISMICI GENERALI

L'area oggetto del presente intervento ricade all'interno del territorio del Comune di Abbiategrasso sito nella provincia di Milano.

FASE 1. INDIVIDUAZIONE DELLA PERICOLOSITÀ DEL SITO

Ricerca per coordinate

LONGITUDINE
8,91617

LATITUDINE
45,39799

Ricerca per comune

REGIONE
Lombardia

PROVINCIA
Milano

COMUNE
Abbiategrasso

Elaborazioni grafiche

Grafici spettri di risposta

Variabilità dei parametri

Elaborazioni

Tabella parametri

Nodi del reticolo intorno al sito

Reticolo di riferimento

Controllo sul reticolo

- Sito esterno al reticolo
- Interpolazione su 3 nodi
- Interpolazione corretta

Interpolazione
superficie rigata

La "Ricerca per comune" utilizza le ... coordinate ISTAT del comune per identificare il sito. Si sottolinea che ... all'interno del territorio comunale le azioni sismiche possono essere significativamente diverse da quelle così individuate e si consiglia, quindi, la "Ricerca per coordinate".

INTRO
FASE 1
FASE 2
FASE 3

7.2 DEFINIZIONE DELLA STRATEGIA PROGETTUALE

In riferimento al D.M. 17.01.2018 “Nuove Norme Tecniche per le Costruzioni”, le opere sono progettate (in funzione dell’importanza strategica dell’infrastruttura) secondo i seguenti parametri:

- Vita Nominale dell’opera: **50 anni**

Tab. 2.4.I – Valori minimi della Vita nominale V_N di progetto per i diversi tipi di costruzioni

TIPI DI COSTRUZIONI		Valori minimi di V_N (anni)
1	Costruzioni temporanee e provvisorie	10
2	Costruzioni con livelli di prestazioni ordinari	50
3	Costruzioni con livelli di prestazioni elevati	100

- Classe d’uso dell’opera: **IV**

2.4.2. CLASSI D’USO

Con riferimento alle conseguenze di una interruzione di operatività o di un eventuale collasso, le costruzioni sono suddivise in classi d’uso così definite:

Classe I: Costruzioni con presenza solo occasionale di persone, edifici agricoli.

Classe II: Costruzioni il cui uso preveda normali affollamenti, senza contenuti pericolosi per l’ambiente e senza funzioni pubbliche e sociali essenziali. Industrie con attività non pericolose per l’ambiente. Ponti, opere infrastrutturali, reti viarie non ricadenti in Classe d’uso III o in Classe d’uso IV, reti ferroviarie la cui interruzione non provochi situazioni di emergenza. Dighe il cui collasso non provochi conseguenze rilevanti.

Classe III: Costruzioni il cui uso preveda affollamenti significativi. Industrie con attività pericolose per l’ambiente. Reti viarie extraurbane non ricadenti in Classe d’uso IV. Ponti e reti ferroviarie la cui interruzione provochi situazioni di emergenza. Dighe rilevanti per le conseguenze di un loro eventuale collasso.

Classe IV: Costruzioni con funzioni pubbliche o strategiche importanti, anche con riferimento alla gestione della protezione civile in caso di calamità. Industrie con attività particolarmente pericolose per l’ambiente. Reti viarie di tipo A o B, di cui al DM 5/11/2001, n. 6792, “Norme funzionali e geometriche per la costruzione delle strade”, e di tipo C quando appartenenti ad itinerari di collegamento tra capoluoghi di provincia non altresì serviti da strade di tipo A o B. Ponti e reti ferroviarie di importanza critica per il mantenimento delle vie di comunicazione, particolarmente dopo un evento sismico. Dighe connesse al funzionamento di acquedotti e a impianti di produzione di energia elettrica.

- Coefficiente di utilizzo dell’opera: **2,0**

Tab. 2.4.II – Valori del coefficiente d’uso C_U

CLASSE D’USO	I	II	III	IV
COEFFICIENTE C_U	0,7	1,0	1,5	2,0

- Vita di riferimento dell’opera: **100 anni**

2.4.3. PERIODO DI RIFERIMENTO PER L’AZIONE SISMICA

Le azioni sismiche sulle costruzioni vengono valutate in relazione ad un periodo di riferimento V_R che si ricava, per ciascun tipo di costruzione, moltiplicandone la vita nominale di progetto V_N per il coefficiente d’uso C_U :

$$V_R = V_N \cdot C_U \quad [2.4.1]$$

Qui di seguito si riporta la sintesi delle scelte progettuali adottati con i tempi di ritorno dell'azione sismica identificati in funzione del singolo stato limite.

FASE 2. SCELTA DELLA STRATEGIA DI PROGETTAZIONE

Vita nominale della costruzione (in anni) - V_N info

Coefficiente d'uso della costruzione - c_U info

Valori di progetto

Periodo di riferimento per la costruzione (in anni) - V_R info

Periodi di ritorno per la definizione dell'azione sismica (in anni) - T_R info

Stati limite di esercizio - SLE	SLO - $P_{VR} = 81\%$	60
	SLD - $P_{VR} = 63\%$	101
Stati limite ultimi - SLU	SLV - $P_{VR} = 10\%$	949
	SLC - $P_{VR} = 5\%$	1950

Elaborazioni

- Grafici parametri azione
- Grafici spettri di risposta
- Tabella parametri azione

Strategia di progettazione

Stato Limite	Strategia per costruzioni ordinarie (TR [anni])	Strategia scelta (TR [anni])
SLO	60	60
SLD	101	101
SLV	949	949
SLC	1950	1950

LEGENDA GRAFICO

- Strategia per costruzioni ordinarie
- Strategia scelta

INTRO
FASE 1
FASE 2
FASE 3

7.3 PARAMETRI DI CALCOLO

7.3.1 PARAMETRI NUMERICI SISMICI

Nella tabella successiva sono riportati i parametri numerici sismici per i periodi di ritorno associati ai diversi Stati Limite:

SLATO LIMITE	T_R [anni]	a_g [g]	F_o [-]	T_c^* [s]
SLO	60	0,022	2,543	0,194
SLD	101	0,027	2,590	0,211
SLV	949	0,050	2,730	0,304
SLC	1950	0,058	2,819	0,319

7.3.2 CATEGORIA DEI TERRENI DI FONDAZIONE E CATEGORIA TOPOGRAFICA

Ai sensi di quanto riportato nella Relazione Geotecnica e nei Profili geotecnici allegati al presente progetto esecutivo il terreno di fondazione è classificato simicamente come di **categoria C**.

Tab. 3.2.II – *Categorie di sottosuolo che permettono l'utilizzo dell'approccio semplificato.*

Categoria	Caratteristiche della superficie topografica
A	<i>Ammassi rocciosi affioranti o terreni molto rigidi caratterizzati da valori di velocità delle onde di taglio superiori a 800 m/s, eventualmente comprendenti in superficie terreni di caratteristiche meccaniche più scadenti con spessore massimo pari a 3 m.</i>
B	<i>Rocce tenere e depositi di terreni a grana grossa molto addensati o terreni a grana fina molto consistenti, caratterizzati da un miglioramento delle proprietà meccaniche con la profondità e da valori di velocità equivalente compresi tra 360 m/s e 800 m/s.</i>
C	<i>Depositi di terreni a grana grossa mediamente addensati o terreni a grana fina mediamente consistenti con profondità del substrato superiori a 30 m, caratterizzati da un miglioramento delle proprietà meccaniche con la profondità e da valori di velocità equivalente compresi tra 180 m/s e 360 m/s.</i>
D	<i>Depositi di terreni a grana grossa scarsamente addensati o di terreni a grana fina scarsamente consistenti, con profondità del substrato superiori a 30 m, caratterizzati da un miglioramento delle proprietà meccaniche con la profondità e da valori di velocità equivalente compresi tra 100 e 180 m/s.</i>
E	<i>Terreni con caratteristiche e valori di velocità equivalente riconducibili a quelle definite per le categorie C o D, con profondità del substrato non superiore a 30 m.</i>

7.3.3 CATEGORIA DEI TERRENI DI FONDAZIONE E CATEGORIA TOPOGRAFICA

Considerando che il territorio si presenta essenzialmente pianeggiante e privo di significati salti di quota la categoria topografica del sito è stata assunta pari a **categoria T1**.

Tab. 3.2.III – *Categorie topografiche*

Categoria	Caratteristiche della superficie topografica
T1	<i>Superficie pianeggiante, pendii e rilievi isolati con inclinazione media $i \leq 15^\circ$</i>
T2	<i>Pendii con inclinazione media $i > 15^\circ$</i>
T3	<i>Rilievi con larghezza in cresta molto minore che alla base e inclinazione media $15^\circ \leq i \leq 30^\circ$</i>
T4	<i>Rilievi con larghezza in cresta molto minore che alla base e inclinazione media $i > 30^\circ$</i>

7.3.4 FATTORI DI STRUTTURA

A favore di sicurezza e visto il fatto che le opere in esame sono opere interrato, il calcolo e le verifiche sono state effettuate in campo elastico.

Il fattore di struttura è stato pertanto posto pari a $q = 1,00$.

Lo spettro di progetto adottato sarà pertanto identico allo spettro elastico.

7.3.5 DEFINIZIONE DELLO SPETTRO DI PROGETTO

Nell'immagine successiva è riportata la determinazione dei parametri dello spettro di risposta valutato per lo Stato Limite di Salvaguardia della Vita (SLV):

FASE 3. DETERMINAZIONE DELL'AZIONE DI PROGETTO

Stato Limite

Stato Limite considerato SLV info

Risposta sismica locale

Categoria di sottosuolo C info $S_S =$ 1,500 $C_C =$ 1,556 info

Categoria topografica T1 info $h/H =$ 1,000 $S_T =$ 1,000 info

(h=quota sito, H=altezza rilievo topografico)

Compon. orizzontale

Spettro di progetto elastico (SLE) Smorzamento ξ (%) 5 $\eta =$ 1,000 info

Spettro di progetto inelastico (SLU) Fattore q_0 1 Regol. in altezza sì info

Compon. verticale

Spettro di progetto Fattore q 1 $\eta =$ 1,000 info

Elaborazioni

Grafici spettri di risposta ▶▶▶

Parametri e punti spettri di risposta ▶▶▶

Spettri di risposta

— Spettro di progetto - componente orizzontale

— Spettro di progetto - componente verticale

— Spettro elastico di riferimento (Cat. A-T1, $\xi = 5\%$)

INTRO
FASE 1
FASE 2
FASE 3

Nella tabella successiva sono riportati analiticamente i parametri sismici ed i valori delle accelerazioni normalizzate in funzione del periodo di vibrazione:

Parametri e punti dello spettro di risposta orizzontale per lo stato SLV

Parametri indipendenti

STATO LIMITE	SLV
a_s	0,050 g
F_0	2,730
T_c	0,304 s
S_s	1,500
C_c	1,556
S_T	1,000
q	1,000

Parametri dipendenti

S	1,500
η	1,000
T_B	0,157 s
T_C	0,472 s
T_D	1,800 s

Espressioni dei parametri dipendenti

$$S = S_s \cdot S_T \quad (\text{NTC-08 Eq. 3.2.5})$$

$$\eta = \sqrt{10 / (5 + \xi)} \geq 0,55; \quad \eta = 1/q \quad (\text{NTC-08 Eq. 3.2.6; §. 3.2.3.5})$$

$$T_B = T_c / 3 \quad (\text{NTC-07 Eq. 3.2.8})$$

$$T_C = C_c \cdot T_c \quad (\text{NTC-07 Eq. 3.2.7})$$

$$T_D = 4,0 \cdot a_s / g + 1,6 \quad (\text{NTC-07 Eq. 3.2.9})$$

Espressioni dello spettro di risposta (NTC-08 Eq. 3.2.4)

$$0 \leq T < T_B \quad S_s(T) = a_s \cdot S \cdot \eta \cdot F_0 \cdot \left[\frac{T}{T_B} + \frac{1}{\eta \cdot F_0} \left(1 - \frac{T}{T_B} \right) \right]$$

$$T_B \leq T < T_C \quad S_s(T) = a_s \cdot S \cdot \eta \cdot F_0$$

$$T_C \leq T < T_D \quad S_s(T) = a_s \cdot S \cdot \eta \cdot F_0 \cdot \left(\frac{T_C}{T} \right)$$

$$T_D \leq T \quad S_s(T) = a_s \cdot S \cdot \eta \cdot F_0 \cdot \left(\frac{T_C T_D}{T^2} \right)$$

Lo spettro di progetto $S_s(T)$ per le verifiche agli Stati Limite Ultimi è ottenuto dalle espressioni dello spettro elastico $S_e(T)$ sostituendo η con $1/q$, dove q è il fattore di struttura. (NTC-08 § 3.2.3.5)

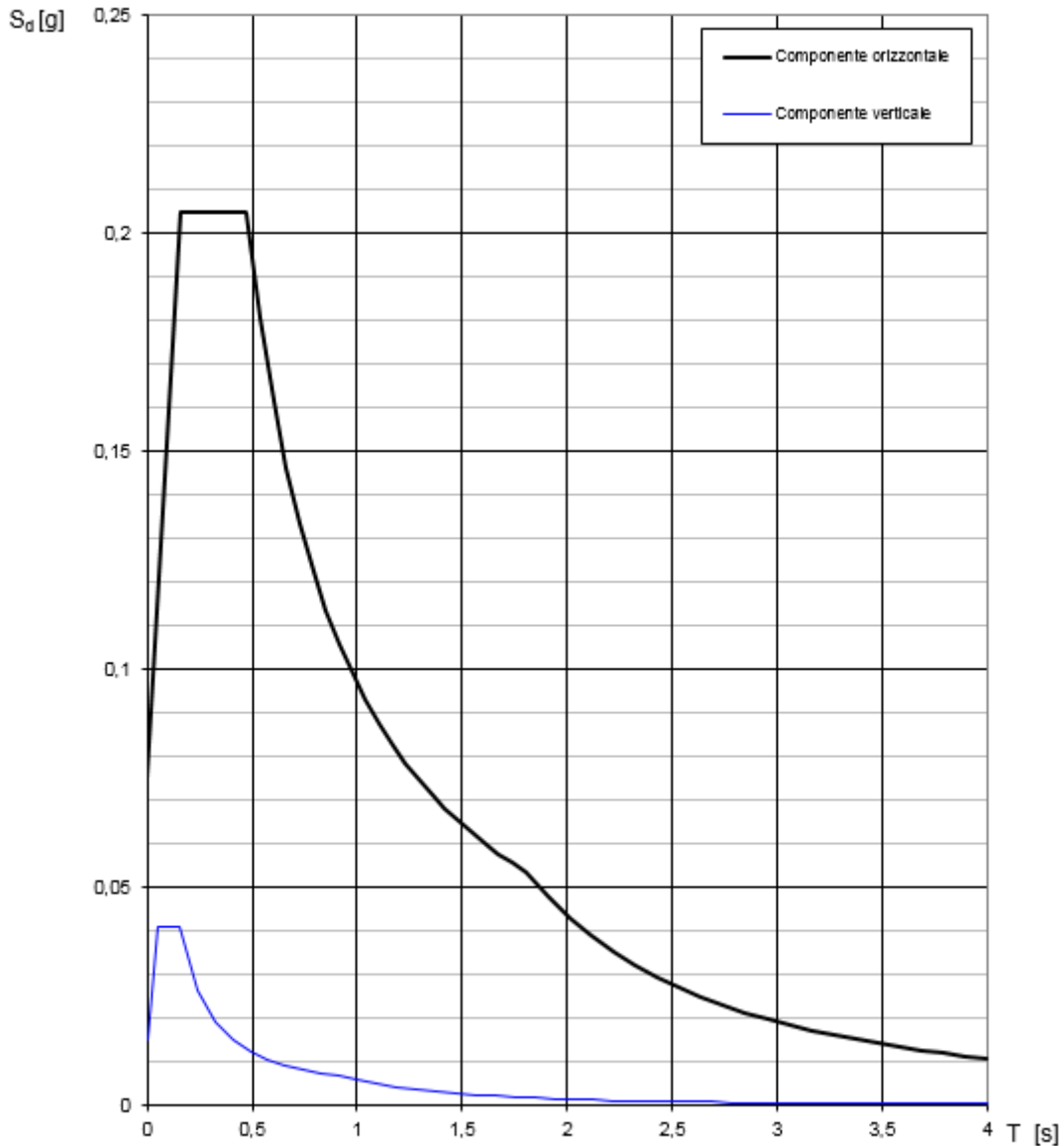
Punti dello spettro di risposta

	T [s]	Se [g]
	0,000	0,075
T_B	0,157	0,205
T_C	0,472	0,205
	0,536	0,180
	0,599	0,161
	0,662	0,146
	0,725	0,133
	0,788	0,123
	0,852	0,114
	0,915	0,106
	0,978	0,099
	1,041	0,093
	1,105	0,088
	1,168	0,083
	1,231	0,079
	1,294	0,075
	1,357	0,071
	1,421	0,068
	1,484	0,065
	1,547	0,062
	1,610	0,060
	1,673	0,058
	1,737	0,056
T_D	1,800	0,054
	1,905	0,048
	2,009	0,043
	2,114	0,039
	2,219	0,035
	2,324	0,032
	2,428	0,030
	2,533	0,027
	2,638	0,025
	2,743	0,023
	2,848	0,021
	2,952	0,020
	3,057	0,019
	3,162	0,017
	3,267	0,016
	3,371	0,015
	3,476	0,014
	3,581	0,014
	3,686	0,013
	3,790	0,012
	3,895	0,011
	4,000	0,011

La verifica dell'idoneità del programma, l'utilizzo dei risultati da esso ottenuti sono onere e responsabilità esclusiva dell'utente. Il Consiglio Superiore dei Lavori Pubblici non potrà essere ritenuto responsabile dei danni risultanti dall'utilizzo dell

Nell'immagine successiva è riportato il diagramma dello spettro di risposta per lo Stato Limite di Salvaguardia della Vita:

Spettri di risposta (componenti orizz. e vert.) per lo stato limiti SLV



La verifica dell'idoneità del programma, l'utilizzo dei risultati da esso ottenuti sono onere e responsabilità esclusiva dell'utente. Il Consiglio Superiore dei Lavori Pubblici non potrà essere ritenuto responsabile dei danni risultanti dall'utilizzo dello stesso.

7.4 DEFINIZIONE DEI COEFFICIENTI SISMICI DI CALCOLO

Il coefficiente sismico orizzontale è determinato mediante la seguente relazione:

$$k_h = \beta_m \cdot \frac{a_{\max}}{g}$$

dove:

- a_{\max} → accelerazione orizzontale massima attesa al sito valutata mediante la seguente formulazione:

$$a_{\max} = S \cdot a_g / g = S_S \cdot S_T \cdot a_g / g = 1,00 \cdot 1,50 \cdot 0,050 = 0,075$$

- g → accelerazione di gravità

Il muro di sostegno può essere considerato come libero di ruotare intorno al piede. Il coefficiente β_m viene pertanto determinato secondo quanto previsto dal D.M. 17.01.2018 “Nuove Norme Tecniche per le Costruzioni” – par. 7.11.6.2.1:

Il coefficiente β_m assume un valore pari all'unità per muri impediti di traslare e ruotare.

I coefficienti sismici in direzione orizzontale e verticale risultano dunque pari a:

$$k_h = 0,075$$

$$k_v = 0,0375$$

8 ANALISI DEI CARICHI

8.1 SINTESI DELLE DIMENSIONI DELLO SCATOLARE DI CALCOLO

Qui di seguito si riporta la sintesi delle dimensioni degli elementi dello scatolare e del relativo modello.

DIMENSIONI ELEMENTARI DELLO SCATOLARE		CARATTERISTICHE		
Spessore soletta superiore	sp soletta sup. =	25,00	[cm]	
Altezza piedritti	h piedritti =	150,00	[cm]	
Spessore piedritti	sp piedritti =	25,00	[cm]	
Spessore soletta inferiore	sp soletta inf. =	25,00	[cm]	
Luce interna dello scatolare	Luce interna =	250,00	[cm]	
DIMENSIONI BEAM		CARATTERISTICHE		
Altezza beam piedritti	h beam piedritti =	175,00	[cm]	
Larghezza beam soletta	L beam solette =	275,00	[cm]	

8.2 CARICHI PERMANENTI STRUTTURALI

8.2.1 PESO PROPRIO DELLE STRUTTURE IN CEMENTO ARMATO (G1)

Il peso per unità di volume delle strutture in cemento armato è assunto pari a $\gamma_{ca} = 25,0 \text{ kN/m}^3$.

Il peso proprio degli elementi strutturali è assegnato automaticamente dal software di calcolo agli elementi finiti sulla base delle caratteristiche geometriche e delle caratteristiche dei materiali assegnate ai singoli elementi (beam e/o shell).

Tale carico nel modello è definitivo come “g1”

8.3 CARICHI PERMANENTI NON STRUTTURALI

8.3.1 PESO PROPRIO DELLA PAVIMENTAZIONE STRADALE (G2)

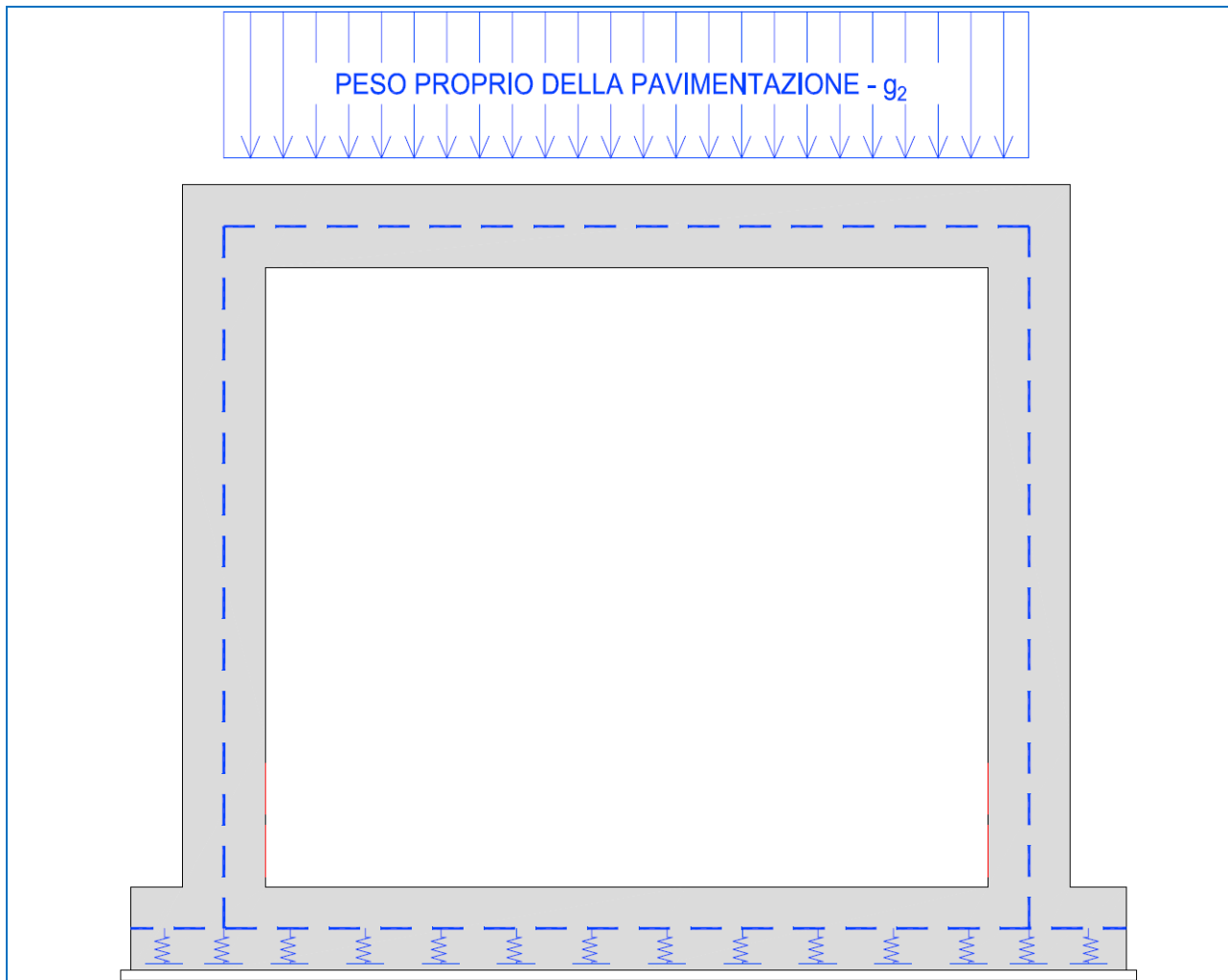
Il peso per unità di volume della pavimentazione stradale è assunto, a favore di sicurezza, pari a $\gamma_{pav} = 24,0 \text{ kN/m}^3$.

Tale peso per unità di volume è associato a tutti gli strati legati del pacchetto e quindi all'usura al binder e alla base, mentre per quel che attiene il misto cementato e il misto granulare di fondazione questo è stato assimilato (anche nei calcoli della diffusione del carico accidentale con angolo pari a 30°) al terreno da rilevato (associando quindi a questo elemento un peso per unità di volume pari a 20 kN/m^3).

Lo spessore medio complessivo di tali strati pavimentati è assunto pari a **23 cm**. In ogni caso il valore considerato nei calcoli è stato opportunamente e a favore di sicurezza incrementato per tenere conto di possibili future ricariche, minime differenze tra il progettato e l'as-built.

TIPO DI CARICO	CARATTERISTICHE		VALORE DI APPLICAZIONE DEL CARICO SUL MODELLO		
Peso per unità di superficie della pavimentazione (carico g2)	spessore =	23,00	[cm]	$P_{pavimentazione\ reale} =$	5,52 [kN/m ²]
Valore arrotondato effettivamente applicato al modello per tenere conto anche delle successive ricariche di bitume				$P_{pavimentazione} =$	7,00 [kN/m ²]

Tale carico nel modello è definitivo come “g₂”. Qui di seguito si riporta la schematizzazione grafica di come tale carico è applicato alla struttura e quindi al modello di calcolo.



Si trascura il contributo relativo alla parte esterna dei piedritti (metà spessore) il quale indurrebbe esclusivamente un contributo di compressione sui ritzi stessi del tutto influente nelle verifiche.

8.3.2 PESO DEL TERRENO DI RICOPRIMENTO SULLA SOLETTA SUPERIORE (g3)

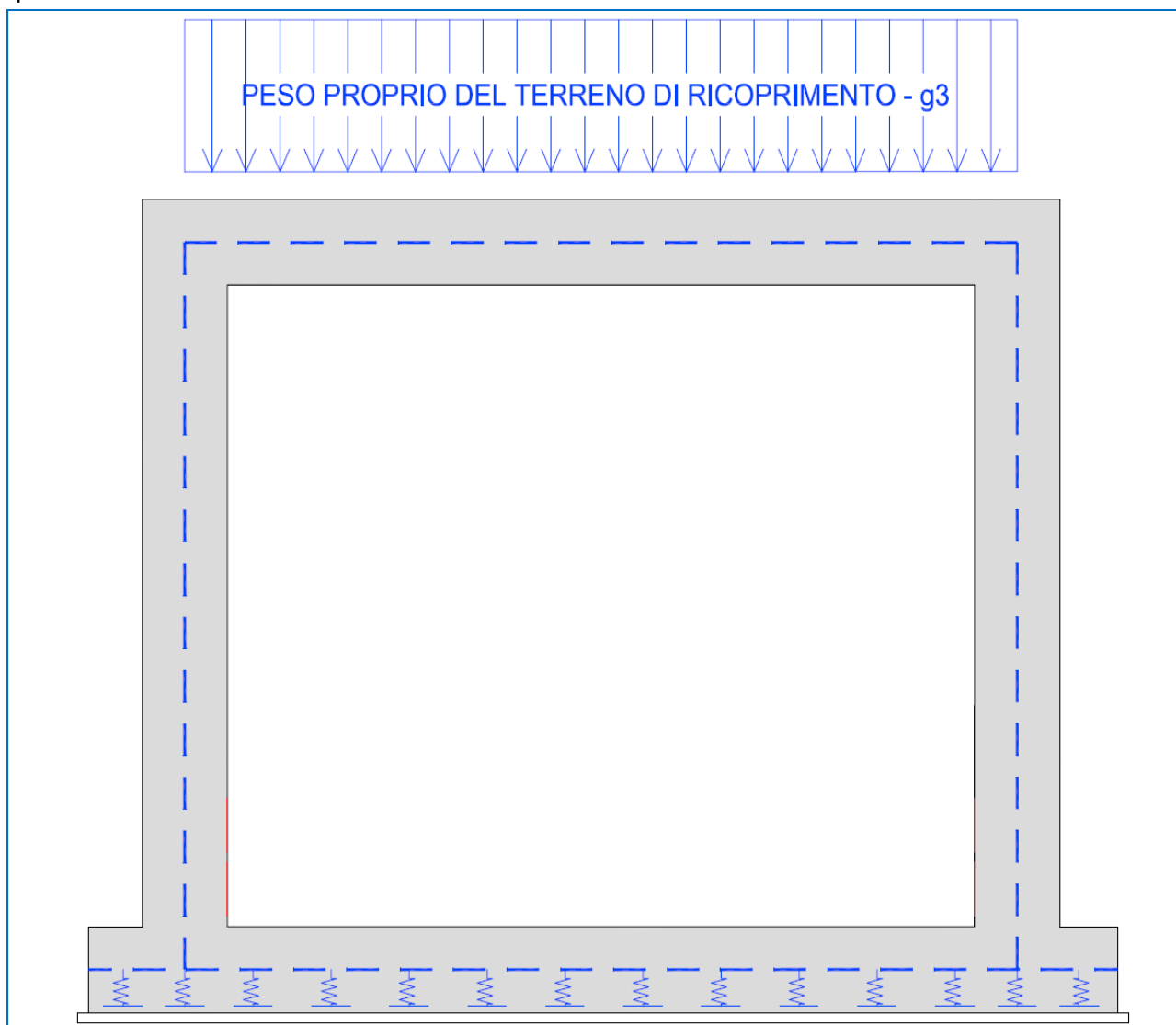
Il peso per unità di volume del terreno di ricoprimento, comprensivo degli eventuali strati di misto cementato e misto granulare della fondazione del pacchetto pavimentato, è assunto pari a $\gamma_{\text{terreno}} = 20,0 \text{ kN/m}^3$.

Lo spessore medio dello strato di ricoprimento risulta pari a **1000 cm**. In ogni caso il valore considerato nei calcoli è stato opportunamente e a favore di sicurezza incrementato per tenere conto di possibili future ricariche, minime differenze tra il progettato e l'as-built e per tenere in conto l'incidenza dell'impermeabilizzazione e delle finiture superiore non espressamente analizzate.

TIPO DI CARICO	CARATTERISTICHE			VALORE DI APPLICAZIONE DEL CARICO SUL MODELLO		
Peso per unità di superficie del ricoprimento (carico g3)	spessore =	1000,00	[cm]	$P_{\text{ricoprimento reale}} =$	200,00	[kN/m ²]
Peso per unità di superficie del ricoprimento (carico g3)				$P_{\text{ricoprimento}} =$	205,00	[kN/m ²]

Tale carico nel modello è definitivo come “g3”

Qui si seguito si riporta la schematizzazione grafica di come tale carico è applicato alla struttura e quindi al modello di calcolo.



Si trascura il contributo relativo alla parte esterna dei piedritti (metà spessore) il quale indurrebbe esclusivamente un contributo di compressione sui ritzi stessi del tutto influente nelle verifiche.

8.3.3 SPINTA ORIZZONTALE DEI TERRENI A TERGO DELLE PARETI VERTICALI (G4, G5)

La spinta del terreno sulle pareti laterali dell'opera è stata calcolata mediante la seguente relazione:

$$S_i = \frac{1}{2} \cdot \gamma \cdot k \cdot H^2$$

dove:

- γ è il peso per unità di volume del terreno
- k è il coefficiente di spinta del terreno
- H è l'altezza complessiva dello strato di terreno

Per la valutazione della spinta dei terreni sulle pareti verticali sono state considerate le due differenti condizioni di terreno:

- Condizioni di riposo

In tale condizione viene assunto per la determinazione della spinta il coefficiente di spinta a riposo k_0 , calcolato mediante la seguente relazione:

$$k_0 = 1 - \tan(\varphi)$$

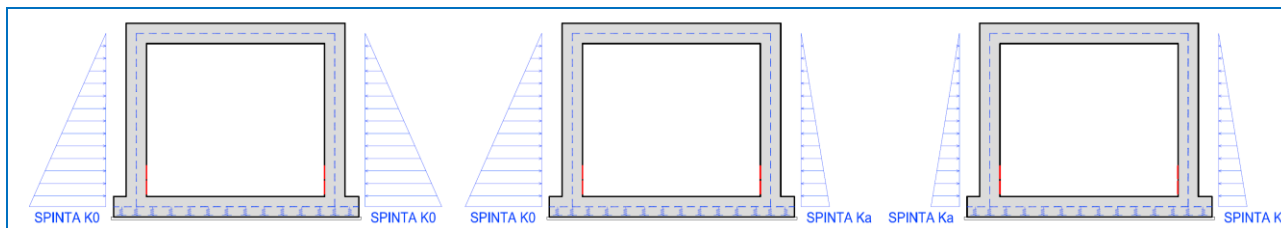
- Condizioni di stato limite attivo

In tale condizione viene assunto per la determinazione della spinta il coefficiente di spinta attiva k_a , calcolato mediante la seguente relazione:

$$k_a = \tan^2\left(45^\circ - \frac{\varphi}{2}\right)$$

Verranno considerate tre differenti combinazioni di spinta:

1. Condizione di riposo del terreno su entrambe i lati del sottopasso (massimizzazione dei tagli sui ritti e dell'azione normale di compressione sulla soletta superiore)
2. Condizione di stato limite attivo su entrambe i lati del sottopasso (minimizzazione delle azioni di compressione sulla soletta superiore)
3. Condizione di riposo del terreno a sinistra del sottopasso e condizione di stato limite attivo del terreno a destra del sottopasso (sbaricentramento delle spinte)



La spinta attiva è stata introdotta come load case nel software di calcolo partendo dal load pattern relativo alla spinta a riposo e moltiplicando quest'ultimo per un coefficiente riduttivo pari a:

$$n = k_a / k_0$$

TIPO DI CARICO	CARATTERISTICHE			VALORE DI APPLICAZIONE DEL CARICO SUL MODELLO		
Angolo di attrito terreno	$\varphi =$	35,00	[°]			
Peso del terreno	$\gamma =$	20,00	[kN/mc]			
Coesione del terreno	$c' =$	0,00	[MPa]			
Coefficiente di spinta di riposo				$k_0 =$	0,426	[-----]
Coefficiente di spinta attiva				$k_a =$	0,271	[-----]
Rapporto tra i coefficienti				$n =$	0,636	[-----]

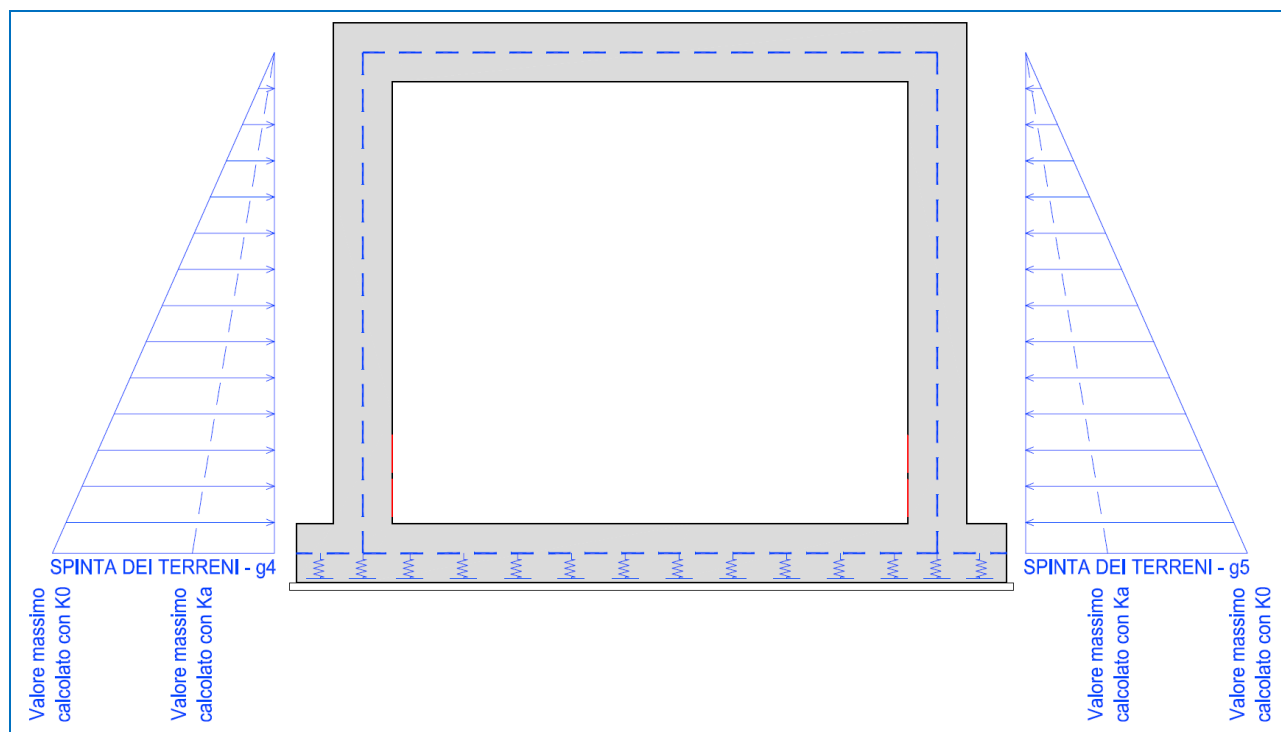
In particolare nel caso specifico i valori massimi del carico triangolare, riferiti ad ambedue le condizioni di carico, sono di seguito calcolate.

TIPO DI CARICO	CARATTERISTICHE			VALORE DI APPLICAZIONE DEL CARICO SUL MODELLO		
H totale (H di modello)	$h_{\text{beam piedritti}} =$	1,75	[m]			
Spinta al piede dell'elemento beam in condizioni di k_0	k_0	0,426	[-----]	$g_4 / g_5 (k_0) =$	14,91	[kN/mq]
Spinta al piede dell'elemento beam in condizioni di k_a	k_a	0,271	[-----]	$g_4 / g_5 (k_a) =$	9,48	[kN/mq]

Si rappresenta che tale carico è calcolato con riferimento alle dimensioni di modello (elementi beam) trascurando il contributo del semi-spessore della soletta inferiore mentre quello della soletta superiore è stato tenuto in conto nel calcolo della sovra-spinta (vedi paragrafo seguente).

Tali carichi nel modello sono definiti come “g4” e “g5” a cui è sempre associato un ulteriore suffisso numerico per indicare la reciproca combinazione tra k_a e k_0 .

Qui si seguito si riporta la schematizzazione grafica di come tale carichi sono applicati alla struttura e quindi al modello di calcolo.



8.3.4 SPINTA LATERALE DOVUTA AI SOVRACCARICHI PERMANENTI (G6, G7)

La spinta dovuta ai sovraccarichi permanenti viene valutata mediante la seguente relazione:

$$S_{cp} = p \cdot k \cdot H$$

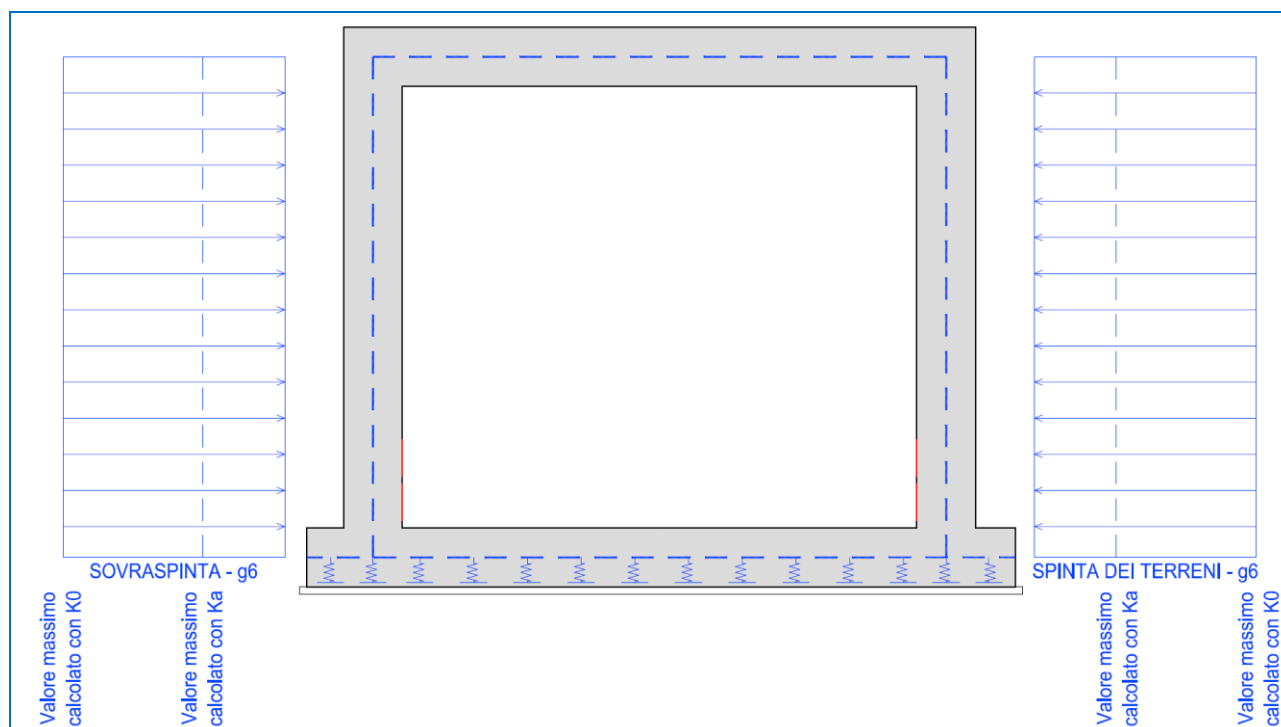
dove:

- p è l'entità del sovraccarico permanente agente (peso della pavimentazione e del terreno di ricoprimento) già definiti precedentemente nonché del rinterro agente per lo spessore di metà soletta superiore (per tenere in conto delle differenti dimensioni degli elementi beam rispetto alla realtà);
- k è il coefficiente di spinta del terreno definito al paragrafo precedente in funzione delle condizioni del terreno assunte.

TIPO DI CARICO	CARATTERISTICHE			VALORE DI APPLICAZIONE DEL CARICO SUL MODELLO		
Carico pavimentazione	sp _{pavimentazione} =	0,23	[m]	p _{pavimentazione} =	7,00	[kN/m ²]
Carico rinterro	sp _{rinterro} =	10,00	[m]	p _{ricoprimento} =	205,00	[kN/m ²]
Carico rinterro su mezzo spessore soletta	sp _{soletta} =	0,13	[m]	p _{ricoprimento sol} =	2,50	[kN/m ²]
Spinta al piede dell'elemento beam in condizioni di k0	k0	0,426	[-----]	g6 / g7 (k0) =	91,38	[kN/mq]
Spinta al piede dell'elemento beam in condizioni di ka	ka	0,271	[-----]	g6 / g7 (ka) =	58,11	[kN/mq]

Tali carichi nel modello sono definiti come “g6” e “g7” a cui è sempre associato un ulteriore suffisso numerico per indicare la reciproca combinazione tra ka e k0.

Qui si seguito si riporta la schematizzazione grafica di come tale carichi sono applicati alla struttura e quindi al modello di calcolo.

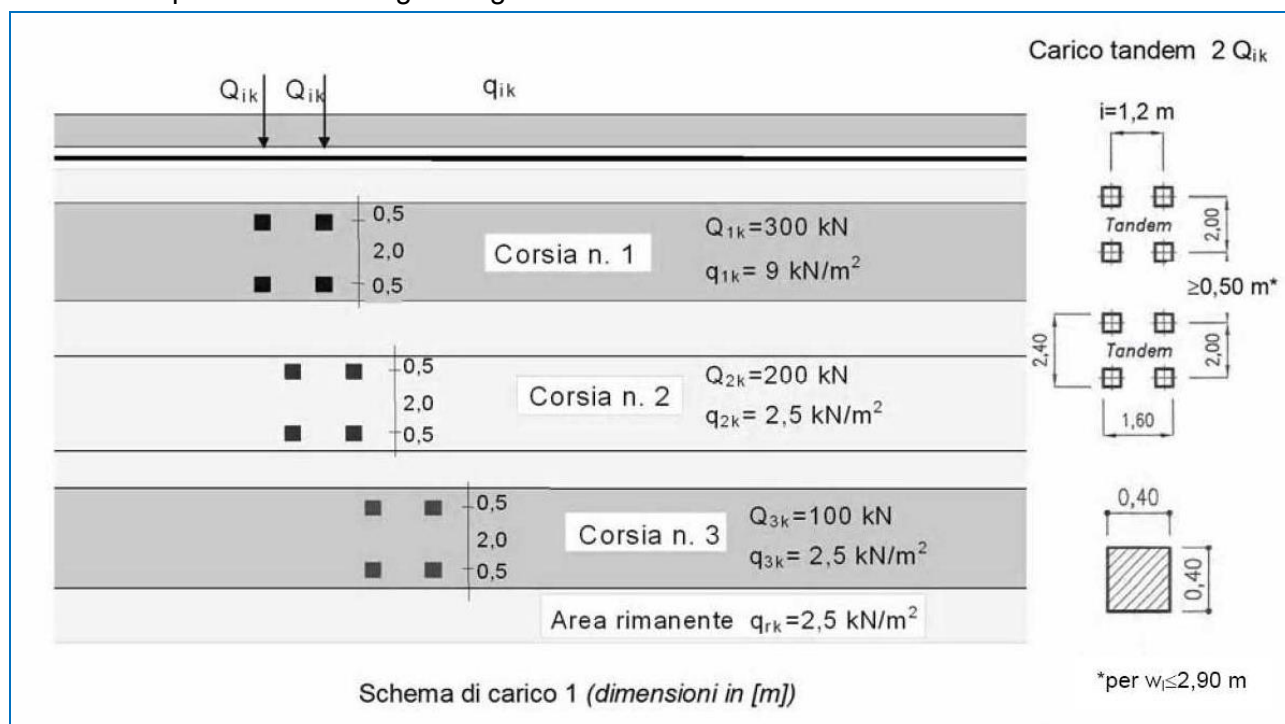


Ovviamente anche per questi carichi sono state considerate tre differenti combinazioni tra parete destra e sinistra con i coefficienti di spinta k0 e ka già definiti al punto precedente.

8.4 CARICHI ACCIDENTALI

8.4.1 CARICHI ACCIDENTALI DA TRAFFICO AGENTI SULA SOLETTA DI COPERTURA (Q1A, Q2A)

Il carico accidentale da traffico agente sulla soletta di copertura è stato valutato secondo lo schema n.1 proposto dal D.M. 17.01.2018 “Nuove Norme Tecniche per le Costruzioni al paragrafo 5.1.3.3.5 e riportato nell’immagine seguente:



Nei calcoli sono stato presi in esame i carichi relativi alla 1^a colonna di carico:

- $Q_{1a} = 2 \times 300$ kN disposti come nell’immagine precedente
- $q_{1a} = 9,00$ kN/m²

I carichi concentrati sono stati diffusi fino alla linea media della soletta superiore secondo i seguenti angoli:

- pavimentazione stradale: 45°
- terreno di ricoprimento: 30°
- soletta di copertura in cemento armato: 45°

Tale procedura risulta conforme a quanto previsto al capitolo 5.1.3.3.6 “Strutture secondarie di Impalcato” del D.M. 17/01/2018 Introducendo esclusivamente un angolo di diffusione ridotto, tipico di tutti i testi scientifici e comunque conforme a quanto previsto nella Circolare al capitolo C5.1.3.3.7.1, per il terreno interposto tra estradosso soletta e intradosso pavimentazione.

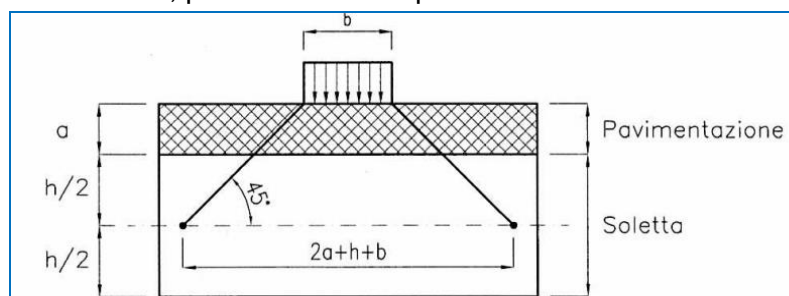


Figura 5.1.3a – Diffusione dei carichi concentrati nelle solette

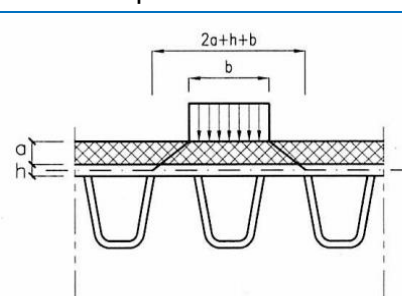
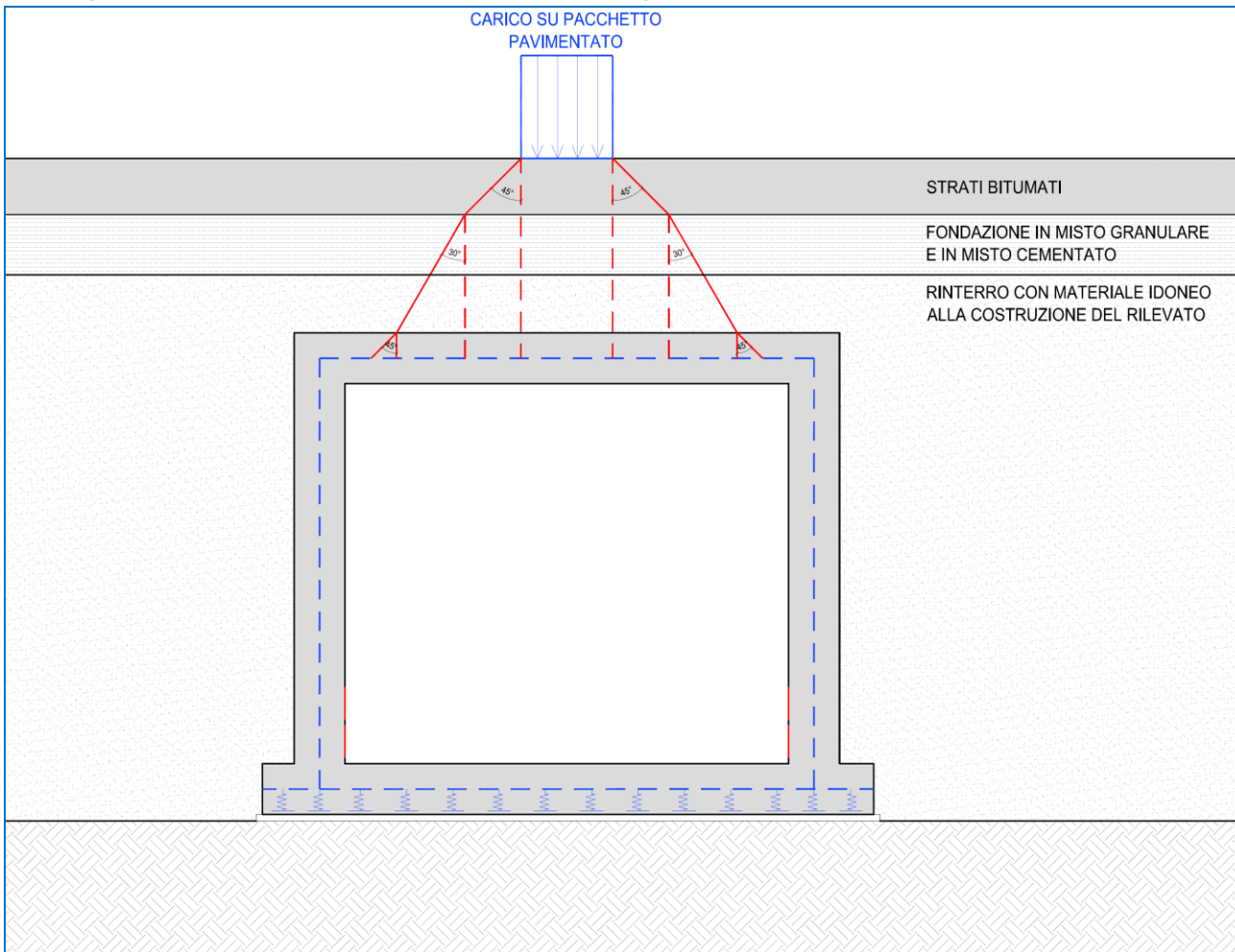


Figura 5.1.3b – Diffusione dei carichi concentrati negli impalcati a piastra ortotropa

Conseguentemente il carico risulta diffuso come segue.



Conseguentemente considerando lo spessore medio della pavimentazione e lo spessore medio del ricoprimento già definiti ai capitoli precedenti si ottiene per i carichi concentrati da traffico schematizzati come agenti su un'unica area di impronta di dimensioni 160cmx240cm (comunque a favore di sicurezza rispetto a quanto previsto dalla Circolare al punto C5.1.3.3.7.1 laddove si prevede l'applicazione sui terrapieni di un carico uniformemente ripartito applicato ad una superficie pari a 300x220cm). L'impronta di 160x240cm è quella che unisce i punti esterni delle quattro impronte di carico.

VALUTAZIONE DELLA DIFFUSIONE DEI CARICHI MOBILI CONCENTRATI STRADALI			
Carico totale tandem (schema carico stradale stradale 01)	Q	600,00	[kN]
Dimensione dell'area di impronta in direzione parallela al traffico	a	1,60	[m]
Dimensione dell'area di impronta in direzione perpendicolare al traffico	b	2,40	[m]
Carico concentrato al bordo	<input type="checkbox"/> Carico concentrato al bordo		
Spessore della pavimentazione stradale (strati di nero escluso misto granulare e misto cementato)	h_1	0,23	[m]
Angolo di diffusione del carico attraverso la pavimentazione stradale	α_1	45,00	[°]
Spessore del terreno di ricoprimento (compreso misto granulare e misto cementato)	h_2	10,00	[m]
Angolo di diffusione del carico attraverso il terreno di ricoprimento	α_2	30,00	[°]
Spessore della soletta superiore	h_3	0,25	[m]
Angolo di diffusione attraverso la soletta superiore	α_3	45,00	[°]
AREA DI DIFFUSIONE DEL CARICO CONCENTRATO FINO ALLA LINEA MEDIA DELLA SOLETTA SUPERIORE			
Carico concentrato stradale Q diffuso fino alla linea media della soletta superiore		13,65	[kN/m ²]
Dimensione dell'area di diffusione in direzione parallela al traffico	$a_{diffuso}$	3,00	[m]
Dimensione dell'area di diffusione in direzione perpendicolare al traffico	$b_{diffuso}$	14,66	[m]

Si rappresenta che in senso trasversale la diffusione del carico è limitata a 3m a favore di sicurezza e al fine di non sottostimare il carico non essendo nella presente trattazione considerata la sovrapposizione con i carichi delle corsie convenzionali 2 e 3. La dimensione di 3m è pari a quella della corsia convenzionale

Il valore del carico per unità di superficie prodotto dalla diffusione del carico tandem totale Q1a (come definito dalla tabella sopra riportata) è stato applicato alla soletta dello scatolare come meglio illustrato alla pagina seguente.

Tale carico è identificato nel modello di calcolo come $q_{1a,1} - q_{1a,2} - q_{1a,3} - q_{1a,4}$.

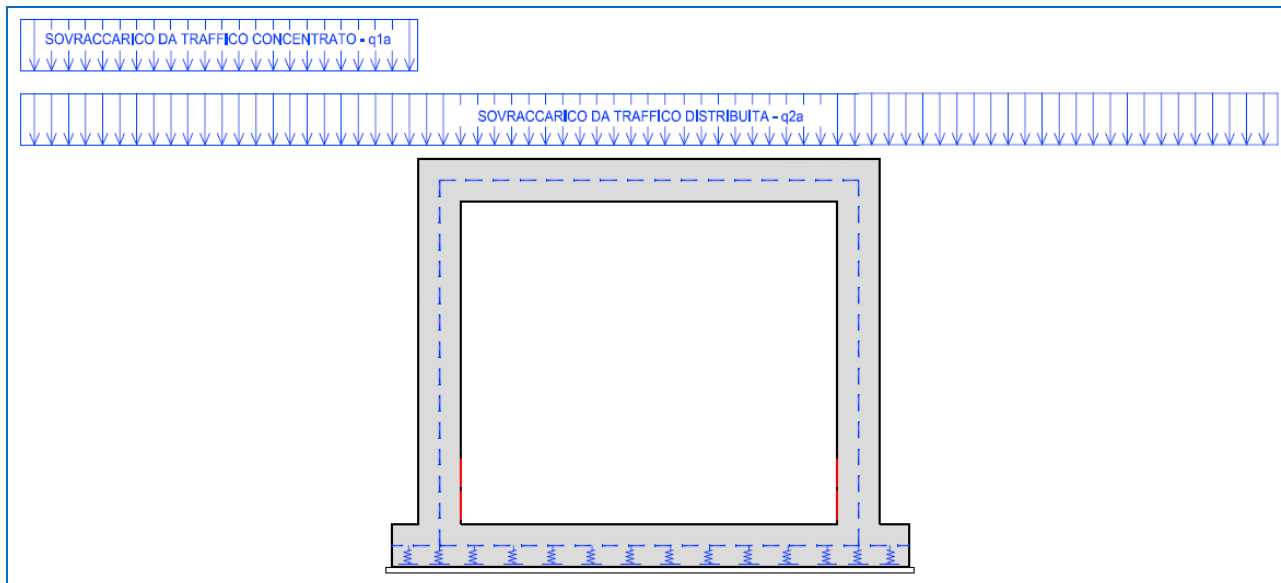
Il carico distribuito q_{2a} viene considerato agente sull'intera copertura con valore di calcolo pari a **9,00 kN/m²**, senza quindi tenere in conto a favore di sicurezza alcuna distribuzione.

Tale valore è stato applicato alla soletta dello scatolare come meglio illustrato alla pagina seguente.

Tale carico è identificato nel modello di calcolo come q_{2a} .

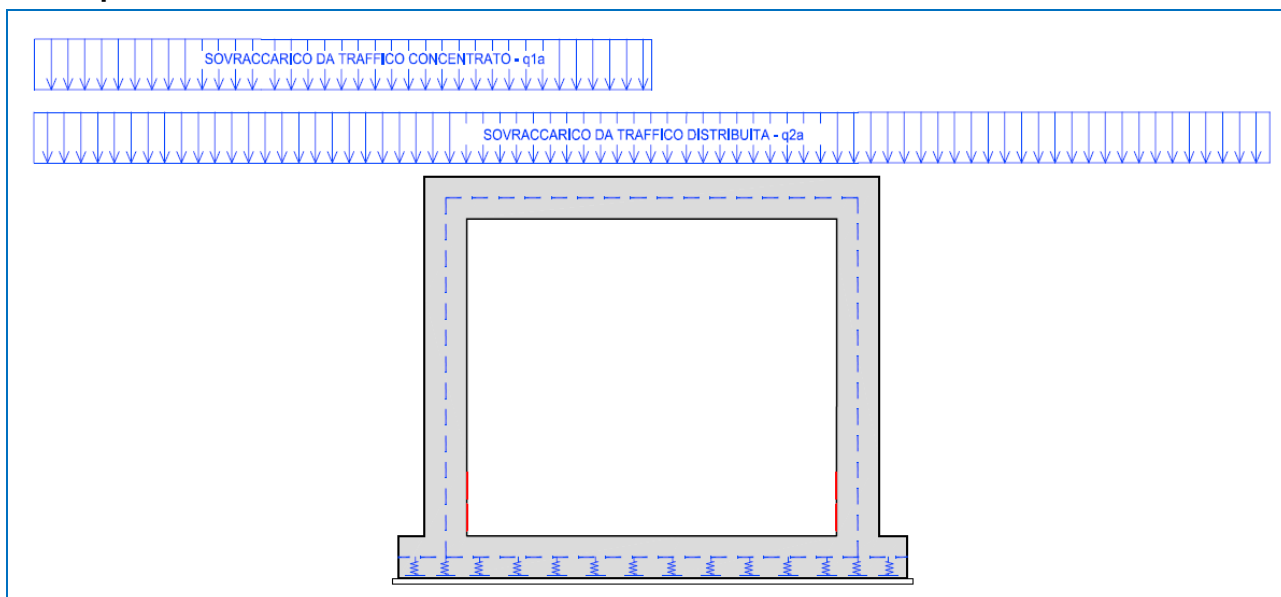
Qui a seguire le disposizioni possibili del carico accidentale considerate nella modellazione

- **Disposizione 1**

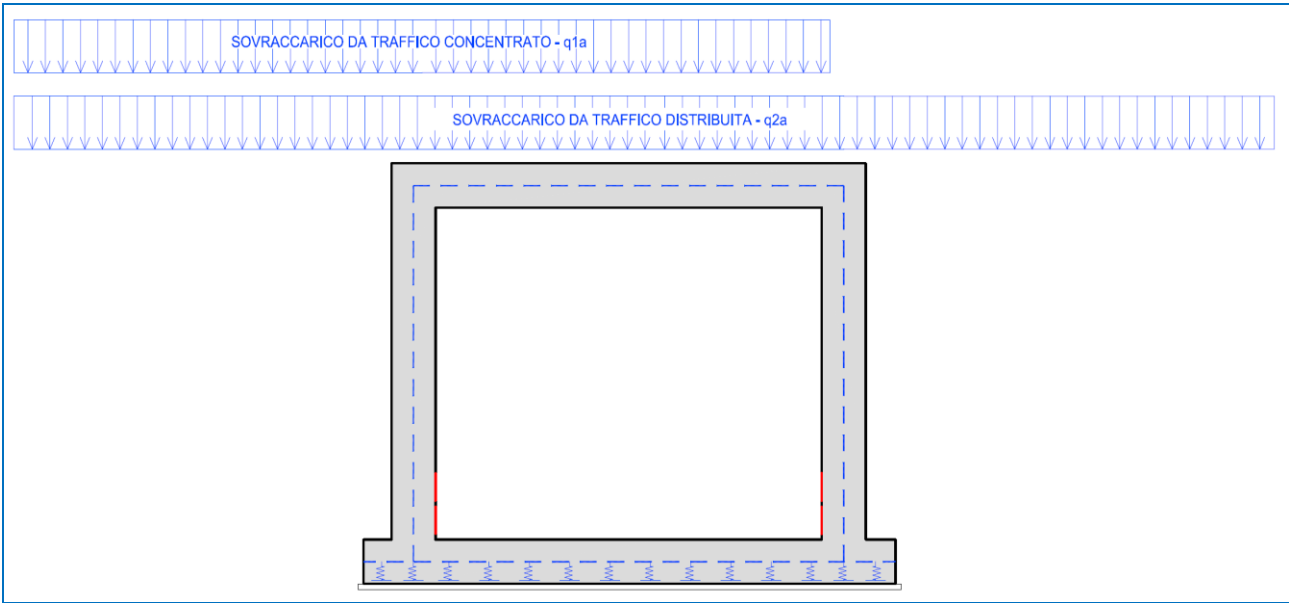


Ai fine nel modello in esame il carico concentrato ($q1a$) è posto pari a 0 sulla soletta. La disposizione 01 ha però influenza sulle spinte laterali

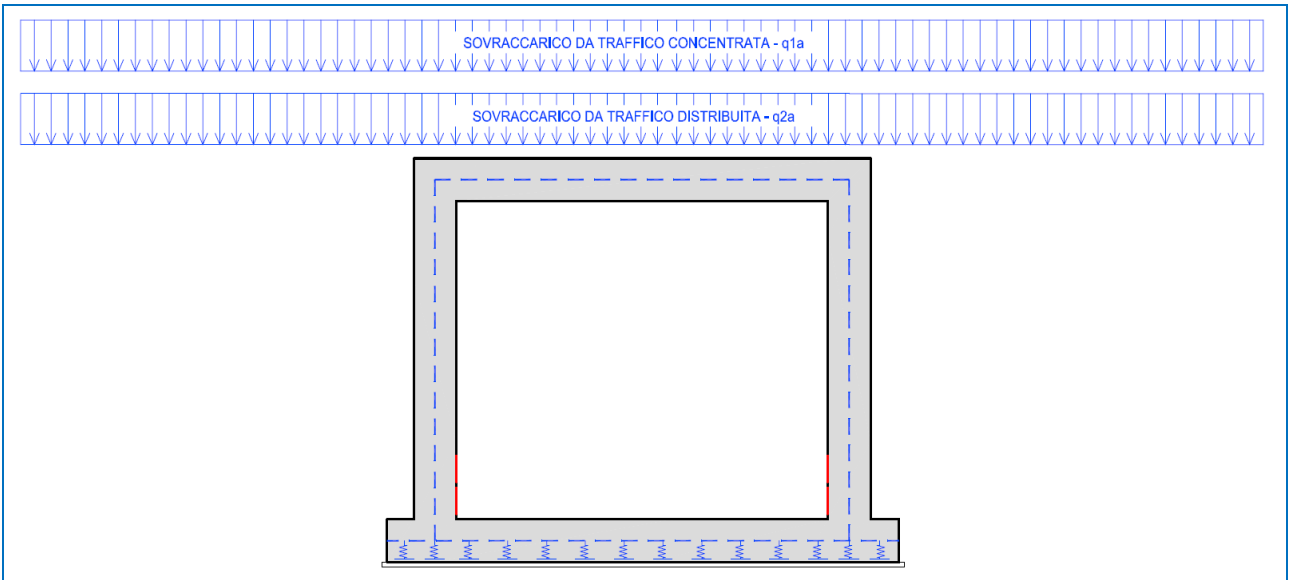
- **Disposizione 2**



• **Disposizione 3**



• **Disposizione 4**



8.4.2 SPINTA LATERALE DOCUTA AI SOVRACCARICHI ACCIDENTALI

La spinta dovuta ai sovraccarichi accidentali viene valutata mediante la seguente relazione:

$$S_{cq} = q \cdot k \cdot H$$

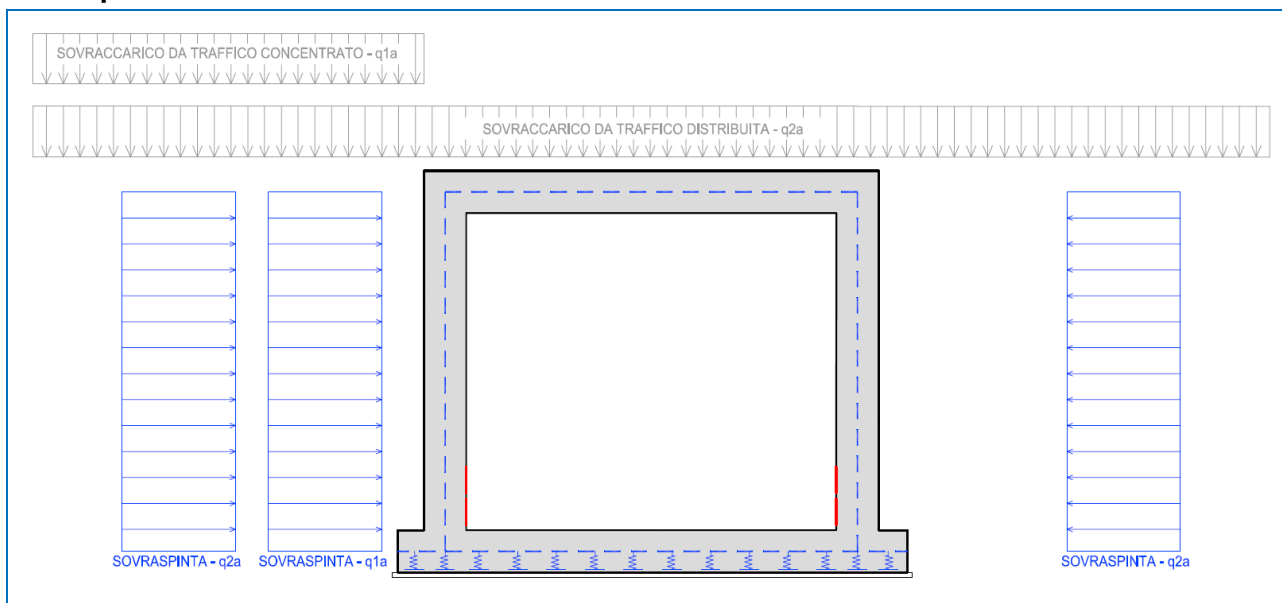
dove:

- q è l'entità del sovraccarico accidentale agente (peso della pavimentazione e del terreno di ricoprimento); sono stati considerati due differenti carichi accidentali da traffico:
 - carico concentrato, Q1 come da normativa, diffuso fino al piano medio della soletta di copertura
 - carico distribuito su corsia
- k è il coefficiente di spinta del terreno
- H è l'altezza complessiva dello strato di terreno

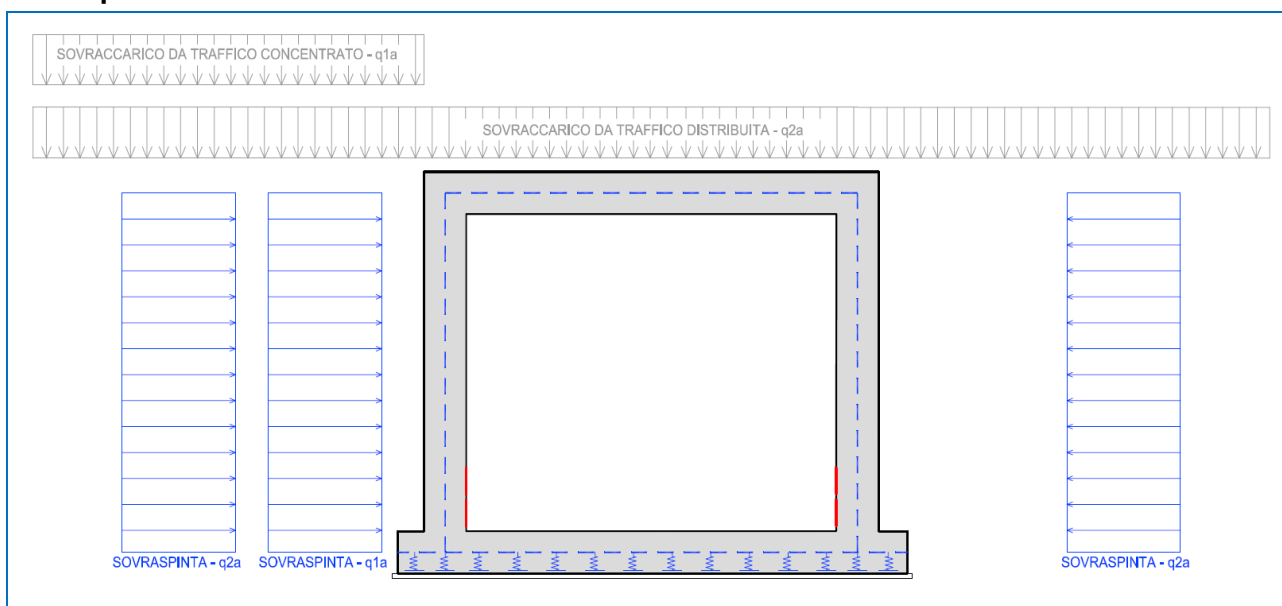
Il coefficiente di spinta è assunto pari a quello delle condizioni a riposo (k0)

Qui a seguire le disposizioni possibili del carico accidentale considerate nella modellazione.

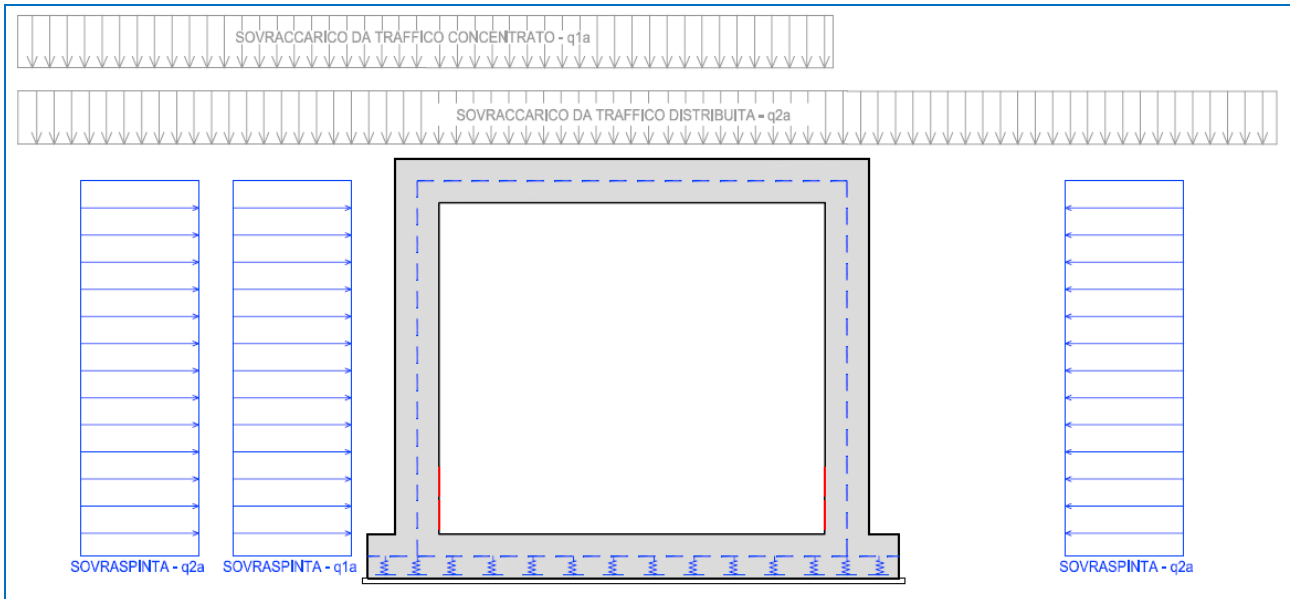
• Disposizione 1



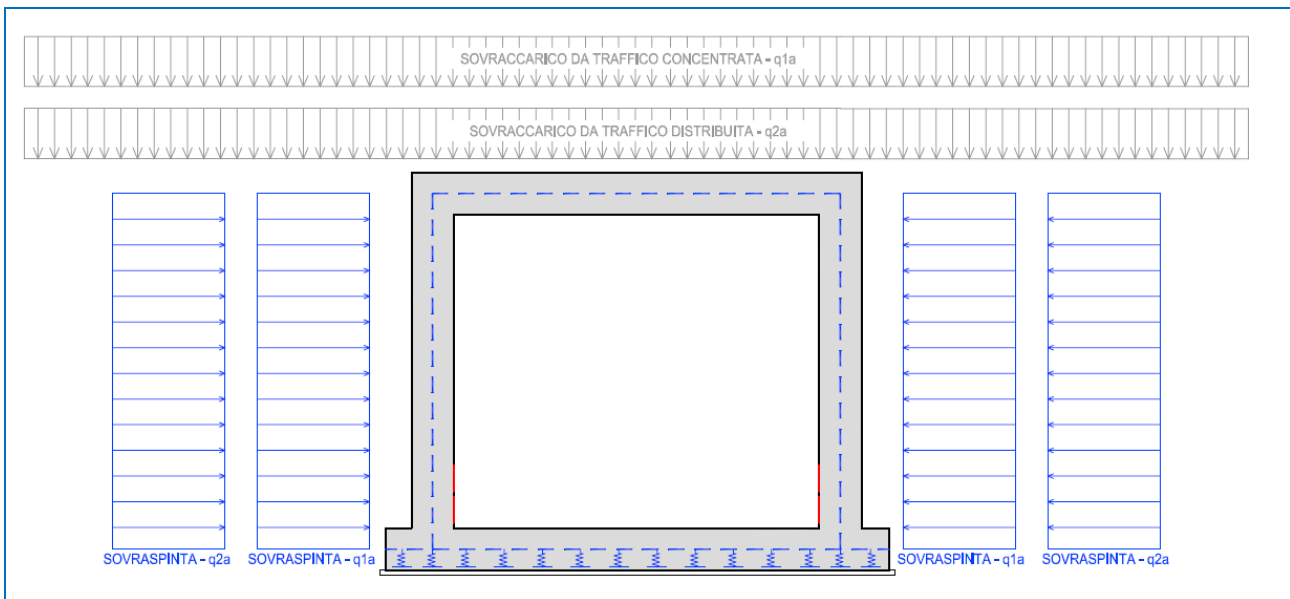
• Disposizione 2



• **Disposizione 3**



• **Disposizione 4**



8.4.3 CARICHI ACCIDENTALI AGENTI IN FONDAZIONE (Q3)

Per i tombini in esame i carichi accidentali che possono gravare sulla fondazione sono rappresentati:

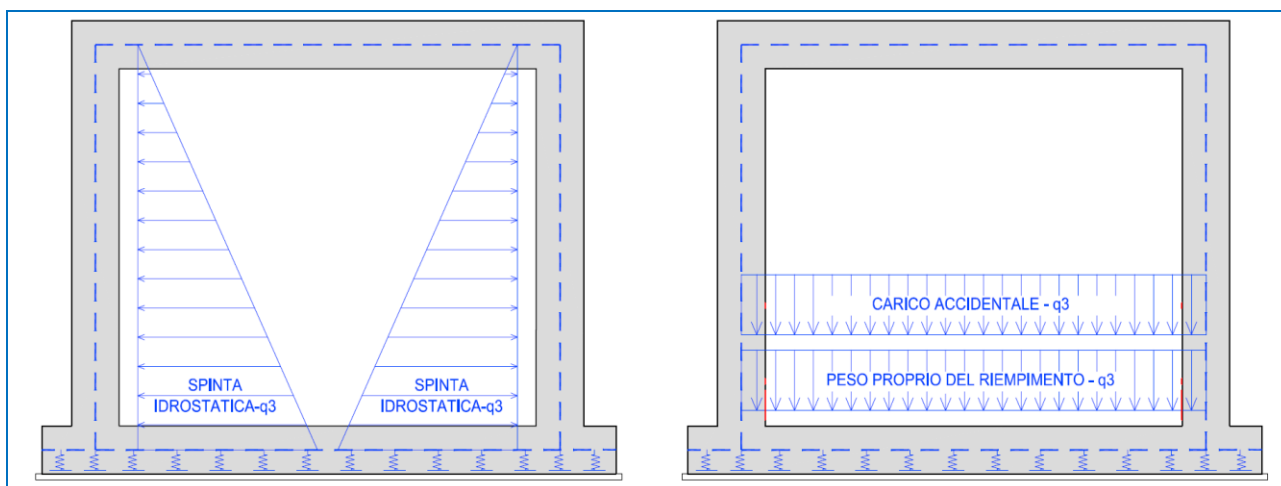
- dal peso dell'acqua assunto pari a **10 kN/mc**;

Inoltre a favore di sicurezza il carico di riempimento del fondo è stato comunque annoverato nei carichi accidentali anziché in quelli permanenti.

TIPO DI CARICO	CARATTERISTICHE			VALORE DI APPLICAZIONE DEL CARICO SUL MODELLO		
Altezza interna scatolare	$h_{\text{piedritti}} =$	1,50	[m]	$Y_{\text{acqua}} =$	10,00	[kN/m ³]
Presenza	$h_{\text{riempimento}} =$	0,75	[m]	$Y_{\text{riempimento}} =$	10,00	[kN/m ³]
Peso per unità di volume dell'acqua	$Y_{\text{acqua}} =$	10,00	[kN/m ³]			
Carico accidentale agente sulla zattera di fondazione				$q3_{\text{verticale acqua}} =$	7,50	[kN/mq]
Carico del riempimento agente sulla zattera di fondazione				$q3_{\text{verticale riemp.}} =$	7,50	[kN/mq]
Valore massimo della spinta triangolare agente sui piedritti	$k =$	1,000	[-----]	$q3_{\text{max orizzontale}} =$	7,50	[kN/mq]

Tale carico nel modello è definito come “q3”.

Qui si seguito si riporta la schematizzazione grafica di come tale carico sia applicato alla struttura e quindi al modello di calcolo.



8.4.4 AZIONE DELLA FRENATURA (Q4)

L'azione della frenatura è valutata solo se persiste la seguente condizione:

$$\Delta H \leq L_{libera}$$

Con:

- ΔH : distanza tra l'estradosso della pavimentazione stradale e la linea media della soletta superiore;
- L_{libera} : luce libera in direzione trasversale del manufatto.

L'azione della frenatura è stata valutata mediante la seguente relazione (espressione 5.1.4 di cui al capitolo 5.1.3.5 del D.M. 17/01/2018) valida per i ponti di 1° categoria:

$$180 \text{ kN} \leq q_3 = 0,6 \cdot (2 \cdot Q_{1k}) + 0,10 \cdot q_{1k} \cdot w_1 \cdot L \leq 900 \text{ kN}$$

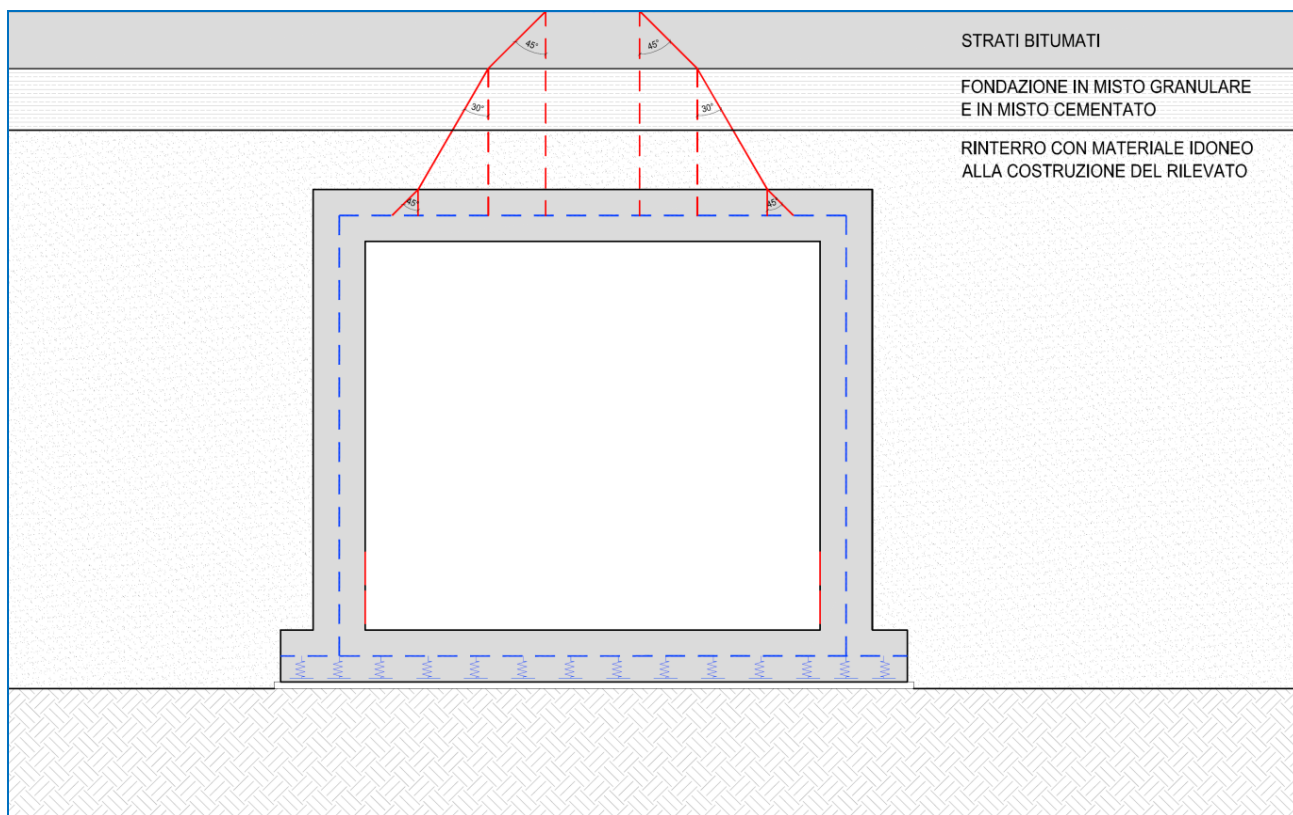
Il carico dovuto alla frenatura viene ripartito su una fascia di larghezza B:

$$B = w_1 + \Delta H$$

Con:

- ΔH : distanza tra l'estradosso della pavimentazione stradale e la linea media della soletta superiore;
- w_1 : larghezza convenzionale della corsia.

Di seguito viene riportato lo schema della diffusione del carico trasversalmente all'asse stradale.



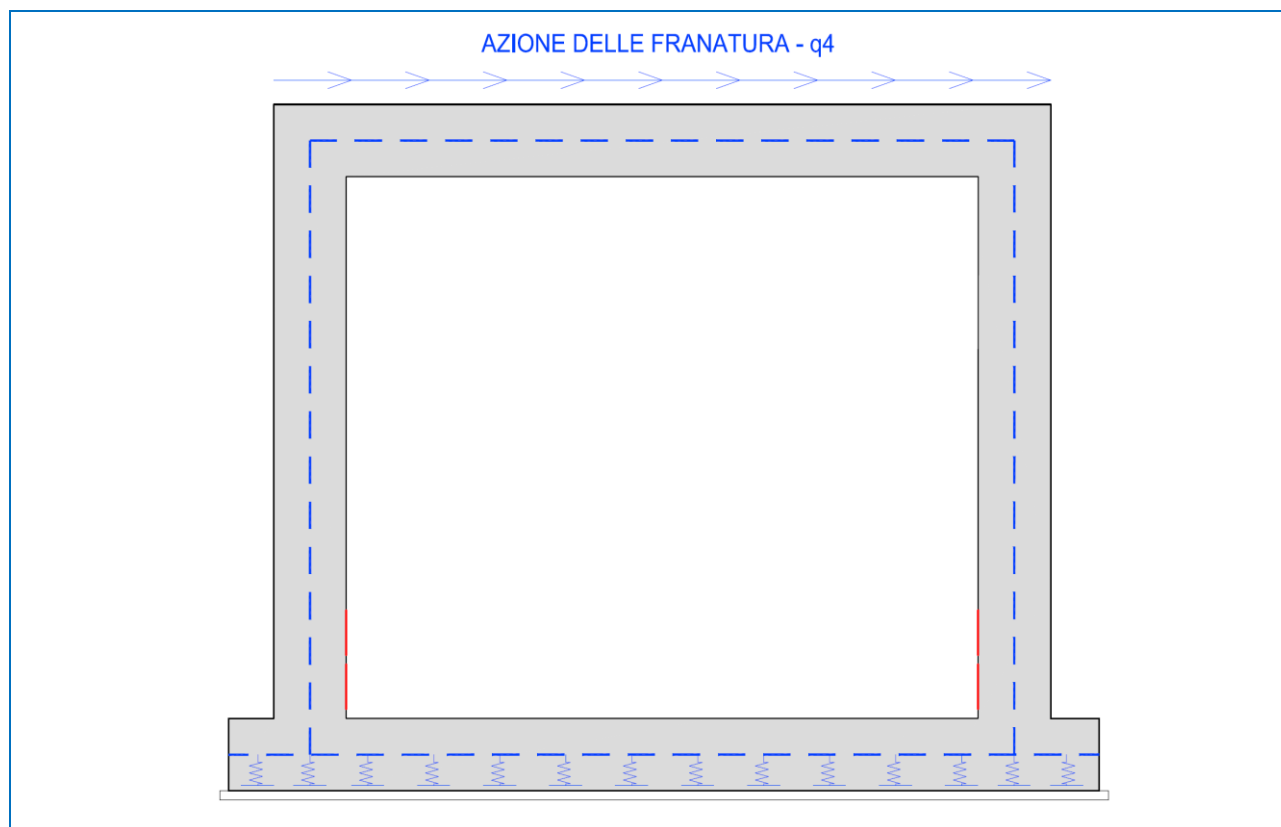
Il carico dovuto alla frenatura, considerato distribuito lungo la soletta superiore e riferito a una striscia di larghezza unitaria di struttura, è dunque pari a :

La larghezza di riferimento dell'azione della frenatura è assunta pari alla larghezza della singola corsia di carico, ossia pari a 300 cm. Così facendo si prende in considerazione la situazione più sfavorevole, nella quale l'azione di frenatura avviene su una corsia di bordo e quindi non ha possibilità di diffondersi in entrambi i lati.

TIPO DI CARICO	CARATTERISTICHE			VALORE DI APPLICAZIONE DEL CARICO SUL MODELLO		
Carico Q1 agente sulla corsia convenzionale n.1 per ponti di 1° categoria	Q1=	300,00	[kN]			
Carico q1 agente sulla corsia convenzionale n.1 per ponti di 1° categoria	q1=	9,00	[kN/mq]			
Larghezza corsia convenzionale	w1 =	3,00	[m]			
Lunghezza soletta superiore (esterno piedritti)	L =	3,00	[m]			
Lunghezza soletta superiore come da modello (lungh. del beam)	Lbeam =	2,75	[m]			
Carico della frenatura				Q totale frenatura=	368,10	[kN]
Carico della frenatura ripartito applicato al modello				q _{frenatura reale} =	0,000	[kN/m]*
Carico a favore di sicurezza applicato al modello				q _{frenatura} =	0,000	[kN/m]*

Tale carico nel modello è definito come “q4”.

Qui si seguito si riporta la schematizzazione grafica di come tale carico sia applicato alla struttura e quindi al modello di calcolo.



Il carico applicato tiene conto delle maggiori dimensioni reali dello scatolare rispetto a quelle del modello ad elementi beam.

8.4.5 AZIONE DELLA NEVE

L'azione della neve non è stata presa in considerazione in quanto non influente nella determinazione dei massimi valori di sollecitazione sulla struttura. Il carico da neve è infatti considerevolmente inferiore rispetto a quello da traffico

8.4.6 AZIONE DEL VENTO

Essendo la struttura interrato l'azione del vento non è stata presa in considerazione

8.5 DEFORMAZIONI IMPRESSE – EFFETTI REOLOGICI

8.5.1 RITIRO DELLA COPERTURA

In senso trasversale il ritiro è schematizzato come una contrazione termica uniforme equivalente della sola soletta superiore.

TIPO DI CARICO	CARATTERISTICHE			VALORE DI APPLICAZIONE DEL CARICO SUL MODELLO		
Calcestruzzo	Classe di resistenza C35/45			f _{ck} =	37,35	[N/mm ²]
Calcolo del parametro h ₀	Ac =	0,25	[mq]	u =	1,00	[ml]
				h ₀ =	0,50	[ml]
Calcolo della funzione di sviluppo temporale	t =	1000,00	[giorni]	t _s =	1,00	[giorni]
				β _{ds} (t-t _s)	1,00	[-----]
Ritiro per essiccamento	kh =	0,70	[-----]	ε _{c0} =	0,0000000	
	Umidità relativa =	60,00	[%]	ε _{cd, infinito} =	0,0000000	[-----]
				ε _{cd, (t)} =	0,0000000	[-----]
Ritiro autogeno				ε _{ca, infinito} =	0,0000684	[-----]
Ritiro totale				ε _{ca, infinito} =	0,0000684	[-----]
Calcolo delta termico equivalente	coeff termico	1,00E-05	[1/°]	Delta termico=	6,84	[°]
Calcolo termica uniforme da inserire su modello	n* =	1/3	[-----]	DT modello=	2,28	[°]

Nota Bene: la procedura di calcolo del ritiro del calcestruzzo utilizzata è conforme a quella prescritta dal D.M. 17/01/2018 al capitolo 11.2.10.6 e tiene conto delle normali condizioni di getto e di umidità dell'aria. Tale procedura porta a risultati nella sostanza comparabili con quelli dell'Eurocodice 2.

A favore di sicurezza l'umidità dell'aria è stata posta pari al 60% anche se in generale la stessa risulta mediamente superiore.

8.5.2 AZIONE TERMICA LONGITUDINALE (Q5)

Considerando che la struttura in esame è del tutto interrata e mai esposta direttamente ai raggi solari ma comunque soggetta ai tipici sbalzi termici a favore di sicurezza è stata considerata un'azione termica uniforme agente sulla soletta di copertura del sottopasso pari a **+/- 15°C**.

Il valore è conforme oltre che ai suggerimenti dei principali testi scientifici anche a quanto previsto al punto 5.2.2.4.2 Temperatura (Capitolo ponti ferroviari) della norma D.M. 17/01/2018 per impalcati in calcestruzzo, c.a. e c.a.p.

Tale azione è applicata alla sola soletta di copertura come variazione termica uniforme.

Tale carico nel modello è definito come “q5”.

8.5.3 AZIONE TERMICA DIFFERENZIALE (Q6)

Considerando che la struttura in esame è del tutto interrata e mai esposta direttamente ai raggi solari ma comunque soggetta ai tipici sbalzi termici, a favore di sicurezza è stata considerata un'azione termica differenziale agente sulla soletta di copertura del sottopasso pari a **+/- 5°C**.

Il valore è conforme, oltre che ai suggerimenti dei principali testi scientifici, anche a quanto previsto al punto 5.2.2.4.2 Temperatura -“*variazione termica non uniforme*” (Capitolo ponti ferroviari) della norma D.M. 17/01/2018 il quale prescrive testualmente: “*In aggiunta alla variazione termica uniforme, andrà considerato un gradiente di temperatura di 5°C fra estradosso ed intradosso di impalcato con verso da determinare caso per caso.*”

Tale valore è applicato al modello sulla sola soletta superiore come “gradiente termico a metro lineare”.

Tale carico nel modello è definito come “q6”.

8.6 AZIONI ECCEZIONALI

8.6.1 URTO DA AUTOVEICOLO IN SVIO

Per la fattispecie strutturale non è previsto urto da autoveicolo sulle parti strutturali principali oggetto della presente trattazione.

8.7 AZIONE SISMICA

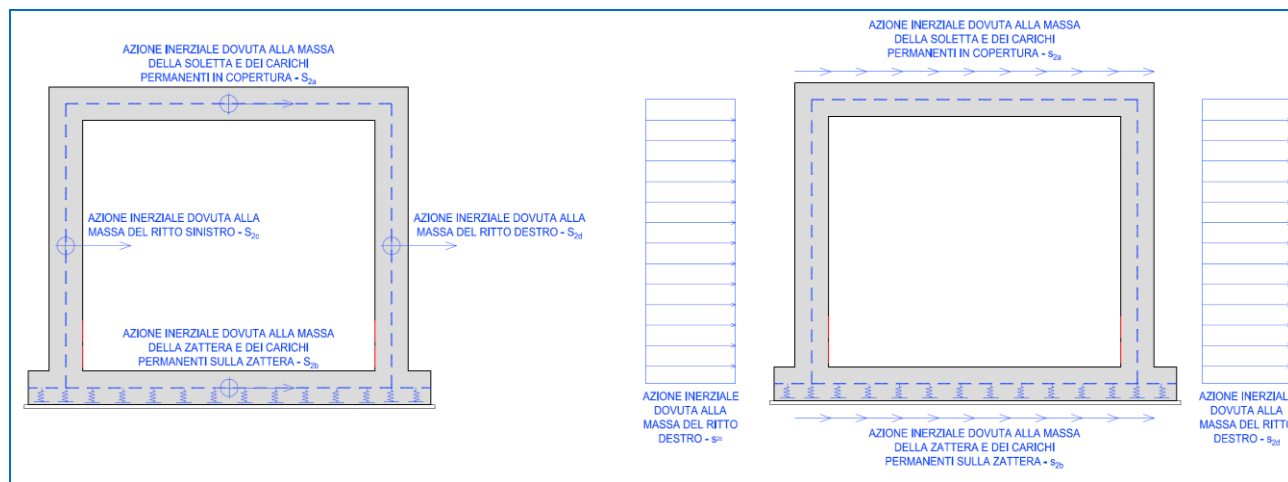
Le sollecitazioni agenti sulla struttura in fase sismica vengono determinate attraverso un'analisi pseudo-statica, secondo quanto riportato nel DM 17.01.2018 "Nuove norme tecniche per le costruzioni", paragrafo 7.11.6. e conformemente alle previsioni di cui al punto 5.1.3.12 della norma vigente. In particolare conformemente a questo ultimo paragrafo (5.1.3.12), trattandosi di un'opera secondaria ed essendo la stessa inserita in un contesto non urbano ad intenso traffico, all'interno delle masse sismiche non sono stati considerati i carichi da traffico.

8.7.1 AZIONE INERZIALE DELLE MASSE (s2)

Le azioni inerziali, orizzontali e verticali, dovute alle accelerazioni subite in fase sismica dalle masse degli elementi strutturali e del terreno sovrastante la struttura di copertura sono state valutate moltiplicando il peso degli elementi strutturali per i coefficienti sismici orizzontale k_h (pari alla PGA) e verticale k_v .

TIPO DI CARICO	CARATTERISTICHE			VALORE DI APPLICAZIONE DEL CARICO SUL MODELLO		
Caratteristiche compressive sismiche	ag (PGA) =	0,050	[-----]	$Y_{calcestruzzo}$ =	25,00	[kN/mc]
	S_S =	1,50	[-----]	S_T =	1,00	[-----]
	K_h	0,08	[-----]	K_v	0,04	[-----]
Inerzia ricoprimento	Area ricoprimento	30,00	[mq]	$s_{2,a}$ =	16,88	[kN/mq]
Inerzia sismica soletta superiore	Area soletta superiore	0,75	[mq]			
Inerzia sismica piedritti	Area piedritto	0,38	[mq]	$s_{2,c}$ e $s_{2,d}$ =	0,40	[kN/mq]
Inerzia sismica soletta inferiore	Area soletta inferiore	0,90	[mq]	$s_{2,b}$ =	0,61	[kN/mq]

Tali azioni nel modello sono definite come "s2" seguito da un suffisso numerico in funzione dei singoli elementi considerati (soletta piedritti ...). Qui si seguito si riporta la schematizzazione grafica di come tale carico sia applicato alla struttura e quindi al modello di calcolo.



Nota Bene: le azioni inerziali sismiche sono applicate al modello solo in una direzione orizzontale (alla stregua di quanto già fatto per le spinte del terreno in condizione k_0/k_a e delle sovraspinte). L'output del modello, in termini di sollecitazioni flettenti e taglianti, è quindi di tipo asimmetrico. L'armatura è ovviamente stata progettata simmetrica e le verifiche sono state condotte con i valori massimi.

8.7.2 SOVRASPINTA DINAMICA DEI TERRENI (S1)

L'azione di spinta attiva dei terreni in fase sismica (sovraspinta dinamica) viene valutata mediante la relazione di Wood:

$$\Delta P = \gamma \cdot a_g \cdot S \cdot H^2$$

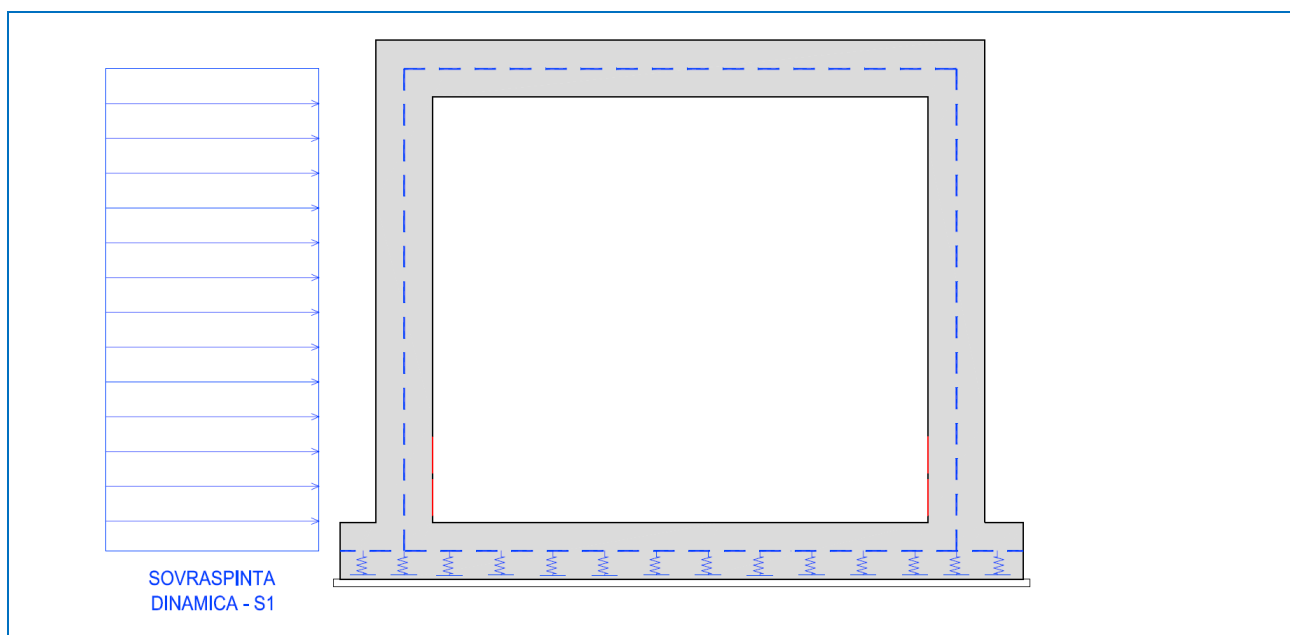
dove:

- γ è il peso per unità di volume del terreno
- H è l'altezza della struttura soggetta alla spinta del terreno

TIPO DI CARICO	CARATTERISTICHE			VALORE DI APPLICAZIONE DEL CARICO SUL MODELLO		
Caratteristiche compressive sismiche	ag (PGA) =	0,050	[-----]	Y _{rinterro} =	20,00	[kN/mc]
	S _s =	1,50	[-----]	S _T =	1,00	[-----]
	Kh	0,08	[-----]	Kv	0,04	[-----]
Spinta lungo l'elemento beam del piedritto in condizioni di k0 per carico distribuito	H =	1,50	[m]	s1 =	3,38	[kN/mq]

Tale azioni nel modello è definita come “s1”.

Qui si seguito si riporta la schematizzazione grafica di come tale carico sia applicato alla struttura e quindi al modello di calcolo.



Nota Bene: l'azione sismica è applicata ad un solo lato del modello (alla stregua di quanto già fatto per le spinte del terreno in condizione k0/ka e delle sovraspinte). L'output del modello, in termini di sollecitazioni flettenti e taglianti, è quindi di tipo asimmetrico. L'armatura è ovviamente stata progettata simmetrica e le verifiche sono state condotte con i valori massimi.

9 COMBINAZIONI DI CARICO

9.1 DEFINIZIONE DEI CARICHI ELEMNTARI E DEI COEFFICIENTI DI PARTECIPAZIONE

Ai sensi di quanto previsto dal NTC 2018 le combinazioni di carico sono state sviluppate secondo la Tab. 5.1.IV qui di seguito riportata:

Gruppo di azioni	<i>Carichi sulla carreggiata</i>					<i>Carichi su marciapiedi e piste ciclabili</i>
	Carichi verticali			Carichi orizzontali		Carichi verticali
	Modello principale (Schemi di carico 1, 2, 3, 4, 6)	Veicoli speciali	Folla (Schema di carico 5)	Frenatura q_3	Forza centrifuga q_4	Carico uniformemente distribuito
1	Valore caratteristico					Schema di carico 5 con valore di combinazione $2,5 \text{ kN/m}^2$
2 a	Valore frequente			Valore caratteristico		
2 b	Valore frequente				Valore caratteristico	
3 (*)						Schema di carico 5 con valore caratteristico $5,0 \text{ kN/m}^2$
4 (**)			Schema di carico 5 con valore caratteristico $5,0 \text{ kN/m}^2$			Schema di carico 5 con valore caratteristico $5,0 \text{ kN/m}^2$
5 (***)	Da definirsi per il singolo progetto	Valore caratteristico o nominale				

(*) Ponti di 3^a categoria
 (**) Da considerare solo se richiesto dal particolare progetto (ad es. ponti in zona urbana)
 (***) Da considerare solo se si considerano veicoli speciali

Si rappresenta che ovviamente il carico da folla su marciapiedi e piste ciclabili è stato considerato ininfluenza visto che è stata calcolata una “fetta” di struttura di larghezza unitaria caricata con i carichi stradali da traffico.

L’approccio seguito per il calcolo e verifica dell’opera è l’**Approccio 2** con la combinazione dei coefficienti parziali **A1+M1+R3** (D.M. 17/01/2018 cap.6.4.3.1).

Nella tabella successiva sono riportati i carichi elementari introdotti nei modelli di calcolo ed i rispettivi coefficienti di amplificazione (γ) e partecipazione (ψ):

CARICO ELEMENTARE		COEFF. DI SPINTA	DISPOSIZIONE	CASI DI ANALISI	γ_{SLU} (sfavorevole)	γ_{SLU} (favorevole)	ψ_0	ψ_1	ψ_2
g_1	Peso proprio degli elementi strutturali	-		PP-01	1,35	1,00	1,00	1,00	1,00
g_2	Carico permanente dovuto al peso della pavimentazione stradale	-		CP-01	1,50	1,00	1,00	1,00	1,00
g_3	Carico permanente dovuto al peso del terreno di ricoprimento	-							
$g_{4,1}$	Spinta laterale del terreno sul ritto sinistro	k_0		SPT-01	1,35	1,00	1,00	1,00	1,00
$g_{5,1}$	Spinta laterale del terreno sul ritto destro	k_0							
$g_{4,2}$	Spinta laterale del terreno sul ritto sinistro	k_a		SPT-02	1,35	1,00	1,00	1,00	1,00
$g_{5,2}$	Spinta laterale del terreno sul ritto destro	k_a							
$g_{4,1}$	Spinta laterale del terreno sul ritto sinistro	k_0		SPT-03	1,35	1,00	1,00	1,00	1,00
$g_{5,2}$	Spinta laterale del terreno sul ritto destro	k_a							
$g_{6,1}$	Spinta laterale dei sovraccarichi permanenti sul ritto sinistro	k_0		SPCP-01	1,50	1,00	1,00	1,00	1,00
$g_{7,1}$	Spinta laterale dei sovraccarichi permanenti sul ritto destro	k_0							
$g_{6,2}$	Spinta laterale dei sovraccarichi permanenti sul ritto sinistro	k_a		SPCP-02	1,50	1,00	1,00	1,00	1,00
$g_{7,2}$	Spinta laterale dei sovraccarichi permanenti sul ritto destro	k_a							
$g_{6,1}$	Spinta laterale dei sovraccarichi permanenti sul ritto sinistro	k_0		SPCP-03	1,50	1,00	1,00	1,00	1,00
$g_{7,2}$	Spinta laterale dei sovraccarichi permanenti sul ritto destro	k_a							
ϵ_1	Azione del ritiro	-	-	RT-01	1,20	0,00	1,00	1,00	1,00
$q_{1a,1}$	Carico accidentale da traffico concentrato diffuso sulla copertura	-	1	SPACC-01	1,35	0,00	0,75	0,75	0,00
q_{2a}	Carico accidentale da traffico distribuito sulla copertura	-			1,35	0,00	0,75	0,75	0,00
$q_{1b,1,1}$	Spinta laterale del sovraccarico concentrato diffuso sul ritto sinistro	k_0			1,35	0,00	0,75	0,75	0,00
$q_{2b,1,1}$	Spinta laterale del sovraccarico distribuito sul ritto sinistro	k_0			1,35	0,00	0,75	0,75	0,00
$q_{2b,2,1}$	Spinta laterale del sovraccarico distribuito sul ritto destro	k_0			1,35	0,00	0,75	0,75	0,00
$q_{1a,1}$	Carico accidentale da traffico concentrato diffuso sulla copertura	-			1	SPACC-02	1,35	0,00	0,75

CARICO ELEMENTARE		COEFF. DI SPINTA	DISPOSIZIONE	CASI DI ANALISI	γ_{SLU} (sfavorevole)	γ_{SLU} (favorevole)	ψ_0	ψ_1	ψ_2
q _{2a}	Carico accidentale da traffico distribuito sulla copertura	-			1,35	0,00	0,75	0,75	0,00
q _{1b,1,2}	Spinta laterale del sovraccarico concentrato diffuso sul ritto sinistro	k _a			1,35	0,00	0,75	0,75	0,00
q _{2b,1,2}	Spinta laterale del sovraccarico distribuito sul ritto sinistro	k _a			1,35	0,00	0,75	0,75	0,00
q _{2b,2,2}	Spinta laterale del sovraccarico distribuito sul ritto destro	k _a			1,35	0,00	0,75	0,75	0,00
q _{1a,1}	Carico accidentale da traffico concentrato diffuso sulla copertura	-	1	SPACC-03	1,35	0,00	0,75	0,75	0,00
q _{2a}	Carico accidentale da traffico distribuito sulla copertura	-			1,35	0,00	0,75	0,75	0,00
q _{1b,1,1}	Spinta laterale del sovraccarico concentrato diffuso sul ritto sinistro	k ₀			1,35	0,00	0,75	0,75	0,00
q _{2b,1,1}	Spinta laterale del sovraccarico distribuito sul ritto sinistro	k ₀			1,35	0,00	0,75	0,75	0,00
q _{2b,2,2}	Spinta laterale del sovraccarico distribuito sul ritto destro	k _a			1,35	0,00	0,75	0,75	0,00
q _{1a,2}	Carico accidentale da traffico concentrato diffuso sulla copertura	-	2	SPACC-04	1,35	0,00	0,75	0,75	0,00
q _{2a}	Carico accidentale da traffico distribuito sulla copertura	-			1,35	0,00	0,75	0,75	0,00
q _{1b,1,1}	Spinta laterale del sovraccarico concentrato diffuso sul ritto sinistro	k ₀			1,35	0,00	0,75	0,75	0,00
q _{2b,1,1}	Spinta laterale del sovraccarico distribuito sul ritto sinistro	k ₀			1,35	0,00	0,75	0,75	0,00
q _{2b,2,1}	Spinta laterale del sovraccarico distribuito sul ritto destro	k ₀			1,35	0,00	0,75	0,75	0,00
q _{1a,2}	Carico accidentale da traffico concentrato diffuso sulla copertura	-	2	SPACC-05	1,35	0,00	0,75	0,75	0,00
q _{2a}	Carico accidentale da traffico distribuito sulla copertura	-			1,35	0,00	0,75	0,75	0,00
q _{1b,1,2}	Spinta laterale del sovraccarico concentrato diffuso sul ritto sinistro	k _a			1,35	0,00	0,75	0,75	0,00
q _{2b,1,2}	Spinta laterale del sovraccarico distribuito sul ritto sinistro	k _a			1,35	0,00	0,75	0,75	0,00
q _{2b,2,2}	Spinta laterale del sovraccarico distribuito sul ritto destro	k _a			1,35	0,00	0,75	0,75	0,00
q _{1a,2}	Carico accidentale da traffico concentrato diffuso sulla copertura	-	2	SPACC-06	1,35	0,00	0,75	0,75	0,00
q _{2a}	Carico accidentale da traffico distribuito sulla copertura	-			1,35	0,00	0,75	0,75	0,00
q _{1b,1,1}	Spinta laterale del sovraccarico concentrato diffuso sul ritto sinistro	k ₀			1,35	0,00	0,75	0,75	0,00
q _{2b,1,1}	Spinta laterale del sovraccarico distribuito sul ritto sinistro	k ₀			1,35	0,00	0,75	0,75	0,00

CARICO ELEMENTARE		COEFF. DI SPINTA	DISPOSIZIONE	CASI DI ANALISI	γ_{SLU} (sfavorevole)	γ_{SLU} (favorevole)	ψ_0	ψ_1	ψ_2
q _{2b,2,2}	Spinta laterale del sovraccarico distribuito sul ritto destro	k _a			1,35	0,00	0,75	0,75	0,00
q _{1a,3}	Carico accidentale da traffico concentrato diffuso sulla copertura	-	3	SPACC-07	1,35	0,00	0,75	0,75	0,00
q _{2a}	Carico accidentale da traffico distribuito sulla copertura	-			1,35	0,00	0,75	0,75	0,00
q _{1b,1,1}	Spinta laterale del sovraccarico concentrato diffuso sul ritto sinistro	k ₀			1,35	0,00	0,75	0,75	0,00
q _{2b,1,1}	Spinta laterale del sovraccarico distribuito sul ritto sinistro	k ₀			1,35	0,00	0,75	0,75	0,00
q _{2b,2,1}	Spinta laterale del sovraccarico distribuito sul ritto destro	k ₀			1,35	0,00	0,75	0,75	0,00
q _{1a,3}	Carico accidentale da traffico concentrato diffuso sulla copertura	-			3	SPACC-08	1,35	0,00	0,75
q _{2a}	Carico accidentale da traffico distribuito sulla copertura	-	1,35	0,00			0,75	0,75	0,00
q _{1b,1,2}	Spinta laterale del sovraccarico concentrato diffuso sul ritto sinistro	k _a	1,35	0,00			0,75	0,75	0,00
q _{2b,1,2}	Spinta laterale del sovraccarico distribuito sul ritto sinistro	k _a	1,35	0,00			0,75	0,75	0,00
q _{2b,2,2}	Spinta laterale del sovraccarico distribuito sul ritto destro	k _a	1,35	0,00			0,75	0,75	0,00
q _{1a,3}	Carico accidentale da traffico concentrato diffuso sulla copertura	-	3	SPACC-09			1,35	0,00	0,75
q _{2a}	Carico accidentale da traffico distribuito sulla copertura	-			1,35	0,00	0,75	0,75	0,00
q _{1b,1,1}	Spinta laterale del sovraccarico concentrato diffuso sul ritto sinistro	k ₀			1,35	0,00	0,75	0,75	0,00
q _{2b,1,1}	Spinta laterale del sovraccarico distribuito sul ritto sinistro	k ₀			1,35	0,00	0,75	0,75	0,00
q _{2b,2,2}	Spinta laterale del sovraccarico distribuito sul ritto destro	k _a			1,35	0,00	0,75	0,75	0,00
q _{1a,4}	Carico accidentale da traffico concentrato diffuso sulla copertura	-			4	SPACC-10	1,35	0,00	0,75
q _{2a}	Carico accidentale da traffico distribuito sulla copertura	-	1,35	0,00			0,75	0,75	0,00
q _{1b,1,1}	Spinta laterale del sovraccarico concentrato diffuso sul ritto sinistro	k ₀	1,35	0,00			0,75	0,75	0,00
q _{1b,2,1}	Spinta laterale del sovraccarico concentrato diffuso sul ritto destro	k ₀	1,35	0,00			0,75	0,75	0,00
q _{2b,1,1}	Spinta laterale del sovraccarico distribuito sul ritto sinistro	k ₀	1,35	0,00			0,75	0,75	0,00
q _{2b,2,1}	Spinta laterale del sovraccarico distribuito sul ritto destro	k ₀	1,35	0,00			0,75	0,75	0,00
q _{1a,4}	Carico accidentale da traffico concentrato diffuso sulla copertura	-	4	SPACC-11	1,35	0,00	0,75	0,75	0,00

CARICO ELEMENTARE		COEFF. DI SPINTA	DISPOSIZIONE	CASI DI ANALISI	γ_{SLU} (sfavorevole)	γ_{SLU} (favorevole)	ψ_0	ψ_1	ψ_2
q _{2a}	Carico accidentale da traffico distribuito sulla copertura	-			1,35	0,00	0,75	0,75	0,00
q _{1b,1,2}	Spinta laterale del sovraccarico concentrato diffuso sul ritto sinistro	k _a			1,35	0,00	0,75	0,75	0,00
q _{1b,2,2}	Spinta laterale del sovraccarico concentrato diffuso sul ritto destro	k _a			1,35	0,00	0,75	0,75	0,00
q _{2b,1,2}	Spinta laterale del sovraccarico distribuito sul ritto sinistro	k _a			1,35	0,00	0,75	0,75	0,00
q _{2b,2,2}	Spinta laterale del sovraccarico distribuito sul ritto destro	k _a			1,35	0,00	0,75	0,75	0,00
q _{1a,4}	Carico accidentale da traffico concentrato diffuso sulla copertura	-			1,35	0,00	0,75	0,75	0,00
q _{2a}	Carico accidentale da traffico distribuito sulla copertura	-			1,35	0,00	0,75	0,75	0,00
q _{1b,1,1}	Spinta laterale del sovraccarico concentrato diffuso sul ritto sinistro	k ₀	4	SPACC-12	1,35	0,00	0,75	0,75	0,00
q _{1b,2,2}	Spinta laterale del sovraccarico concentrato diffuso sul ritto destro	k _a			1,35	0,00	0,75	0,75	0,00
q _{2b,1,1}	Spinta laterale del sovraccarico distribuito sul ritto sinistro	k ₀			1,35	0,00	0,75	0,75	0,00
q _{2b,2,2}	Spinta laterale del sovraccarico distribuito sul ritto destro	k _a			1,35	0,00	0,75	0,75	0,00
q ₃	Carico accidentale da traffico distribuito sulla zattera di base	-	-	ACCZATT-01	1,50	0,00	1,00	1,00	0,00
q ₄	Azione longitudinale della frenatura	-	-	FR-01	1,35	0,00	0,00	0,00	0,00
q ₅	Azione termica longitudinale	-	-	TL-01	1,20	0,00	0,60	0,50	0,50
q ₆	Azione termica differenziale	-	-	TD-01	1,20	0,00	0,60	0,50	0,50
s ₁	Sovrappinta dinamica dei terreni	-	-		1,00	1,00	-	-	-
s _{2a}	Inerzia sismica orizzontale dovuta alla massa della soletta ed ai carichi permanenti portati in copertura	-	-		1,00	1,00	-	-	-
s _{2b}	Inerzia sismica orizzontale dovuta alla massa della zattera ed ai carichi permanenti portati sulla zattera	-	-	SISMA	1,00	1,00	-	-	-
s _{2c}	Inerzia sismica orizzontale dovuta alla massa del ritto sinistro	-	-		1,00	1,00	-	-	-
s _{2d}	Inerzia sismica orizzontale dovuta alla massa del ritto destro	-	-		1,00	1,00	-	-	-

9.2 COMBINAZIONI DI CARICO ALLO STATO LIMITE DI ESERCIZIO – COMBINAZIONI QUASI-PERMANENTI

Per le combinazioni di carico statiche relative alla struttura in oggetto si è fatto riferimento a quanto riportato nel capitolo nel D.M. 17.01.2018 “Nuove norme tecniche per le costruzioni”, par. 2.5.3.

Sulla base di ciò sono state individuate le combinazioni di carico statiche quasi permanenti allo Stato Limite di Esercizio, ottenute tramite la relazione generale:

$$F_d = \sum G_{kj} + \sum (\psi_{2i} \cdot Q_{ki})$$

dove:

- G_{kj} rappresenta il valore caratteristico della j-esima azione permanente
- Q_{ki} rappresenta il valore caratteristico della i-esima azione variabile
- Ψ_{2i} rappresentano i coefficienti di combinazione per tener conto della ridotta probabilità di concomitanza delle azioni variabili con i loro valori quasi permanenti

		COMBINAZIONI ALLO STATO LIMITE DI ESERCIZIO - QUASI PERMANENTI																										
CASO DI ANALISI		PP-01	CP-01	SPT-01	SPT-02	SPT-03	SPCP-01	SPCP-02	SPCP-03	RT-01	SPACC-01	SPACC-02	SPACC-03	SPACC-04	SPACC-05	SPACC-06	SPACC-07	SPACC-08	SPACC-09	SPACC-10	SPACC-11	SPACC-12	ACCZAIT-01	FR-01	TL-01	TD-01	SISMA	
		Q.P.01	ψ	1,00	1,00	1,00	0,00	0,00	1,00	0,00	0,00	0,00	0,00	0,00	0,00	0,00	0,00	0,00	0,00	0,00	0,00	0,00	0,00	0,00	0,00	0,00	0,00	0,50
Q.P.02	ψ	1,00	1,00	1,00	0,00	0,00	1,00	0,00	0,00	0,00	0,00	0,00	0,00	0,00	0,00	0,00	0,00	0,00	0,00	0,00	0,00	0,00	0,00	0,00	0,00	0,50	-0,50	0,00
Q.P.03	ψ	1,00	1,00	1,00	0,00	0,00	1,00	0,00	0,00	1,00	0,00	0,00	0,00	0,00	0,00	0,00	0,00	0,00	0,00	0,00	0,00	0,00	0,00	0,00	0,00	-0,50	0,50	0,00
Q.P.04	ψ	1,00	1,00	1,00	0,00	0,00	1,00	0,00	0,00	1,00	0,00	0,00	0,00	0,00	0,00	0,00	0,00	0,00	0,00	0,00	0,00	0,00	0,00	0,00	0,00	-0,50	-0,50	0,00
Q.P.05	ψ	1,00	1,00	0,00	1,00	0,00	0,00	1,00	0,00	0,00	0,00	0,00	0,00	0,00	0,00	0,00	0,00	0,00	0,00	0,00	0,00	0,00	0,00	0,00	0,00	0,50	0,50	0,00
Q.P.06	ψ	1,00	1,00	0,00	1,00	0,00	0,00	1,00	0,00	0,00	0,00	0,00	0,00	0,00	0,00	0,00	0,00	0,00	0,00	0,00	0,00	0,00	0,00	0,00	0,00	0,50	-0,50	0,00
Q.P.07	ψ	1,00	1,00	0,00	1,00	0,00	0,00	1,00	0,00	1,00	0,00	0,00	0,00	0,00	0,00	0,00	0,00	0,00	0,00	0,00	0,00	0,00	0,00	0,00	0,00	-0,50	0,50	0,00
Q.P.08	ψ	1,00	1,00	0,00	1,00	0,00	0,00	1,00	0,00	1,00	0,00	0,00	0,00	0,00	0,00	0,00	0,00	0,00	0,00	0,00	0,00	0,00	0,00	0,00	0,00	-0,50	-0,50	0,00
Q.P.09	ψ	1,00	1,00	0,00	0,00	1,00	0,00	0,00	1,00	0,00	0,00	0,00	0,00	0,00	0,00	0,00	0,00	0,00	0,00	0,00	0,00	0,00	0,00	0,00	0,00	0,50	0,50	0,00
Q.P.10	ψ	1,00	1,00	0,00	0,00	1,00	0,00	0,00	1,00	0,00	0,00	0,00	0,00	0,00	0,00	0,00	0,00	0,00	0,00	0,00	0,00	0,00	0,00	0,00	0,00	0,50	-0,50	0,00
Q.P.11	ψ	1,00	1,00	0,00	0,00	1,00	0,00	0,00	1,00	1,00	0,00	0,00	0,00	0,00	0,00	0,00	0,00	0,00	0,00	0,00	0,00	0,00	0,00	0,00	0,00	-0,50	0,50	0,00
Q.P.12	ψ	1,00	1,00	0,00	0,00	1,00	0,00	0,00	1,00	1,00	0,00	0,00	0,00	0,00	0,00	0,00	0,00	0,00	0,00	0,00	0,00	0,00	0,00	0,00	0,00	-0,50	-0,50	0,00

9.3 COMBINAZIONI DI CARICO ALLO STATO LIMITE DI ESERCIZIO – COMBINAZIONI FREQUENTI

Per le combinazioni di carico statiche relative alla struttura in oggetto si è fatto riferimento a quanto riportato nel capitolo nel D.M. 17.01.2018 “Nuove norme tecniche per le costruzioni”, par. 2.5.3. Sulla base di ciò sono state individuate le combinazioni di carico statiche frequenti allo Stato Limite di Esercizio, ottenute tramite la relazione generale:

$$F_d = \sum G_{kj} + \psi_{11} \cdot Q_{k1} + \sum (\psi_{2i} \cdot Q_{ki})$$

dove:

- G_{kj} rappresenta il valore caratteristico della j-esima azione permanente
- Q_{k1} rappresenta il valore caratteristico dell'azione variabile di base in ogni combinazione
- Q_{ki} rappresenta il valore caratteristico della i-esima azione variabile
- Ψ_{1i} rappresentano i coefficienti di combinazione per tener conto della ridotta probabilità di concomitanza delle azioni variabili con i loro valori frequenti

COMBINAZIONI ALLO STATO LIMITE DI ESERCIZIO - FREQUENTI																											
CASO DI ANALISI		PP-01	CP-01	SPT-01	SPT-02	SPT-03	SPCP-01	SPCP-02	SPCP-03	RT-01	SPACC-01	SPACC-02	SPACC-03	SPACC-04	SPACC-05	SPACC-06	SPACC-07	SPACC-08	SPACC-09	SPACC-10	SPACC-11	SPACC-12	ACCZATT-01	FR-01	TL-01	TD-01	SISMA
FR.01	ψ	1,00	1,00	1,00	0,00	0,00	1,00	0,00	0,00	0,00	0,75	0,00	0,00	0,00	0,00	0,00	0,00	0,00	0,00	0,00	0,00	0,00	0,00	0,00	0,50	0,50	0,00
FR.02	ψ	1,00	1,00	1,00	0,00	0,00	1,00	0,00	0,00	0,00	0,75	0,00	0,00	0,00	0,00	0,00	0,00	0,00	0,00	0,00	0,00	0,00	0,00	0,00	0,50	-0,50	0,00
FR.03	ψ	1,00	1,00	1,00	0,00	0,00	1,00	0,00	0,00	1,00	0,75	0,00	0,00	0,00	0,00	0,00	0,00	0,00	0,00	0,00	0,00	0,00	0,00	0,00	-0,50	0,50	0,00
FR.04	ψ	1,00	1,00	1,00	0,00	0,00	1,00	0,00	0,00	1,00	0,75	0,00	0,00	0,00	0,00	0,00	0,00	0,00	0,00	0,00	0,00	0,00	0,00	0,00	-0,50	-0,50	0,00
FR.05	ψ	1,00	1,00	0,00	1,00	0,00	0,00	1,00	0,00	0,00	0,75	0,00	0,00	0,00	0,00	0,00	0,00	0,00	0,00	0,00	0,00	0,00	0,00	0,00	0,50	0,50	0,00
FR.06	ψ	1,00	1,00	0,00	1,00	0,00	0,00	1,00	0,00	0,00	0,75	0,00	0,00	0,00	0,00	0,00	0,00	0,00	0,00	0,00	0,00	0,00	0,00	0,00	0,50	-0,50	0,00
FR.07	ψ	1,00	1,00	0,00	1,00	0,00	0,00	1,00	0,00	1,00	0,75	0,00	0,00	0,00	0,00	0,00	0,00	0,00	0,00	0,00	0,00	0,00	0,00	0,00	-0,50	0,50	0,00
FR.08	ψ	1,00	1,00	0,00	1,00	0,00	0,00	1,00	0,00	1,00	0,75	0,00	0,00	0,00	0,00	0,00	0,00	0,00	0,00	0,00	0,00	0,00	0,00	0,00	-0,50	-0,50	0,00
FR.09	ψ	1,00	1,00	0,00	0,00	1,00	0,00	0,00	1,00	0,00	0,00	0,75	0,00	0,00	0,00	0,00	0,00	0,00	0,00	0,00	0,00	0,00	0,00	0,00	0,50	0,50	0,00
FR.10	ψ	1,00	1,00	0,00	0,00	1,00	0,00	0,00	1,00	0,00	0,00	0,75	0,00	0,00	0,00	0,00	0,00	0,00	0,00	0,00	0,00	0,00	0,00	0,00	0,50	-0,50	0,00
FR.11	ψ	1,00	1,00	0,00	0,00	1,00	0,00	0,00	1,00	1,00	0,00	0,75	0,00	0,00	0,00	0,00	0,00	0,00	0,00	0,00	0,00	0,00	0,00	0,00	-0,50	0,50	0,00
FR.12	ψ	1,00	1,00	0,00	0,00	1,00	0,00	0,00	1,00	1,00	0,00	0,75	0,00	0,00	0,00	0,00	0,00	0,00	0,00	0,00	0,00	0,00	0,00	0,00	-0,50	-0,50	0,00
FR.13	ψ	1,00	1,00	1,00	0,00	0,00	1,00	0,00	0,00	0,00	0,00	0,00	0,75	0,00	0,00	0,00	0,00	0,00	0,00	0,00	0,00	0,00	0,00	0,00	0,50	0,50	0,00
FR.14	ψ	1,00	1,00	1,00	0,00	0,00	1,00	0,00	0,00	0,00	0,00	0,00	0,75	0,00	0,00	0,00	0,00	0,00	0,00	0,00	0,00	0,00	0,00	0,00	0,50	-0,50	0,00
FR.15	ψ	1,00	1,00	1,00	0,00	0,00	1,00	0,00	0,00	1,00	0,00	0,00	0,75	0,00	0,00	0,00	0,00	0,00	0,00	0,00	0,00	0,00	0,00	0,00	-0,50	0,50	0,00
FR.16	ψ	1,00	1,00	1,00	0,00	0,00	1,00	0,00	0,00	1,00	0,00	0,00	0,75	0,00	0,00	0,00	0,00	0,00	0,00	0,00	0,00	0,00	0,00	0,00	-0,50	-0,50	0,00
FR.17	ψ	1,00	1,00	0,00	1,00	0,00	0,00	1,00	0,00	0,00	0,00	0,00	0,75	0,00	0,00	0,00	0,00	0,00	0,00	0,00	0,00	0,00	0,00	0,00	0,50	0,50	0,00
FR.18	ψ	1,00	1,00	0,00	1,00	0,00	0,00	1,00	0,00	0,00	0,00	0,00	0,75	0,00	0,00	0,00	0,00	0,00	0,00	0,00	0,00	0,00	0,00	0,00	0,50	-0,50	0,00
FR.19	ψ	1,00	1,00	0,00	1,00	0,00	0,00	1,00	0,00	1,00	0,00	0,00	0,00	0,75	0,00	0,00	0,00	0,00	0,00	0,00	0,00	0,00	0,00	0,00	-0,50	0,50	0,00
FR.20	ψ	1,00	1,00	0,00	1,00	0,00	0,00	1,00	0,00	1,00	0,00	0,00	0,00	0,75	0,00	0,00	0,00	0,00	0,00	0,00	0,00	0,00	0,00	0,00	-0,50	-0,50	0,00
FR.21	ψ	1,00	1,00	0,00	0,00	1,00	0,00	0,00	1,00	0,00	0,00	0,00	0,00	0,00	0,75	0,00	0,00	0,00	0,00	0,00	0,00	0,00	0,00	0,00	0,50	0,50	0,00
FR.22	ψ	1,00	1,00	0,00	0,00	1,00	0,00	0,00	1,00	0,00	0,00	0,00	0,00	0,00	0,75	0,00	0,00	0,00	0,00	0,00	0,00	0,00	0,00	0,00	0,50	-0,50	0,00
FR.23	ψ	1,00	1,00	0,00	0,00	1,00	0,00	0,00	1,00	1,00	0,00	0,00	0,00	0,00	0,75	0,00	0,00	0,00	0,00	0,00	0,00	0,00	0,00	0,00	-0,50	0,50	0,00
FR.24	ψ	1,00	1,00	0,00	0,00	1,00	0,00	0,00	1,00	1,00	0,00	0,00	0,00	0,00	0,75	0,00	0,00	0,00	0,00	0,00	0,00	0,00	0,00	0,00	-0,50	-0,50	0,00
FR.25	ψ	1,00	1,00	1,00	0,00	0,00	1,00	0,00	0,00	0,00	0,00	0,00	0,00	0,00	0,75	0,00	0,00	0,00	0,00	0,00	0,00	0,00	0,00	0,00	0,50	0,50	0,00
FR.26	ψ	1,00	1,00	1,00	0,00	0,00	1,00	0,00	0,00	0,00	0,00	0,00	0,00	0,00	0,75	0,00	0,00	0,00	0,00	0,00	0,00	0,00	0,00	0,00	0,50	-0,50	0,00
FR.27	ψ	1,00	1,00	1,00	0,00	0,00	1,00	0,00	0,00	1,00	0,00	0,00	0,00	0,00	0,75	0,00	0,00	0,00	0,00	0,00	0,00	0,00	0,00	0,00	-0,50	0,50	0,00
FR.28	ψ	1,00	1,00	1,00	0,00	0,00	1,00	0,00	0,00	1,00	0,00	0,00	0,00	0,00	0,75	0,00	0,00	0,00	0,00	0,00	0,00	0,00	0,00	0,00	-0,50	-0,50	0,00

COMBINAZIONI ALLO STATO LIMITE DI ESERCIZIO - FREQUENTI																											
CASO DI ANALISI		PP-01	CP-01	SPT-01	SPT-02	SPT-03	SPCP-01	SPCP-02	SPCP-03	RT-01	SPACC-01	SPACC-02	SPACC-03	SPACC-04	SPACC-05	SPACC-06	SPACC-07	SPACC-08	SPACC-09	SPACC-10	SPACC-11	SPACC-12	ACCZATT-01	FR-01	TL-01	TD-01	SISMA
FR.72	ψ	1,00	1,00	0,00	0,00	1,00	0,00	0,00	1,00	1,00	0,00	0,00	0,00	0,00	0,00	0,75	0,00	0,00	0,00	0,00	0,00	0,00	1,00	0,00	-0,50	-0,50	0,00
FR.73	ψ	1,00	1,00	1,00	0,00	0,00	1,00	0,00	0,00	0,00	0,00	0,00	0,00	0,00	0,00	0,00	0,75	0,00	0,00	0,00	0,00	0,00	1,00	0,00	0,50	0,50	0,00
FR.74	ψ	1,00	1,00	1,00	0,00	0,00	1,00	0,00	0,00	0,00	0,00	0,00	0,00	0,00	0,00	0,00	0,75	0,00	0,00	0,00	0,00	0,00	1,00	0,00	0,50	-0,50	0,00
FR.75	ψ	1,00	1,00	1,00	0,00	0,00	1,00	0,00	0,00	1,00	0,00	0,00	0,00	0,00	0,00	0,00	0,75	0,00	0,00	0,00	0,00	0,00	1,00	0,00	-0,50	0,50	0,00
FR.76	ψ	1,00	1,00	1,00	0,00	0,00	1,00	0,00	0,00	1,00	0,00	0,00	0,00	0,00	0,00	0,00	0,75	0,00	0,00	0,00	0,00	0,00	1,00	0,00	-0,50	-0,50	0,00
FR.77	ψ	1,00	1,00	0,00	1,00	0,00	0,00	1,00	0,00	0,00	0,00	0,00	0,00	0,00	0,00	0,00	0,00	0,75	0,00	0,00	0,00	0,00	1,00	0,00	0,50	0,50	0,00
FR.78	ψ	1,00	1,00	0,00	1,00	0,00	0,00	1,00	0,00	0,00	0,00	0,00	0,00	0,00	0,00	0,00	0,00	0,75	0,00	0,00	0,00	0,00	1,00	0,00	0,50	-0,50	0,00
FR.79	ψ	1,00	1,00	0,00	1,00	0,00	0,00	1,00	0,00	1,00	0,00	0,00	0,00	0,00	0,00	0,00	0,00	0,75	0,00	0,00	0,00	0,00	1,00	0,00	-0,50	0,50	0,00
FR.80	ψ	1,00	1,00	0,00	1,00	0,00	0,00	1,00	0,00	1,00	0,00	0,00	0,00	0,00	0,00	0,00	0,00	0,75	0,00	0,00	0,00	0,00	1,00	0,00	-0,50	-0,50	0,00
FR.81	ψ	1,00	1,00	0,00	0,00	1,00	0,00	0,00	1,00	0,00	0,00	0,00	0,00	0,00	0,00	0,00	0,00	0,00	0,75	0,00	0,00	0,00	1,00	0,00	0,50	0,50	0,00
FR.82	ψ	1,00	1,00	0,00	0,00	1,00	0,00	0,00	1,00	0,00	0,00	0,00	0,00	0,00	0,00	0,00	0,00	0,00	0,75	0,00	0,00	0,00	1,00	0,00	0,50	-0,50	0,00
FR.83	ψ	1,00	1,00	0,00	0,00	1,00	0,00	0,00	1,00	1,00	0,00	0,00	0,00	0,00	0,00	0,00	0,00	0,00	0,75	0,00	0,00	0,00	1,00	0,00	-0,50	0,50	0,00
FR.84	ψ	1,00	1,00	0,00	0,00	1,00	0,00	0,00	1,00	1,00	0,00	0,00	0,00	0,00	0,00	0,00	0,00	0,00	0,75	0,00	0,00	0,00	1,00	0,00	-0,50	-0,50	0,00
FR.85	ψ	1,00	1,00	1,00	0,00	0,00	1,00	0,00	0,00	0,00	0,00	0,00	0,00	0,00	0,00	0,00	0,00	0,00	0,00	0,75	0,00	0,00	1,00	0,00	0,50	0,50	0,00
FR.86	ψ	1,00	1,00	1,00	0,00	0,00	1,00	0,00	0,00	0,00	0,00	0,00	0,00	0,00	0,00	0,00	0,00	0,00	0,00	0,75	0,00	0,00	1,00	0,00	0,50	-0,50	0,00
FR.87	ψ	1,00	1,00	1,00	0,00	0,00	1,00	0,00	0,00	1,00	0,00	0,00	0,00	0,00	0,00	0,00	0,00	0,00	0,00	0,75	0,00	0,00	1,00	0,00	-0,50	0,50	0,00
FR.88	ψ	1,00	1,00	1,00	0,00	0,00	1,00	0,00	0,00	1,00	0,00	0,00	0,00	0,00	0,00	0,00	0,00	0,00	0,00	0,75	0,00	0,00	1,00	0,00	-0,50	-0,50	0,00
FR.89	ψ	1,00	1,00	0,00	1,00	0,00	0,00	1,00	0,00	0,00	0,00	0,00	0,00	0,00	0,00	0,00	0,00	0,00	0,00	0,00	0,75	0,00	1,00	0,00	0,50	0,50	0,00
FR.90	ψ	1,00	1,00	0,00	1,00	0,00	0,00	1,00	0,00	0,00	0,00	0,00	0,00	0,00	0,00	0,00	0,00	0,00	0,00	0,00	0,75	0,00	1,00	0,00	0,50	-0,50	0,00
FR.91	ψ	1,00	1,00	0,00	1,00	0,00	0,00	1,00	0,00	1,00	0,00	0,00	0,00	0,00	0,00	0,00	0,00	0,00	0,00	0,00	0,75	0,00	1,00	0,00	-0,50	0,50	0,00
FR.92	ψ	1,00	1,00	0,00	1,00	0,00	0,00	1,00	0,00	1,00	0,00	0,00	0,00	0,00	0,00	0,00	0,00	0,00	0,00	0,00	0,75	0,00	1,00	0,00	-0,50	-0,50	0,00
FR.93	ψ	1,00	1,00	0,00	0,00	1,00	0,00	0,00	1,00	0,00	0,00	0,00	0,00	0,00	0,00	0,00	0,00	0,00	0,00	0,00	0,00	0,75	1,00	0,00	0,50	0,50	0,00
FR.94	ψ	1,00	1,00	0,00	0,00	1,00	0,00	0,00	1,00	0,00	0,00	0,00	0,00	0,00	0,00	0,00	0,00	0,00	0,00	0,00	0,00	0,75	1,00	0,00	0,50	-0,50	0,00
FR.95	ψ	1,00	1,00	0,00	0,00	1,00	0,00	0,00	1,00	1,00	0,00	0,00	0,00	0,00	0,00	0,00	0,00	0,00	0,00	0,00	0,00	0,75	1,00	0,00	-0,50	0,50	0,00
FR.96	ψ	1,00	1,00	0,00	0,00	1,00	0,00	0,00	1,00	1,00	0,00	0,00	0,00	0,00	0,00	0,00	0,00	0,00	0,00	0,00	0,00	0,75	1,00	0,00	-0,50	-0,50	0,00
FR.97	ψ	1,00	1,00	1,00	0,00	0,00	1,00	0,00	0,00	0,00	0,00	0,00	0,00	0,00	0,00	0,00	0,00	0,00	0,00	0,00	0,00	0,00	0,00	0,00	0,60	0,60	0,00
FR.98	ψ	1,00	1,00	1,00	0,00	0,00	1,00	0,00	0,00	0,00	0,00	0,00	0,00	0,00	0,00	0,00	0,00	0,00	0,00	0,00	0,00	0,00	0,00	0,00	0,60	-0,60	0,00
FR.99	ψ	1,00	1,00	1,00	0,00	0,00	1,00	0,00	0,00	1,00	0,00	0,00	0,00	0,00	0,00	0,00	0,00	0,00	0,00	0,00	0,00	0,00	0,00	0,00	-0,60	0,60	0,00
FR.100	ψ	1,00	1,00	1,00	0,00	0,00	1,00	0,00	0,00	1,00	0,00	0,00	0,00	0,00	0,00	0,00	0,00	0,00	0,00	0,00	0,00	0,00	0,00	0,00	-0,60	-0,60	0,00

9.4 COMBINAZIONI DI CARICO ALLO STATO LIMITE DI ESERCIZIO – COMBINAZIONI CARATTERISTICHE

Per le combinazioni di carico statiche relative alla struttura in oggetto si è fatto riferimento a quanto riportato nel capitolo nel D.M. 17.01.2018 “Nuove norme tecniche per le costruzioni”, par. 2.5.3.

Sulla base di ciò sono state individuate le combinazioni di carico statiche caratteristiche allo Stato Limite di Esercizio, ottenute tramite la relazione generale:

$$F_d = \sum G_{kj} + Q_{k1} + \sum (\psi_{0i} \cdot Q_{ki})$$

dove:

- G_{kj} rappresenta il valore caratteristico della j-esima azione permanente
- Q_{k1} rappresenta il valore caratteristico dell'azione variabile di base in ogni combinazione
- Q_{ki} rappresenta il valore caratteristico della i-esima azione variabile
- Ψ_{0i} rappresentano i coefficienti di combinazione per tener conto della ridotta probabilità di concomitanza delle azioni variabili con i loro valori caratteristici

COMBINAZIONI ALLO STATO LIMITE DI ESERCIZIO - CARATTERISTICHE																												
CASO DI ANALISI		PP-01	CP-01	SPT-01	SPT-02	SPT-03	SPCP-01	SPCP-02	SPCP-03	RT-01	SPACC-01	SPACC-02	SPACC-03	SPACC-04	SPACC-05	SPACC-06	SPACC-07	SPACC-08	SPACC-09	SPACC-10	SPACC-11	SPACC-12	ACCZATT-01	FR-01	TL-01	TD-01	SISMA	
CAR.01	ψ	1,00	1,00	1,00	0,00	0,00	1,00	0,00	0,00	0,00	1,00	0,00	0,00	0,00	0,00	0,00	0,00	0,00	0,00	0,00	0,00	0,00	0,00	0,00	0,00	0,60	0,60	0,00
CAR.02	ψ	1,00	1,00	1,00	0,00	0,00	1,00	0,00	0,00	0,00	1,00	0,00	0,00	0,00	0,00	0,00	0,00	0,00	0,00	0,00	0,00	0,00	0,00	0,00	0,00	0,60	-0,60	0,00
CAR.03	ψ	1,00	1,00	1,00	0,00	0,00	1,00	0,00	0,00	1,00	1,00	0,00	0,00	0,00	0,00	0,00	0,00	0,00	0,00	0,00	0,00	0,00	0,00	0,00	0,00	-0,60	0,60	0,00
CAR.04	ψ	1,00	1,00	1,00	0,00	0,00	1,00	0,00	0,00	1,00	1,00	0,00	0,00	0,00	0,00	0,00	0,00	0,00	0,00	0,00	0,00	0,00	0,00	0,00	0,00	-0,60	-0,60	0,00
CAR.05	ψ	1,00	1,00	0,00	1,00	0,00	0,00	1,00	0,00	0,00	0,00	1,00	0,00	0,00	0,00	0,00	0,00	0,00	0,00	0,00	0,00	0,00	0,00	0,00	0,00	0,60	0,60	0,00
CAR.06	ψ	1,00	1,00	0,00	1,00	0,00	0,00	1,00	0,00	0,00	0,00	1,00	0,00	0,00	0,00	0,00	0,00	0,00	0,00	0,00	0,00	0,00	0,00	0,00	0,00	0,60	-0,60	0,00
CAR.07	ψ	1,00	1,00	0,00	1,00	0,00	0,00	1,00	0,00	1,00	0,00	1,00	0,00	0,00	0,00	0,00	0,00	0,00	0,00	0,00	0,00	0,00	0,00	0,00	0,00	-0,60	0,60	0,00
CAR.08	ψ	1,00	1,00	0,00	1,00	0,00	0,00	1,00	0,00	1,00	0,00	1,00	0,00	0,00	0,00	0,00	0,00	0,00	0,00	0,00	0,00	0,00	0,00	0,00	0,00	-0,60	-0,60	0,00
CAR.09	ψ	1,00	1,00	0,00	0,00	1,00	0,00	0,00	1,00	0,00	0,00	0,00	1,00	0,00	0,00	0,00	0,00	0,00	0,00	0,00	0,00	0,00	0,00	0,00	0,00	0,60	0,60	0,00
CAR.10	ψ	1,00	1,00	0,00	0,00	1,00	0,00	0,00	1,00	0,00	0,00	0,00	1,00	0,00	0,00	0,00	0,00	0,00	0,00	0,00	0,00	0,00	0,00	0,00	0,00	0,60	-0,60	0,00
CAR.11	ψ	1,00	1,00	0,00	0,00	1,00	0,00	0,00	1,00	1,00	0,00	0,00	1,00	0,00	0,00	0,00	0,00	0,00	0,00	0,00	0,00	0,00	0,00	0,00	0,00	-0,60	0,60	0,00
CAR.12	ψ	1,00	1,00	0,00	0,00	1,00	0,00	0,00	1,00	1,00	0,00	0,00	1,00	0,00	0,00	0,00	0,00	0,00	0,00	0,00	0,00	0,00	0,00	0,00	0,00	-0,60	-0,60	0,00
CAR.13	ψ	1,00	1,00	1,00	0,00	0,00	1,00	0,00	0,00	0,00	0,00	0,00	0,00	1,00	0,00	0,00	0,00	0,00	0,00	0,00	0,00	0,00	0,00	0,00	0,00	0,60	0,60	0,00
CAR.14	ψ	1,00	1,00	1,00	0,00	0,00	1,00	0,00	0,00	0,00	0,00	0,00	0,00	1,00	0,00	0,00	0,00	0,00	0,00	0,00	0,00	0,00	0,00	0,00	0,00	0,60	-0,60	0,00
CAR.15	ψ	1,00	1,00	1,00	0,00	0,00	1,00	0,00	0,00	1,00	0,00	0,00	0,00	1,00	0,00	0,00	0,00	0,00	0,00	0,00	0,00	0,00	0,00	0,00	0,00	-0,60	0,60	0,00
CAR.16	ψ	1,00	1,00	1,00	0,00	0,00	1,00	0,00	0,00	1,00	0,00	0,00	0,00	1,00	0,00	0,00	0,00	0,00	0,00	0,00	0,00	0,00	0,00	0,00	0,00	-0,60	-0,60	0,00
CAR.17	ψ	1,00	1,00	0,00	1,00	0,00	0,00	1,00	0,00	0,00	0,00	0,00	0,00	0,00	1,00	0,00	0,00	0,00	0,00	0,00	0,00	0,00	0,00	0,00	0,00	0,60	0,60	0,00
CAR.18	ψ	1,00	1,00	0,00	1,00	0,00	0,00	1,00	0,00	0,00	0,00	0,00	0,00	0,00	1,00	0,00	0,00	0,00	0,00	0,00	0,00	0,00	0,00	0,00	0,00	0,60	-0,60	0,00
CAR.19	ψ	1,00	1,00	0,00	1,00	0,00	0,00	1,00	0,00	1,00	0,00	0,00	0,00	1,00	0,00	0,00	0,00	0,00	0,00	0,00	0,00	0,00	0,00	0,00	0,00	-0,60	0,60	0,00
CAR.20	ψ	1,00	1,00	0,00	1,00	0,00	0,00	1,00	0,00	1,00	0,00	0,00	0,00	1,00	0,00	0,00	0,00	0,00	0,00	0,00	0,00	0,00	0,00	0,00	0,00	-0,60	-0,60	0,00
CAR.21	ψ	1,00	1,00	0,00	0,00	1,00	0,00	0,00	1,00	0,00	0,00	0,00	0,00	0,00	0,00	1,00	0,00	0,00	0,00	0,00	0,00	0,00	0,00	0,00	0,00	0,60	0,60	0,00
CAR.22	ψ	1,00	1,00	0,00	0,00	1,00	0,00	0,00	1,00	0,00	0,00	0,00	0,00	0,00	0,00	1,00	0,00	0,00	0,00	0,00	0,00	0,00	0,00	0,00	0,00	0,60	-0,60	0,00
CAR.23	ψ	1,00	1,00	0,00	0,00	1,00	0,00	0,00	1,00	1,00	0,00	0,00	0,00	0,00	0,00	1,00	0,00	0,00	0,00	0,00	0,00	0,00	0,00	0,00	0,00	-0,60	0,60	0,00
CAR.24	ψ	1,00	1,00	0,00	0,00	1,00	0,00	0,00	1,00	1,00	0,00	0,00	0,00	0,00	0,00	1,00	0,00	0,00	0,00	0,00	0,00	0,00	0,00	0,00	0,00	-0,60	-0,60	0,00
CAR.25	ψ	1,00	1,00	1,00	0,00	0,00	1,00	0,00	0,00	0,00	0,00	0,00	0,00	0,00	0,00	0,00	1,00	0,00	0,00	0,00	0,00	0,00	0,00	0,00	0,00	0,60	0,60	0,00

COMBINAZIONI ALLO STATO LIMITE DI ESERCIZIO - CARATTERISTICHE																											
CASO DI ANALISI		PP-01	CP-01	SPT-01	SPT-02	SPT-03	SPCP-01	SPCP-02	SPCP-03	RT-01	SPACC-01	SPACC-02	SPACC-03	SPACC-04	SPACC-05	SPACC-06	SPACC-07	SPACC-08	SPACC-09	SPACC-10	SPACC-11	SPACC-12	ACCZATT-01	FR-01	TL-01	TD-01	SISMA
CAR.370	ψ	1,00	1,00	0,00	0,00	1,00	0,00	0,00	1,00	0,00	0,00	0,00	0,00	0,00	0,00	0,00	0,00	0,00	0,75	0,00	0,00	0,00	1,00	0,00	1,00	-1,00	0,00
CAR.371	ψ	1,00	1,00	0,00	0,00	1,00	0,00	0,00	1,00	1,00	0,00	0,00	0,00	0,00	0,00	0,00	0,00	0,00	0,75	0,00	0,00	0,00	1,00	0,00	-1,00	1,00	0,00
CAR.372	ψ	1,00	1,00	0,00	0,00	1,00	0,00	0,00	1,00	1,00	0,00	0,00	0,00	0,00	0,00	0,00	0,00	0,00	0,75	0,00	0,00	0,00	1,00	0,00	-1,00	-1,00	0,00
CAR.373	ψ	1,00	1,00	1,00	0,00	0,00	1,00	0,00	0,00	0,00	0,00	0,00	0,00	0,00	0,00	0,00	0,00	0,00	0,00	0,75	0,00	0,00	1,00	0,00	1,00	1,00	0,00
CAR.374	ψ	1,00	1,00	1,00	0,00	0,00	1,00	0,00	0,00	0,00	0,00	0,00	0,00	0,00	0,00	0,00	0,00	0,00	0,00	0,75	0,00	0,00	1,00	0,00	1,00	-1,00	0,00
CAR.375	ψ	1,00	1,00	1,00	0,00	0,00	1,00	0,00	0,00	1,00	0,00	0,00	0,00	0,00	0,00	0,00	0,00	0,00	0,00	0,75	0,00	0,00	1,00	0,00	-1,00	1,00	0,00
CAR.376	ψ	1,00	1,00	1,00	0,00	0,00	1,00	0,00	0,00	1,00	0,00	0,00	0,00	0,00	0,00	0,00	0,00	0,00	0,00	0,75	0,00	0,00	1,00	0,00	-1,00	-1,00	0,00
CAR.377	ψ	1,00	1,00	0,00	1,00	0,00	0,00	1,00	0,00	0,00	0,00	0,00	0,00	0,00	0,00	0,00	0,00	0,00	0,00	0,00	0,75	0,00	1,00	0,00	1,00	1,00	0,00
CAR.378	ψ	1,00	1,00	0,00	1,00	0,00	0,00	1,00	0,00	0,00	0,00	0,00	0,00	0,00	0,00	0,00	0,00	0,00	0,00	0,00	0,75	0,00	1,00	0,00	1,00	-1,00	0,00
CAR.379	ψ	1,00	1,00	0,00	1,00	0,00	0,00	1,00	0,00	1,00	0,00	0,00	0,00	0,00	0,00	0,00	0,00	0,00	0,00	0,00	0,75	0,00	1,00	0,00	-1,00	1,00	0,00
CAR.380	ψ	1,00	1,00	0,00	1,00	0,00	0,00	1,00	0,00	1,00	0,00	0,00	0,00	0,00	0,00	0,00	0,00	0,00	0,00	0,00	0,75	0,00	1,00	0,00	-1,00	-1,00	0,00
CAR.381	ψ	1,00	1,00	0,00	0,00	1,00	0,00	0,00	1,00	0,00	0,00	0,00	0,00	0,00	0,00	0,00	0,00	0,00	0,00	0,00	0,00	0,75	1,00	0,00	1,00	1,00	0,00
CAR.382	ψ	1,00	1,00	0,00	0,00	1,00	0,00	0,00	1,00	0,00	0,00	0,00	0,00	0,00	0,00	0,00	0,00	0,00	0,00	0,00	0,00	0,75	1,00	0,00	1,00	-1,00	0,00
CAR.383	ψ	1,00	1,00	0,00	0,00	1,00	0,00	0,00	1,00	1,00	0,00	0,00	0,00	0,00	0,00	0,00	0,00	0,00	0,00	0,00	0,00	0,75	1,00	0,00	-1,00	1,00	0,00
CAR.384	ψ	1,00	1,00	0,00	0,00	1,00	0,00	0,00	1,00	1,00	0,00	0,00	0,00	0,00	0,00	0,00	0,00	0,00	0,00	0,00	0,00	0,75	1,00	0,00	-1,00	-1,00	0,00

9.5 COMBINAZIONI DI CARICO ALLO STATO LIMITE ULTIMO STATICHE

Per le combinazioni di carico statiche relative alla struttura in oggetto si è fatto riferimento a quanto riportato nel capitolo nel D.M. 17.01.2018 “Nuove norme tecniche per le costruzioni”, par. 2.5.3. Sulla base di ciò sono state individuate le combinazioni di carico statiche allo Stato Limite Ultimo, ottenute tramite la relazione generale:

$$F_d = \sum_{j=1}^m (\gamma_{Gj} \cdot G_{kj}) + \gamma_{Q1} \cdot Q_{k1} + \sum_{i=2}^n (\psi_{0i} \cdot \gamma_{Qi} \cdot Q_{ki})$$

dove:

- γ_G e γ_Q rappresentano i coefficienti parziali di amplificazione dei carichi
- G_{kj} rappresenta il valore caratteristico della j-esima azione permanente
- Q_{k1} rappresenta il valore caratteristico dell'azione variabile di base in ogni combinazione
- Q_{ki} rappresenta il valore caratteristico della i-esima azione variabile
- ψ_{0i} rappresentano i coefficienti di combinazione per tener conto della ridotta probabilità di concomitanza delle azioni variabili con i loro valori caratteristici

I coefficienti di amplificazione dei carichi per le combinazioni di carico A1, secondo il D.M. 17.01.2018 “Nuove norme tecniche per le costruzioni”, par. 2.6, tabella 2.6.I, sono riepilogati nelle seguenti tabelle:

Tabella 2.6.I – Coefficienti parziali per le azioni o per l'effetto delle azioni nelle verifiche SLU

		Coefficiente γ_F	EQU	A1 STR
Carichi permanenti	favorevoli	γ_{G1}	0,9	1,0
	sfavorevoli		1,1	1,3
Carichi permanenti non strutturali ⁽¹⁾	favorevoli	γ_{G2}	0,0	0,0
	sfavorevoli		1,5	1,5
Carichi variabili	favorevoli	γ_{Qi}	0,0	0,0
	sfavorevoli		1,5	1,5

COMBINAZIONI ALLO STATO LIMITE ULTIMO - STATICHE																											
CASO DI ANALISI		PP-01	CP-01	SPT-01	SPT-02	SPT-03	SPCP-01	SPCP-02	SPCP-03	RT-01	SPACC-01	SPACC-02	SPACC-03	SPACC-04	SPACC-05	SPACC-06	SPACC-07	SPACC-08	SPACC-09	SPACC-10	SPACC-11	SPACC-12	ACCZATT-01	FR-01	TL-01	TD-01	SISMA
		STR.01	γ	1,35	1,50	1,35	1,35	1,35	1,50	1,50	1,50	1,20	1,35	1,35	1,35	1,35	1,35	1,35	1,35	1,35	1,35	1,35	1,35	1,35	1,50	1,35	1,20
	ψ	1,00	1,00	1,00	0,00	0,00	1,00	0,00	0,00	0,00	1,00	0,00	0,00	0,00	0,00	0,00	0,00	0,00	0,00	0,00	0,00	0,00	0,00	0,00	0,60	0,60	0,00
STR.02	γ	1,35	1,50	1,35	1,35	1,35	1,50	1,50	1,50	1,20	1,35	1,35	1,35	1,35	1,35	1,35	1,35	1,35	1,35	1,35	1,35	1,35	1,50	1,35	1,20	1,20	0,00
	ψ	1,00	1,00	1,00	0,00	0,00	1,00	0,00	0,00	0,00	1,00	0,00	0,00	0,00	0,00	0,00	0,00	0,00	0,00	0,00	0,00	0,00	0,00	0,00	0,60	-0,60	0,00
STR.03	γ	1,35	1,50	1,35	1,35	1,35	1,50	1,50	1,50	1,20	1,35	1,35	1,35	1,35	1,35	1,35	1,35	1,35	1,35	1,35	1,35	1,35	1,50	1,35	1,20	1,20	0,00
	ψ	1,00	1,00	1,00	0,00	0,00	1,00	0,00	0,00	0,00	1,00	0,00	0,00	0,00	0,00	0,00	0,00	0,00	0,00	0,00	0,00	0,00	0,00	0,00	-0,60	0,60	0,00
STR.04	γ	1,35	1,50	1,35	1,35	1,35	1,50	1,50	1,50	1,20	1,35	1,35	1,35	1,35	1,35	1,35	1,35	1,35	1,35	1,35	1,35	1,35	1,50	1,35	1,20	1,20	0,00
	ψ	1,00	1,00	1,00	0,00	0,00	1,00	0,00	0,00	0,00	1,00	0,00	0,00	0,00	0,00	0,00	0,00	0,00	0,00	0,00	0,00	0,00	0,00	0,00	-0,60	-0,60	0,00
STR.05	γ	1,35	1,50	1,35	1,35	1,35	1,50	1,50	1,50	1,20	1,35	1,35	1,35	1,35	1,35	1,35	1,35	1,35	1,35	1,35	1,35	1,35	1,50	1,35	1,20	1,20	0,00
	ψ	1,00	1,00	0,00	1,00	0,00	0,00	0,00	0,00	0,00	0,00	0,00	0,00	0,00	0,00	0,00	0,00	0,00	0,00	0,00	0,00	0,00	0,00	0,00	0,60	0,60	0,00
STR.06	γ	1,35	1,50	1,35	1,35	1,35	1,50	1,50	1,50	1,20	1,35	1,35	1,35	1,35	1,35	1,35	1,35	1,35	1,35	1,35	1,35	1,35	1,50	1,35	1,20	1,20	0,00
	ψ	1,00	1,00	0,00	1,00	0,00	0,00	0,00	0,00	0,00	0,00	0,00	0,00	0,00	0,00	0,00	0,00	0,00	0,00	0,00	0,00	0,00	0,00	0,00	0,60	-0,60	0,00
STR.07	γ	1,35	1,50	1,35	1,35	1,35	1,50	1,50	1,50	1,20	1,35	1,35	1,35	1,35	1,35	1,35	1,35	1,35	1,35	1,35	1,35	1,35	1,50	1,35	1,20	1,20	0,00
	ψ	1,00	1,00	0,00	1,00	0,00	0,00	0,00	0,00	0,00	0,00	0,00	0,00	0,00	0,00	0,00	0,00	0,00	0,00	0,00	0,00	0,00	0,00	0,00	-0,60	0,60	0,00
STR.08	γ	1,35	1,50	1,35	1,35	1,35	1,50	1,50	1,50	1,20	1,35	1,35	1,35	1,35	1,35	1,35	1,35	1,35	1,35	1,35	1,35	1,35	1,50	1,35	1,20	1,20	0,00
	ψ	1,00	1,00	0,00	1,00	0,00	0,00	0,00	0,00	0,00	0,00	0,00	0,00	0,00	0,00	0,00	0,00	0,00	0,00	0,00	0,00	0,00	0,00	0,00	-0,60	-0,60	0,00
STR.09	γ	1,35	1,50	1,35	1,35	1,35	1,50	1,50	1,50	1,20	1,35	1,35	1,35	1,35	1,35	1,35	1,35	1,35	1,35	1,35	1,35	1,35	1,50	1,35	1,20	1,20	0,00
	ψ	1,00	1,00	0,00	0,00	0,00	1,00	0,00	0,00	0,00	0,00	0,00	0,00	0,00	0,00	0,00	0,00	0,00	0,00	0,00	0,00	0,00	0,00	0,00	0,60	0,60	0,00

TOMBINI SCATOLARI 250x150cm – SPESSORE RICOPRIMENTO H=1000cm – RELAZIONE DI CALCOLO

COMBINAZIONI ALLO STATO LIMITE ULTIMO - STATICHE																											
CASO DI ANALISI		PP-01	CP-01	SPT-01	SPT-02	SPT-03	SPCP-01	SPCP-02	SPCP-03	RT-01	SPACC-01	SPACC-02	SPACC-03	SPACC-04	SPACC-05	SPACC-06	SPACC-07	SPACC-08	SPACC-09	SPACC-10	SPACC-11	SPACC-12	ACCZATT-01	FR-01	TL-01	TD-01	SISMA
		STR.10	Y	1,35	1,50	1,35	1,35	1,35	1,50	1,50	1,50	1,20	1,35	1,35	1,35	1,35	1,35	1,35	1,35	1,35	1,35	1,35	1,35	1,50	1,35	1,20	1,20
ψ	1,00		1,00	0,00	0,00	1,00	0,00	0,00	1,00	0,00	0,00	0,00	1,00	0,00	0,00	0,00	0,00	0,00	0,00	0,00	0,00	0,00	0,00	0,00	0,60	-0,60	0,00

TOMBINI SCATOLARI 250x150cm - SPESSORE RICOPRIMENTO H=1000cm - RELAZIONE DI CALCOLO

Table with columns: CASO DI ANALISI, PP-01, CP-01, SPT-01, SPT-02, SPT-03, SPCCP-01, SPCCP-02, SPCCP-03, RT-01, SPACC-01, SPACC-02, SPACC-03, SPACC-04, SPACC-05, SPACC-06, SPACC-07, SPACC-08, SPACC-09, SPACC-10, SPACC-11, SPACC-12, ACCZATT-01, FR-01, TL-01, TD-01, SISMA. Rows include STR.162 to STR.199 with Y and psi sub-rows.

CASO DI ANALISI		COMBINAZIONI ALLO STATO LIMITE ULTIMO - STATICHE																									
		PP-01	CP-01	SPT-01	SPT-02	SPT-03	SPCP-01	SPCP-02	SPCP-03	RT-01	SPACC-01	SPACC-02	SPACC-03	SPACC-04	SPACC-05	SPACC-06	SPACC-07	SPACC-08	SPACC-09	SPACC-10	SPACC-11	SPACC-12	ACCZATT-01	FR-01	TL-01	TD-01	SISMA
STR.200	Y	1,35	1,50	1,35	1,35	1,35	1,50	1,50	1,50	1,20	1,35	1,35	1,35	1,35	1,35	1,35	1,35	1,35	1,35	1,35	1,35	1,35	1,50	1,35	1,20	1,20	0,00
	ψ	1,00	1,00	0,00	1,00	0,00	0,00	1,00	0,00	1,00	0,00	0,75	0,00	0,00	0,00	0,00	0,00	0,00	0,00	0,00	0,00	0,00	1,00	1,00	-0,60	-0,60	0,00

9.6 COMBINAZIONE DI CARICO SISMICHE

In fase sismica è stata ipotizzata un'unica combinazione di carico allo Stato Limite di Salvaguardia ottenuta tramite la relazione generale:

$$F_d = E + \sum G_{kj} + \sum (\psi_{2i} \cdot Q_{ki})$$

dove:

- E rappresenta il carico sismico
- G_{kj} rappresenta il valore caratteristico della j-esima azione permanente
- Q_{ki} rappresenta il valore caratteristico della i-esima azione variabile
- Ψ_{2i} rappresentano i coefficienti di combinazione per tener conto della ridotta probabilità di concomitanza delle azioni variabili con i loro valori quasi permanenti

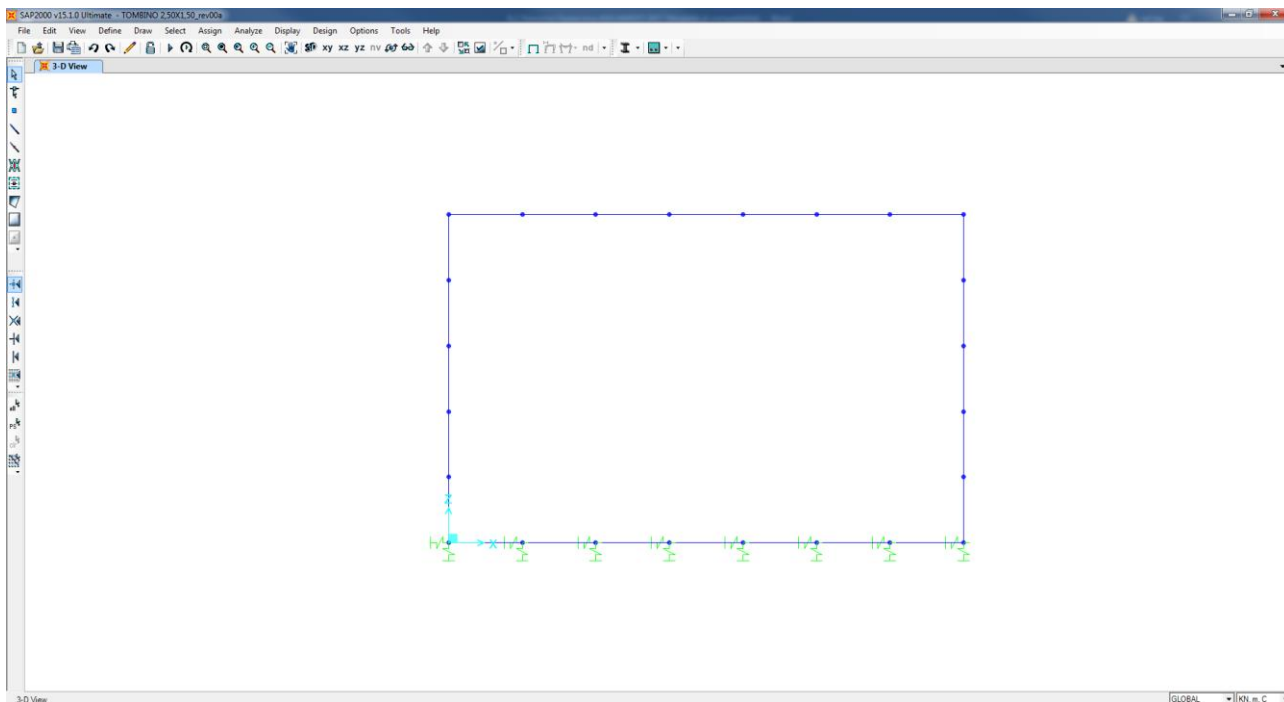
COMBINAZIONI ALLO STATO LIMITE ULTIMO - SSISMICHE																											
CASO DI ANALISI	PP-01	CP-01	SPT-01	SPT-02	SPT-03	SPCP-01	SPCP-02	SPCP-03	RT-01	SPACC-01	SPACC-02	SPACC-03	SPACC-04	SPACC-05	SPACC-06	SPACC-07	SPACC-08	SPACC-09	SPACC-10	SPACC-11	SPACC-12	ACCZAIT-01	FR-01	TL-01	TD-01	SISMA	
SISMA.1	ψ	1,00	1,00	1,00	0,00	0,00	1,00	0,00	0,00	0,00	0,00	0,00	0,00	0,00	0,00	0,00	0,00	0,00	0,00	0,00	0,00	0,00	0,00	0,00	0,50	0,50	1,00
SISMA.2	ψ	1,00	1,00	1,00	0,00	0,00	1,00	0,00	0,00	0,00	0,00	0,00	0,00	0,00	0,00	0,00	0,00	0,00	0,00	0,00	0,00	0,00	0,00	0,00	0,50	-0,50	1,00
SISMA.3	ψ	1,00	1,00	1,00	0,00	0,00	1,00	0,00	0,00	1,00	0,00	0,00	0,00	0,00	0,00	0,00	0,00	0,00	0,00	0,00	0,00	0,00	0,00	0,00	-0,50	0,50	1,00
SISMA.4	ψ	1,00	1,00	1,00	0,00	0,00	1,00	0,00	0,00	1,00	0,00	0,00	0,00	0,00	0,00	0,00	0,00	0,00	0,00	0,00	0,00	0,00	0,00	0,00	-0,50	-0,50	1,00
SISMA.5	ψ	1,00	1,00	0,00	1,00	0,00	0,00	1,00	0,00	0,00	0,00	0,00	0,00	0,00	0,00	0,00	0,00	0,00	0,00	0,00	0,00	0,00	0,00	0,00	0,50	0,50	1,00
SISMA.6	ψ	1,00	1,00	0,00	1,00	0,00	0,00	1,00	0,00	0,00	0,00	0,00	0,00	0,00	0,00	0,00	0,00	0,00	0,00	0,00	0,00	0,00	0,00	0,00	0,50	-0,50	1,00
SISMA.7	ψ	1,00	1,00	0,00	1,00	0,00	0,00	1,00	0,00	1,00	0,00	0,00	0,00	0,00	0,00	0,00	0,00	0,00	0,00	0,00	0,00	0,00	0,00	0,00	-0,50	0,50	1,00
SISMA.8	ψ	1,00	1,00	0,00	1,00	0,00	0,00	1,00	0,00	1,00	0,00	0,00	0,00	0,00	0,00	0,00	0,00	0,00	0,00	0,00	0,00	0,00	0,00	0,00	-0,50	-0,50	1,00
SISMA.9	ψ	1,00	1,00	0,00	0,00	1,00	0,00	0,00	1,00	0,00	0,00	0,00	0,00	0,00	0,00	0,00	0,00	0,00	0,00	0,00	0,00	0,00	0,00	0,00	0,50	0,50	1,00
SISMA.10	ψ	1,00	1,00	0,00	0,00	1,00	0,00	0,00	1,00	0,00	0,00	0,00	0,00	0,00	0,00	0,00	0,00	0,00	0,00	0,00	0,00	0,00	0,00	0,00	0,50	-0,50	1,00
SISMA.11	ψ	1,00	1,00	0,00	0,00	1,00	0,00	0,00	1,00	1,00	0,00	0,00	0,00	0,00	0,00	0,00	0,00	0,00	0,00	0,00	0,00	0,00	0,00	0,00	-0,50	0,50	1,00
SISMA.12	ψ	1,00	1,00	0,00	0,00	1,00	0,00	0,00	1,00	1,00	0,00	0,00	0,00	0,00	0,00	0,00	0,00	0,00	0,00	0,00	0,00	0,00	0,00	0,00	-0,50	-0,50	1,00

10 MODELLO DI CALCOLO

10.1 DESCRIZIONE DEL MODELLO DI CALCOLO

Per la determinazione delle azioni sollecitanti sugli elementi strutturali è stato pertanto realizzato un apposito modello di calcolo bidimensionale agli elementi finiti mediante il software SAP2000 v.15.1 (Computers & Structures, Inc).

Gli elementi strutturali sono stato modellati mediante elementi monodimensionali tipo “beam”. In corrispondenza dei nodi ritto – fondazione e ritto – soletta superiore è stato applicato un apposito offset a rigidità infinita.



L’interazione terreno – struttura è schematizzata mediante apposite molle di opportuna rigidezza. In particolare, in funzione delle caratteristiche geotecniche del terreno, è stata considerata una schematizzazione alla Winkler considerando un coefficiente di sottofondo verticale:

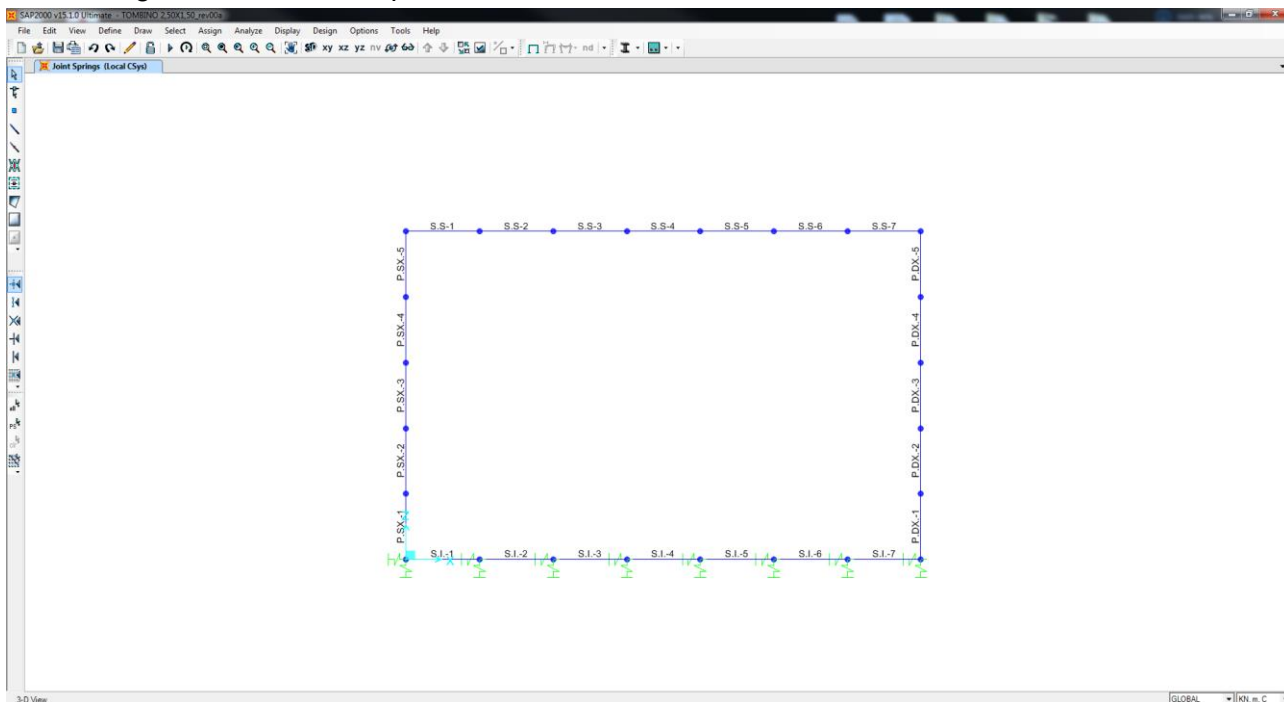
$$k_{s,v} = 15.000,00 \text{ kN/m}^3.$$

Il coefficiente di sottofondo orizzontale è stato assunto pari al 50% del coefficiente di sottofondo verticale:

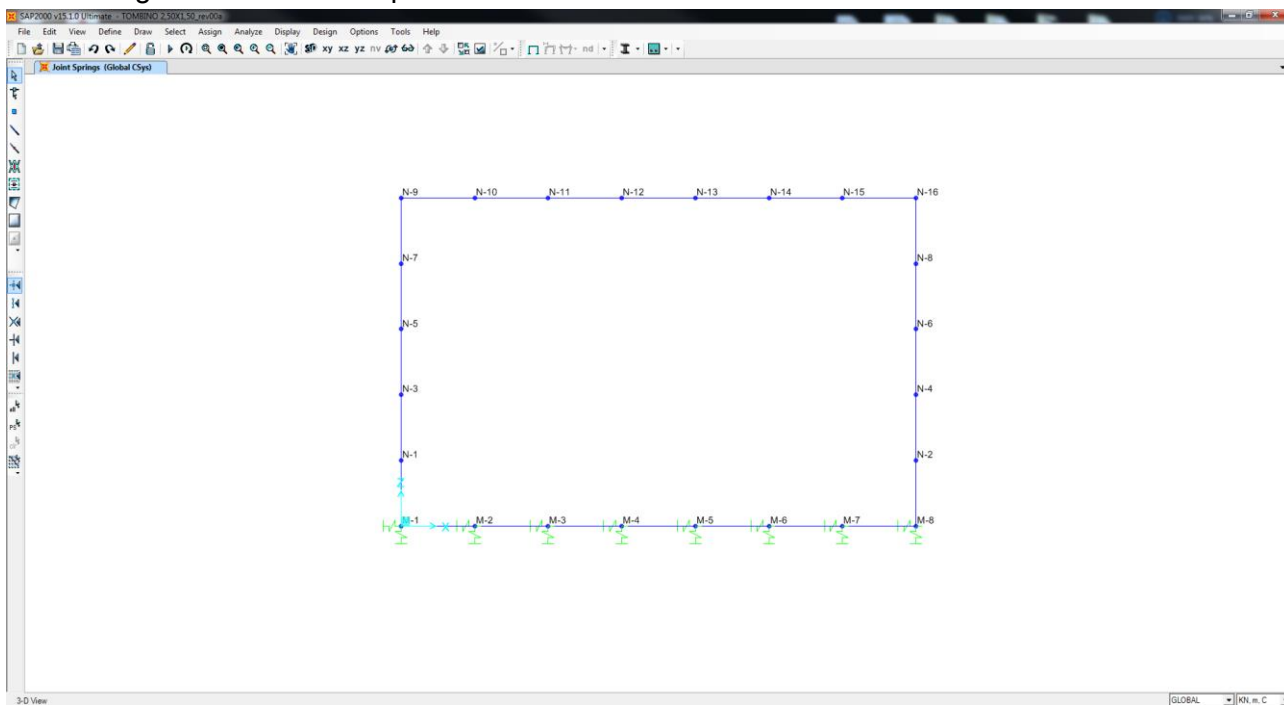
$$k_{s,h} = 7.500,00 \text{ kN/m}^3.$$

10.2 IDENTIFICAZIONE DEGLI ELEMENTI E DEI NODI DEL MODELLO DI CALCOLO

Nell'immagine successiva è riportata l'identificazione dei differenti elementi strutturali:

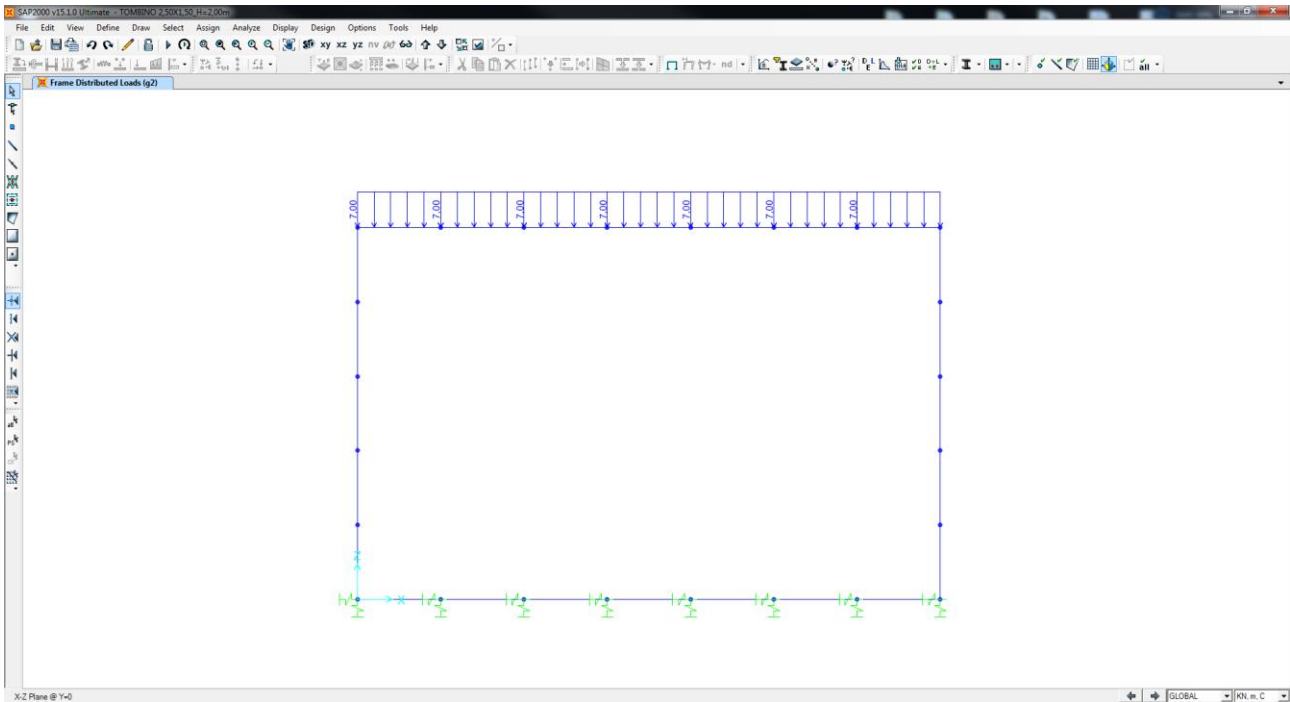


Nell'immagine successiva è riportata la numerazione dei nodi:

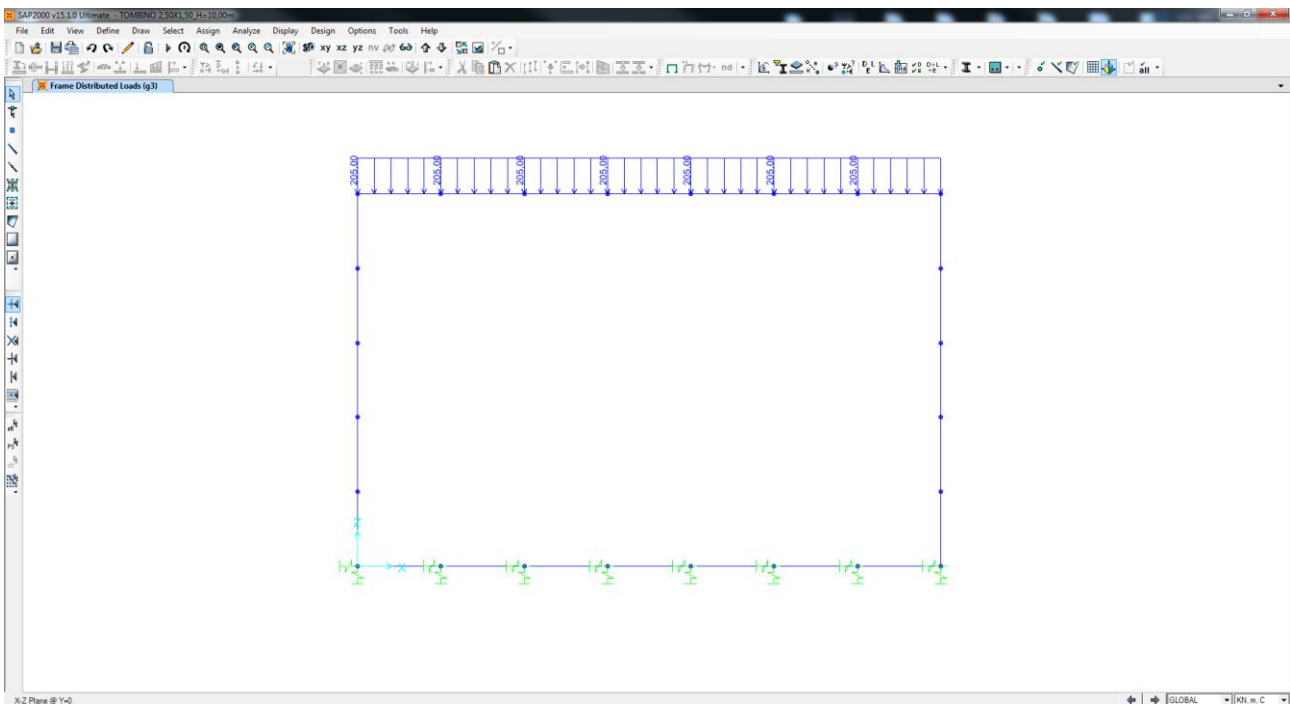


11 APPLICAZIONE DEI CARICHI ELEMENTARI

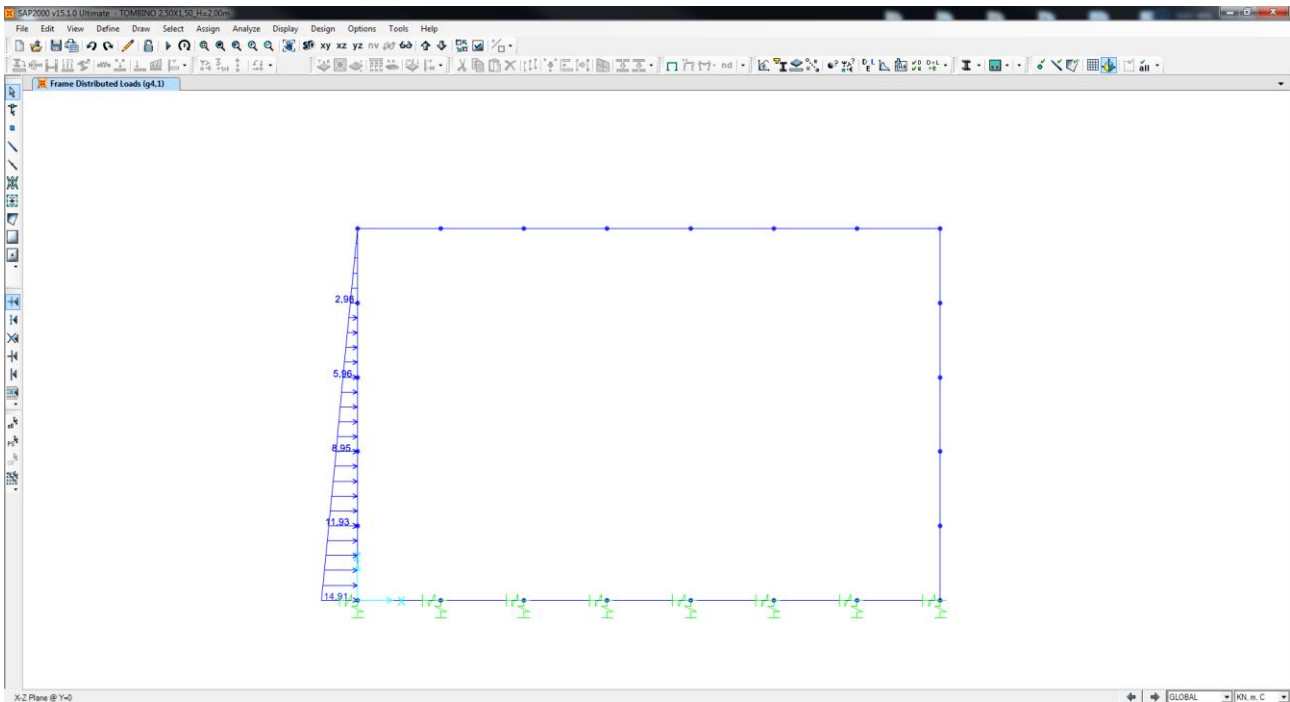
11.1 CARICHI PERMANENTI DOVUTI AL PESO DELLA PAVIMENTAZIONE STRADALE (G2)



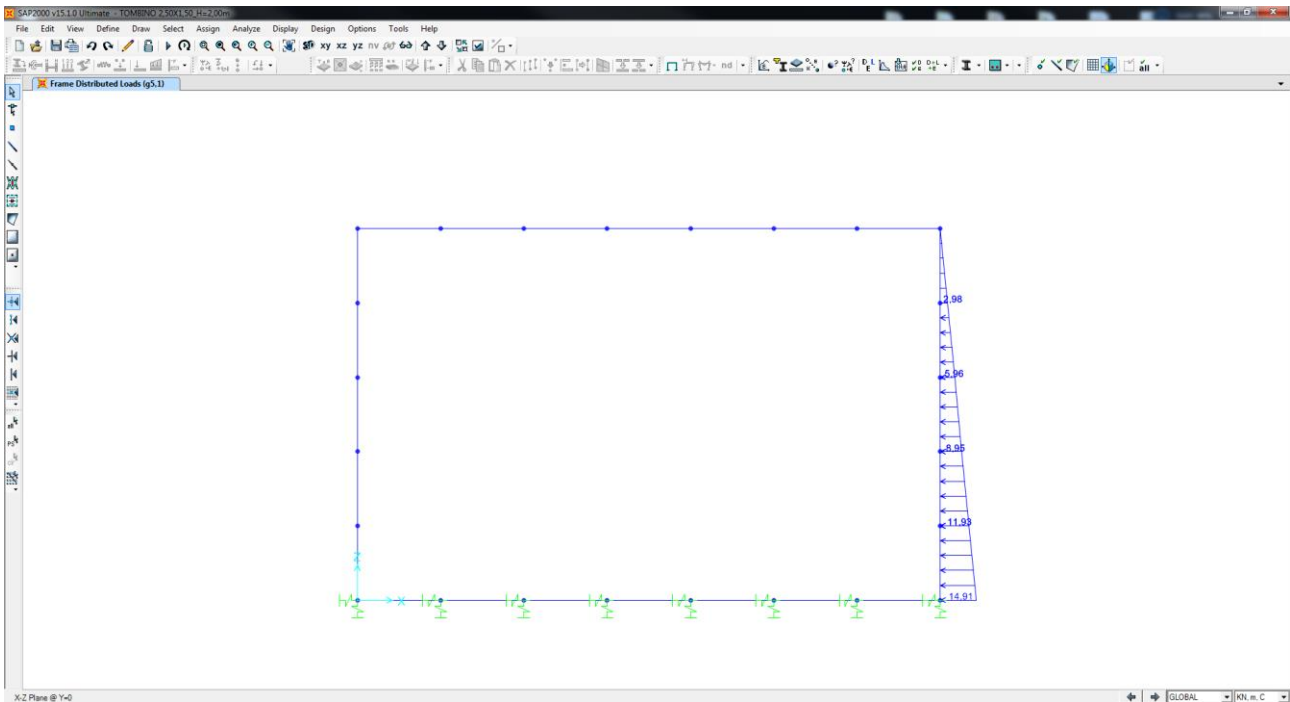
11.2 CARICHI PERMANENTI DOVUTI AL PESO DEL TERRENO DI RICOPRIMENTO (G3)



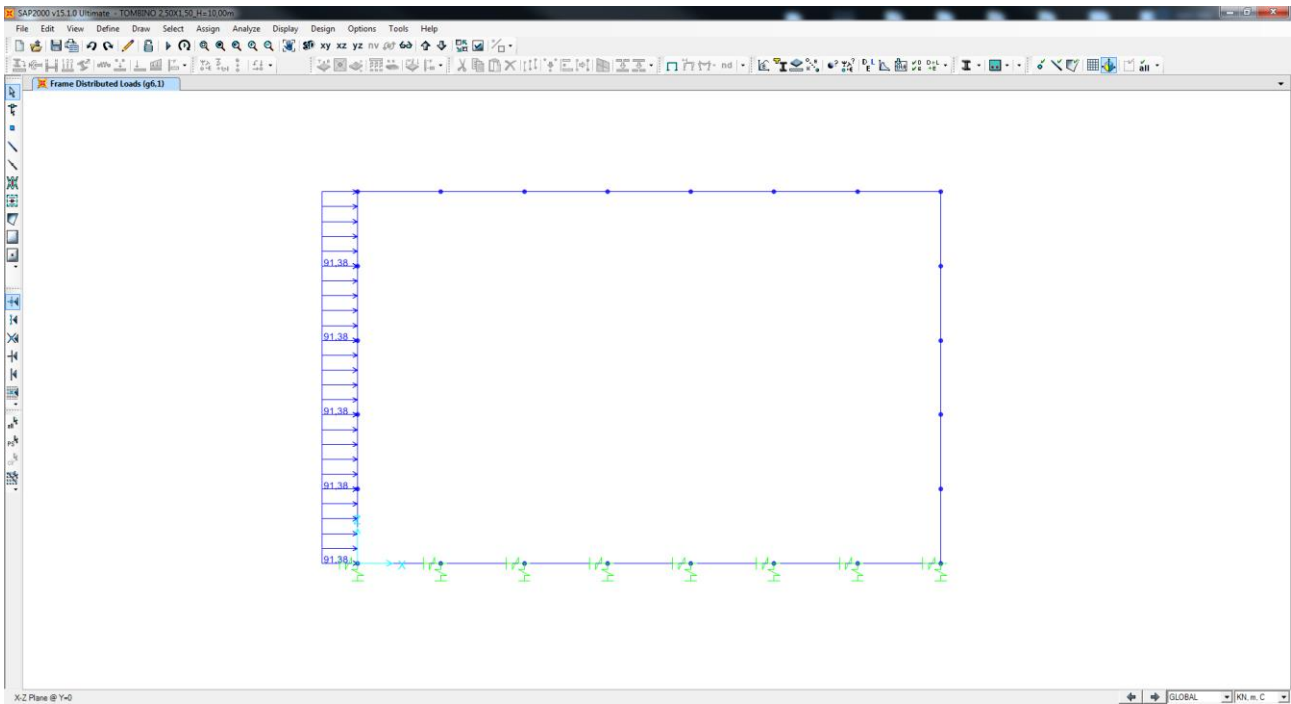
11.3 SPINTA DEL TERRENO SUL RITTO SINISTRO (G_{4,1})



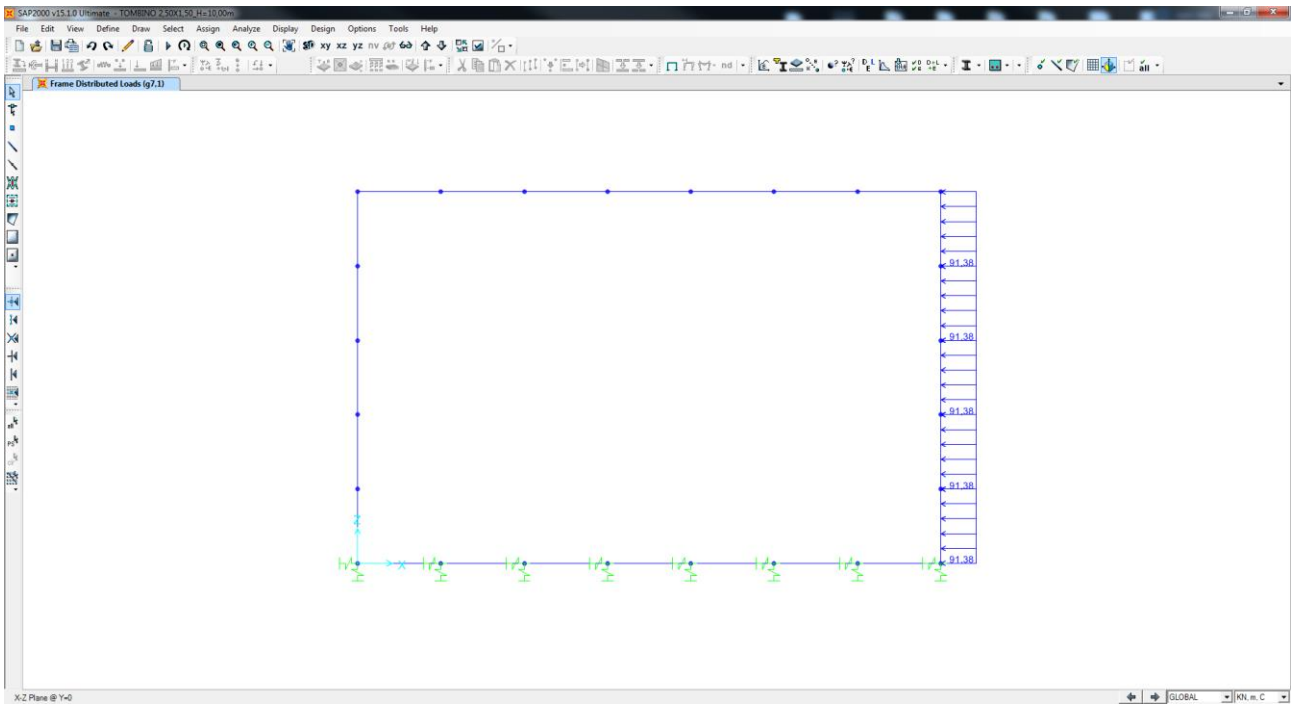
11.4 SPINTA DEL TERRENO SUL RITTO DESTRO (G_{5,1})



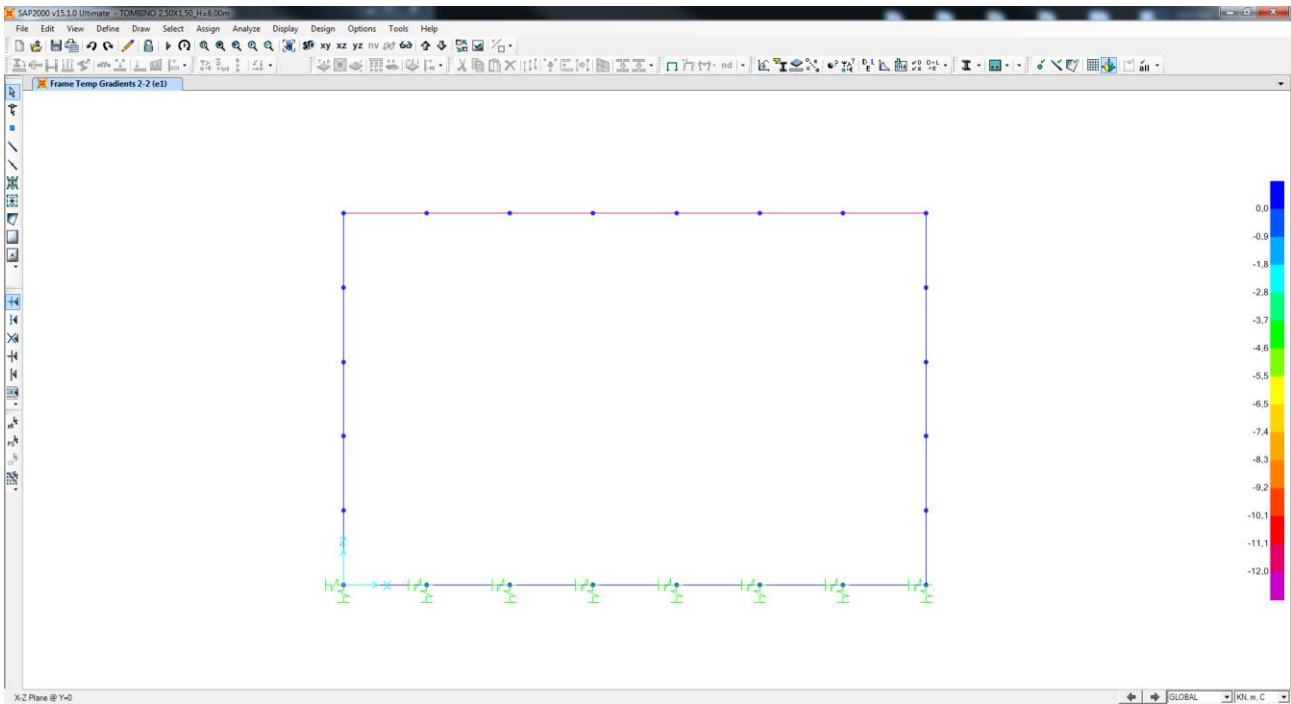
11.5 SPINTA DEL SOVRACCARICO PERMANENTE SUL RITTO SINISTRO ($G_{6,1}$)



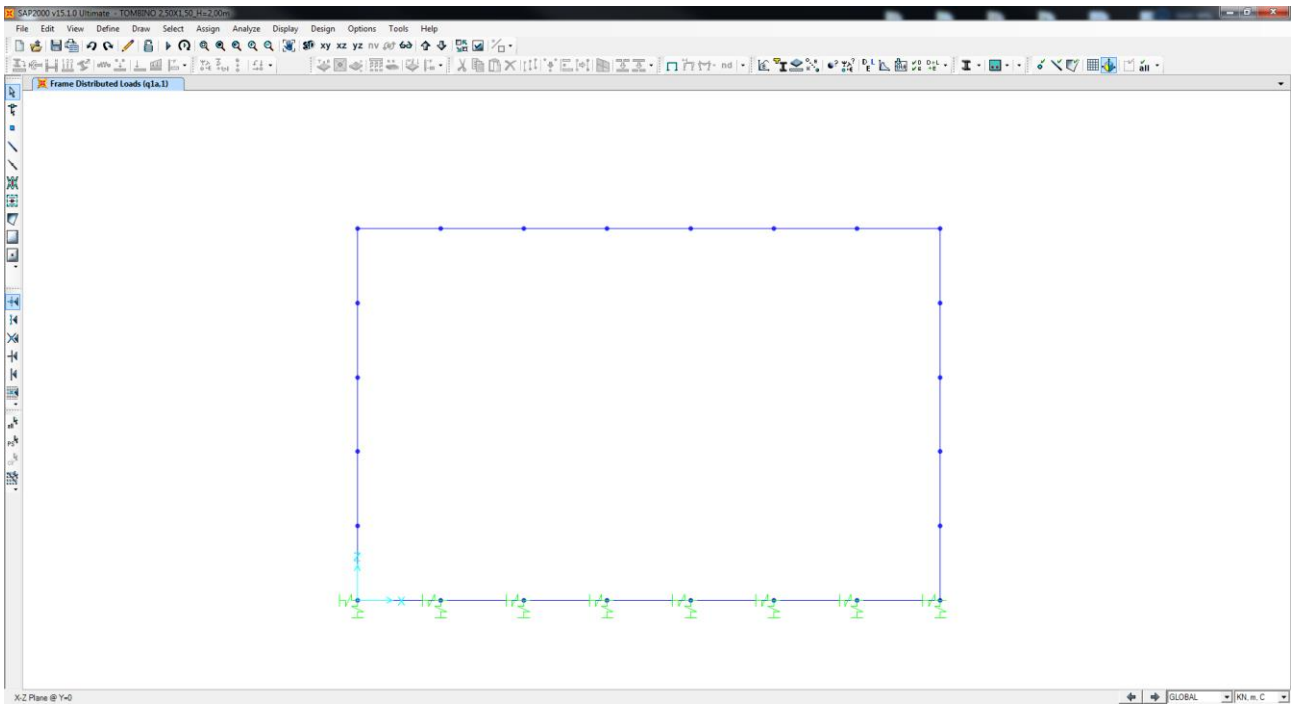
11.6 SPINTA DEL SOVRACCARICO PERMANENTE SUL RITTO DESTRO ($G_{7,1}$)



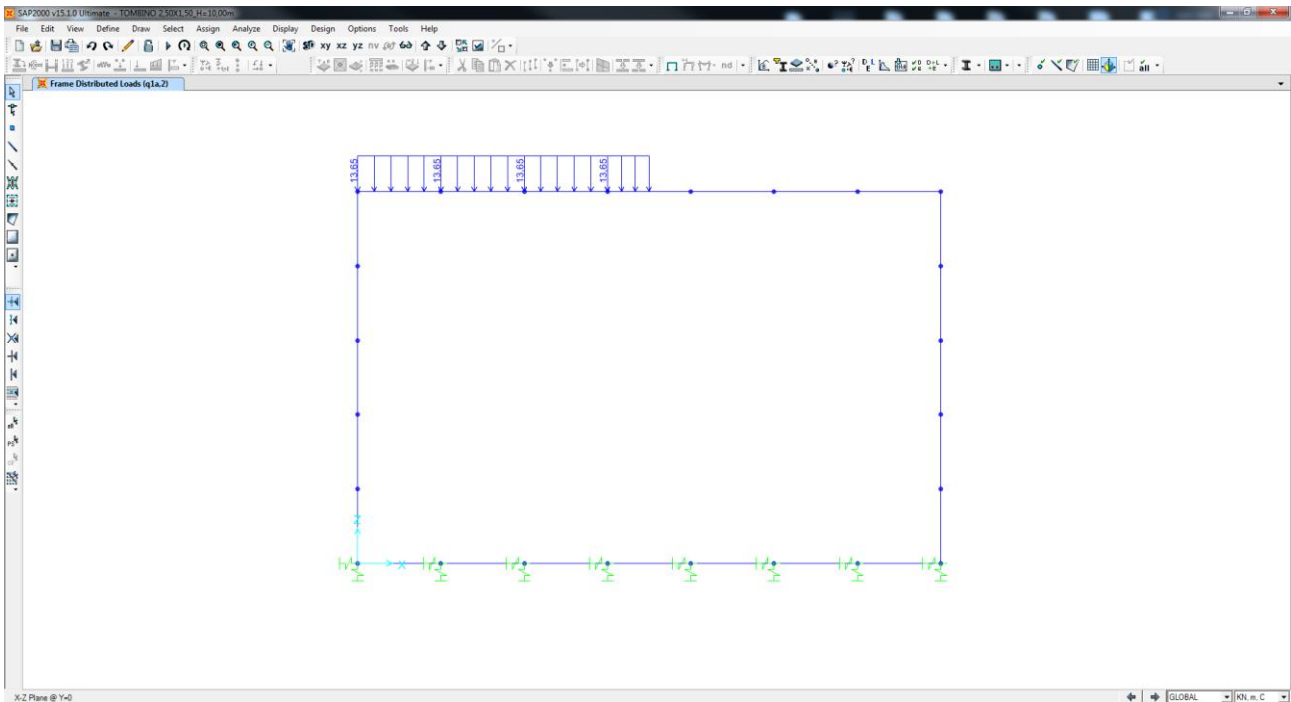
11.7 AZIONE DEL RITIRO SULLA SOLETTA SUPERIORE (E₁)



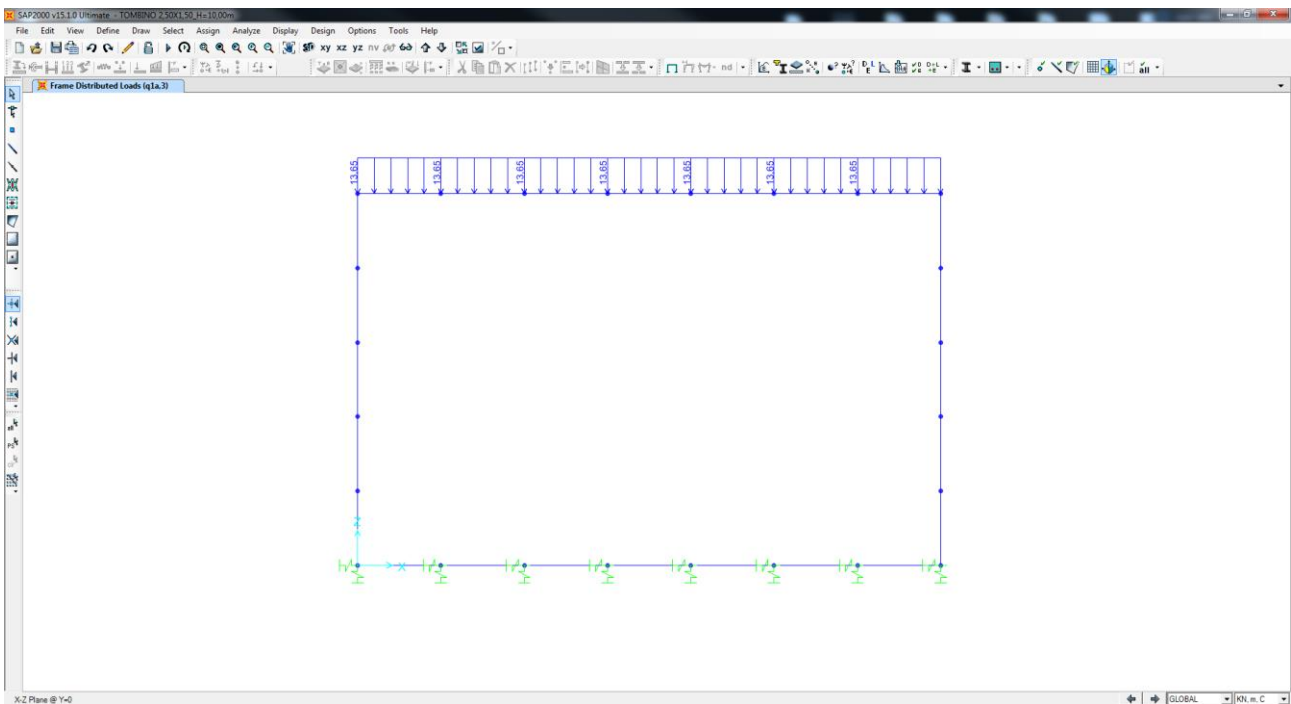
11.8 CARICO ACCIDENTALE DA TRAFFICO CONCENTRATO DIFFUSO – DISPOSIZIONE 1 (Q_{1A,1})



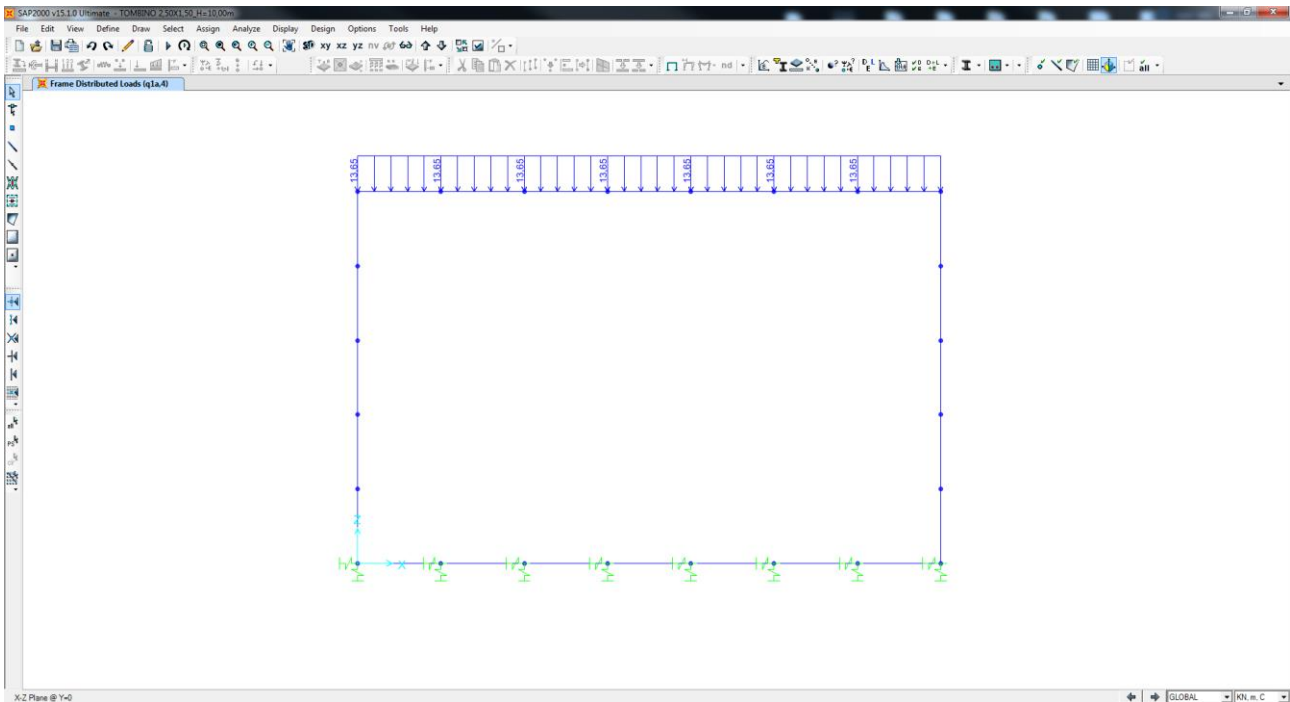
11.9 CARICO ACCIDENTALE DA TRAFFICO CONCENTRATO DIFFUSO – DISPOSIZIONE 2 (Q_{1A,2})



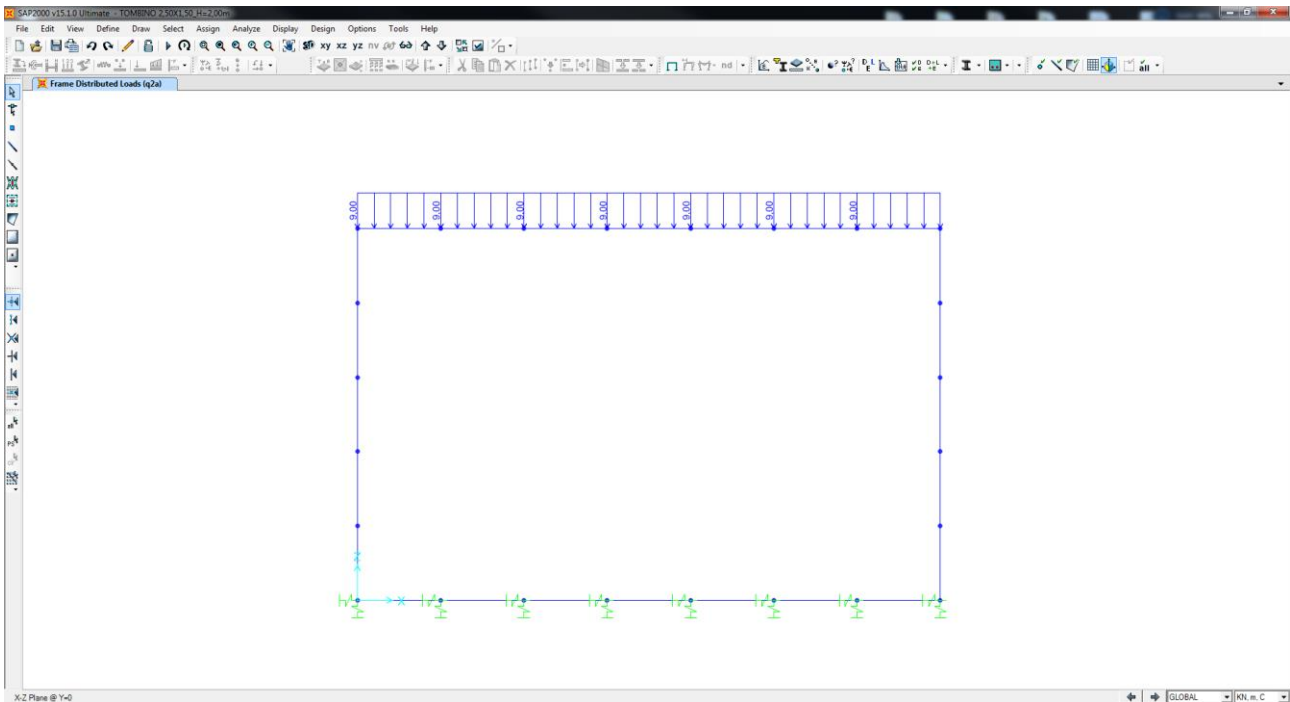
11.10 CARICO ACCIDENTALE DA TRAFFICO CONCENTRATO DIFFUSO – DISPOSIZIONE 3 (Q_{1A,3})



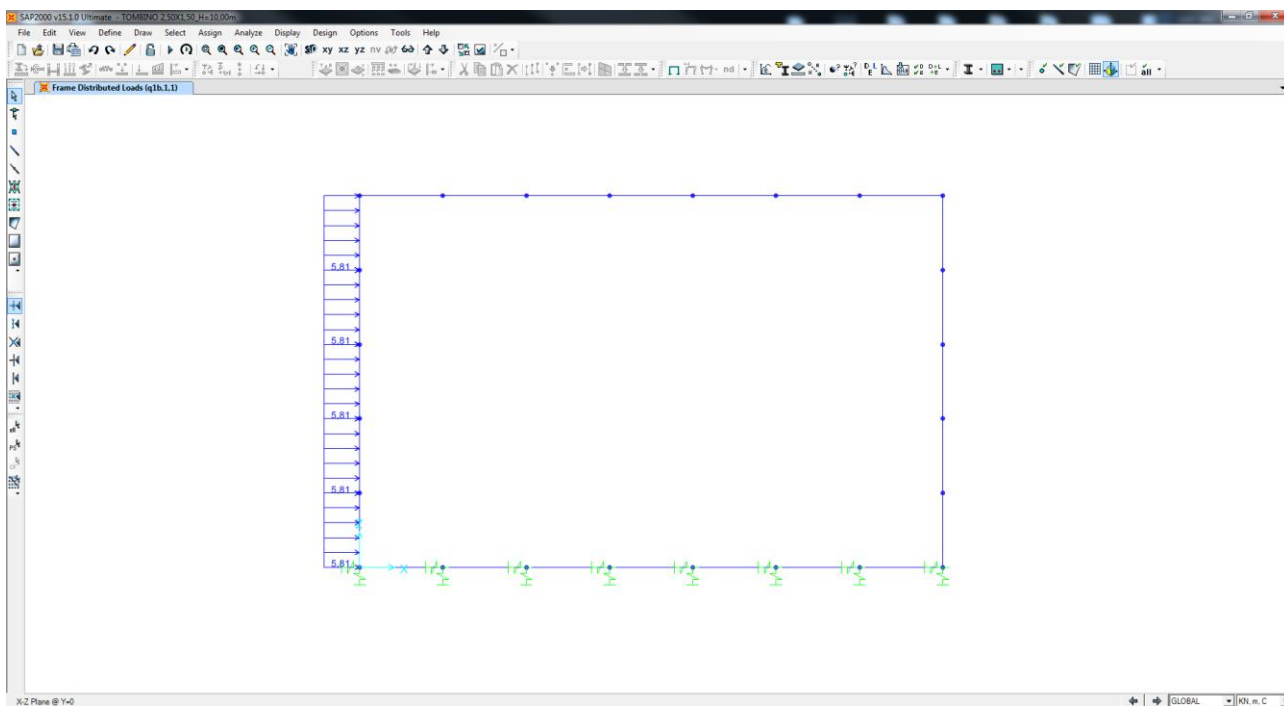
11.11 CARICO ACCIDENTALE DA TRAFFICO CONCENTRATO DIFFUSO – DISPOSIZIONE 4 (Q_{1A,4})



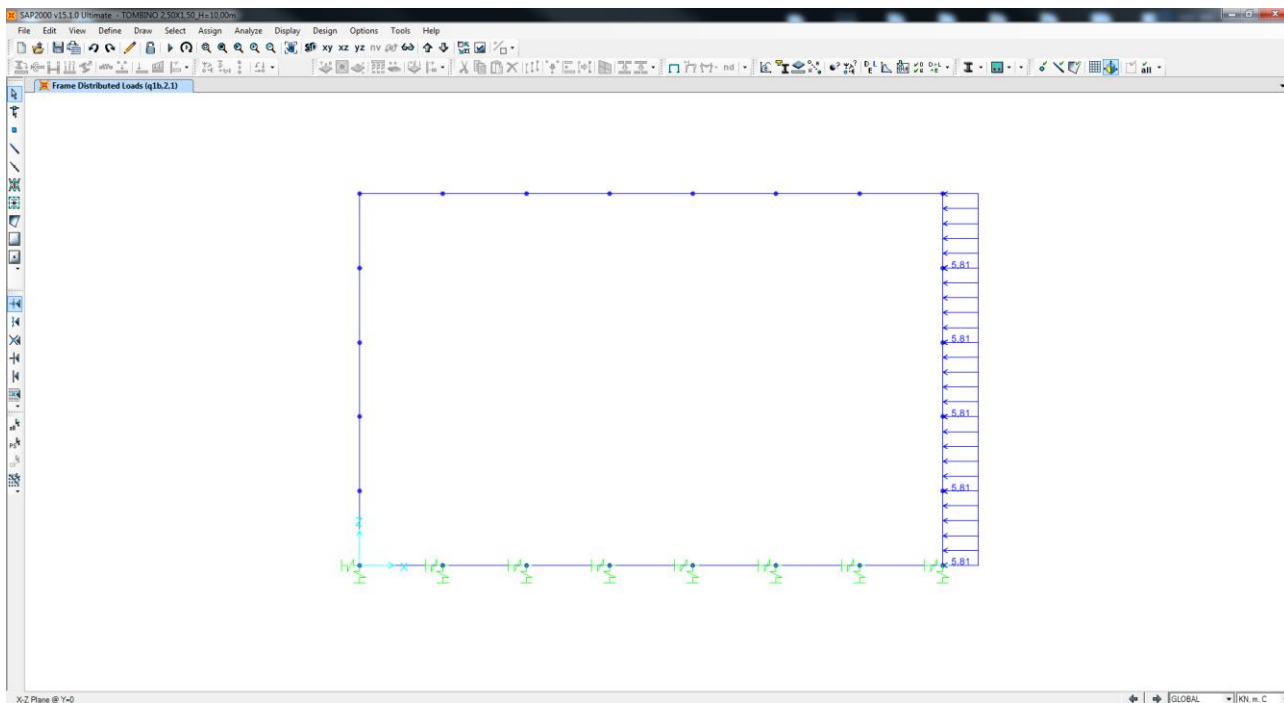
11.12 CARICO ACCIDENTALE DA TRAFFICO DISTRIBUITO (Q_{2A})



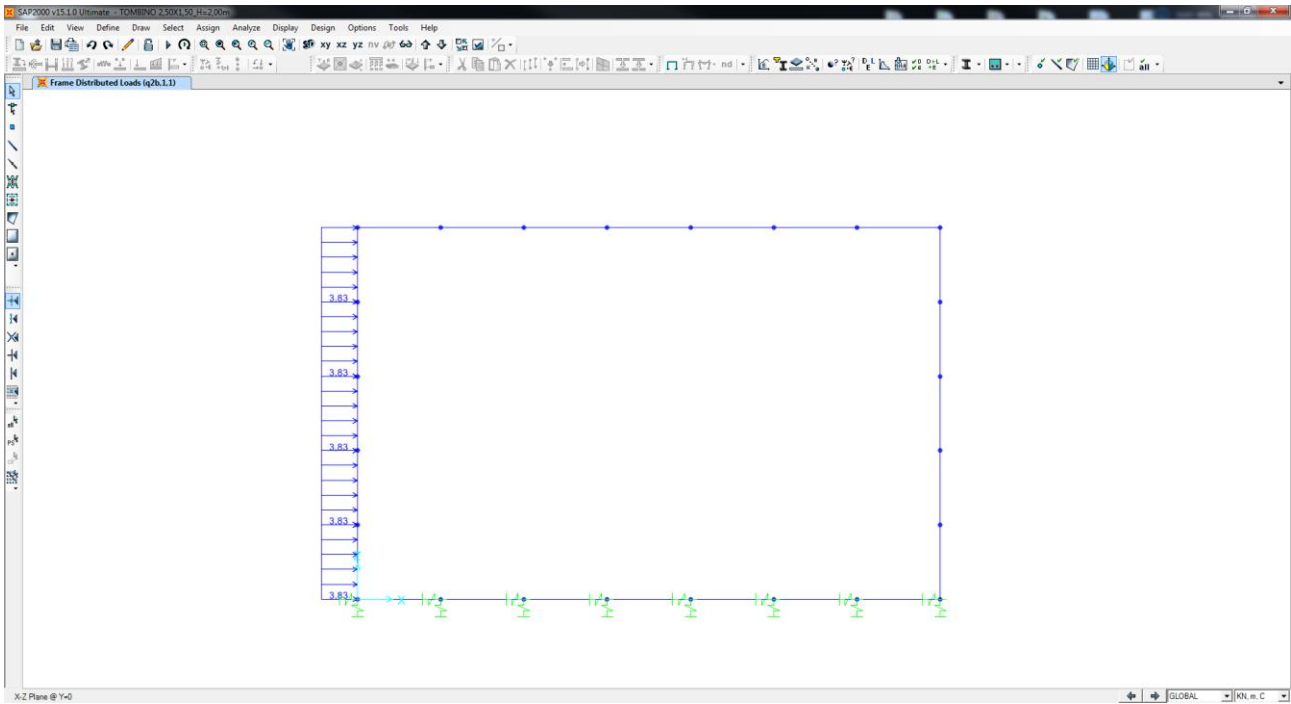
11.13 SPINTA DEL SOVRACCARICO ACCIDENTALE DA TRAFFICO CONCENTRATO DIFFUSO SUL RITTO SINISTRO ($Q_{1B,1,1}$)



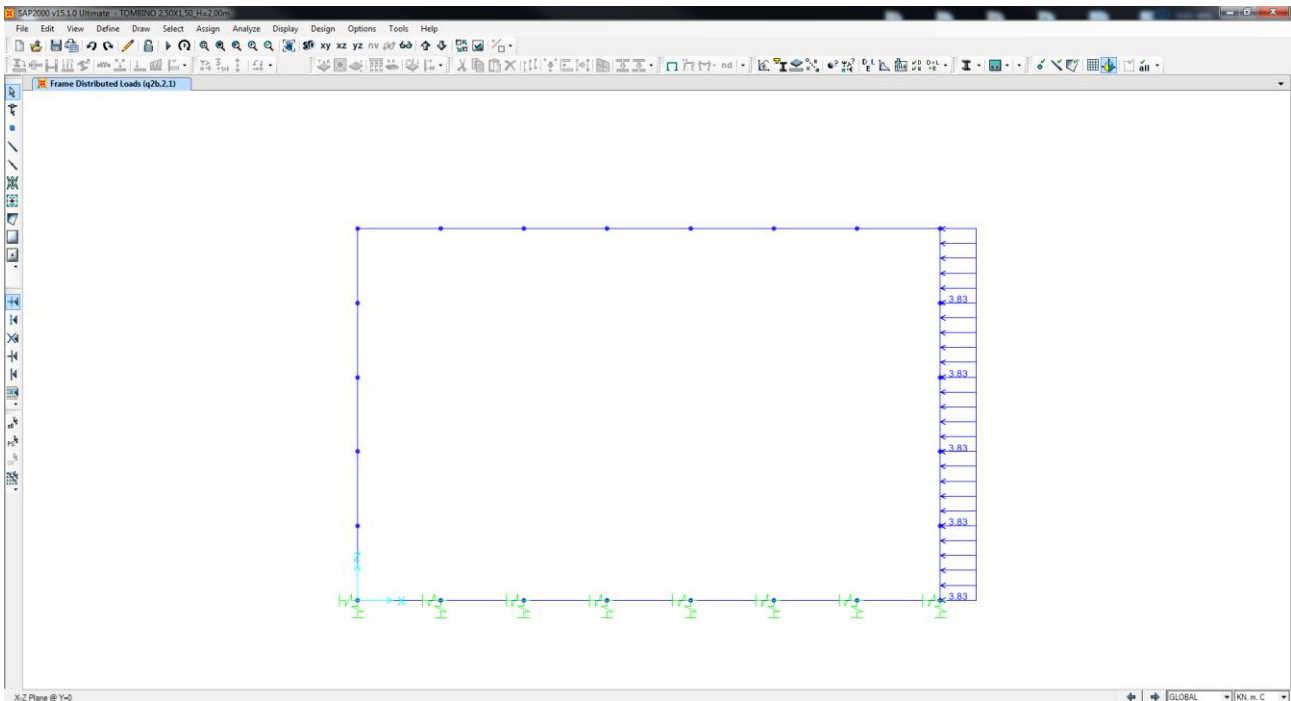
11.14 SPINTA DEL SOVRACCARICO ACCIDENTALE DA TRAFFICO CONCENTRATO DIFFUSO SUL RITTO DESTRO ($Q_{1B,2,1}$)



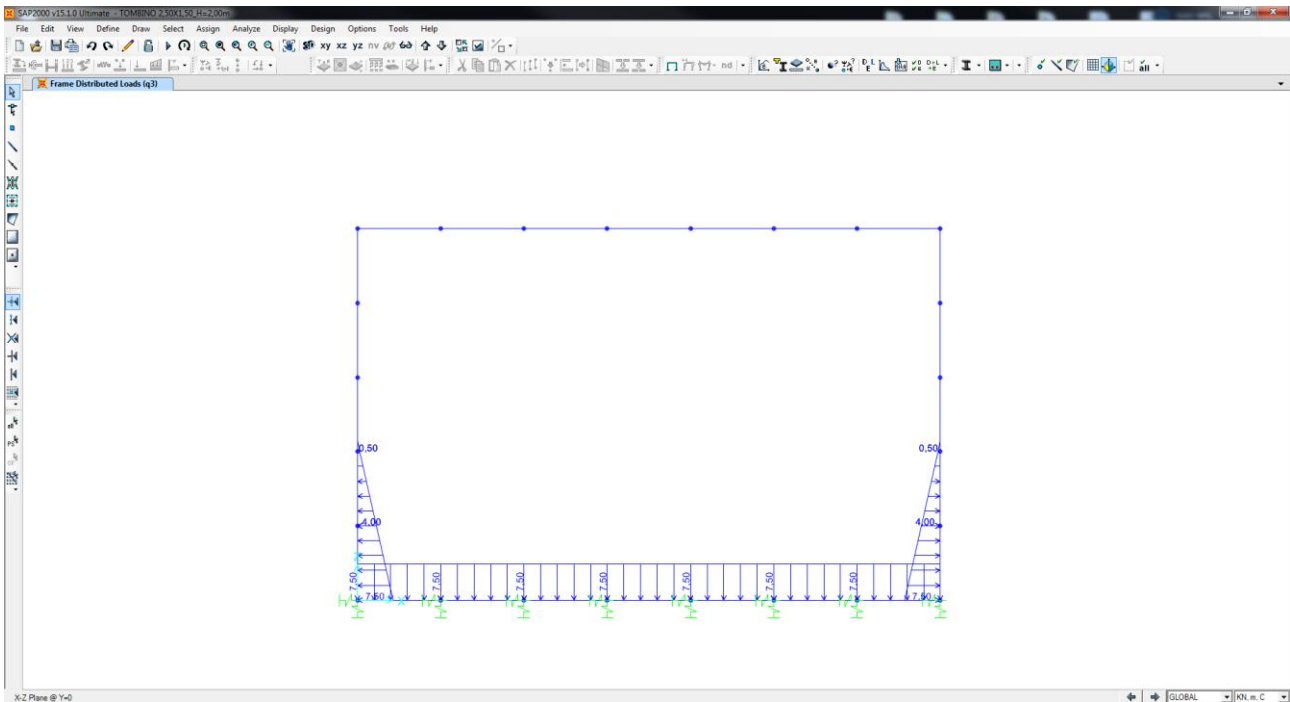
11.15 SPINTA DEL SOVRACCARICO ACCIDENTALE DA TRAFFICO DISTRIBUITO SUL RITTO SINISTRO ($Q_{2B,1,1}$)



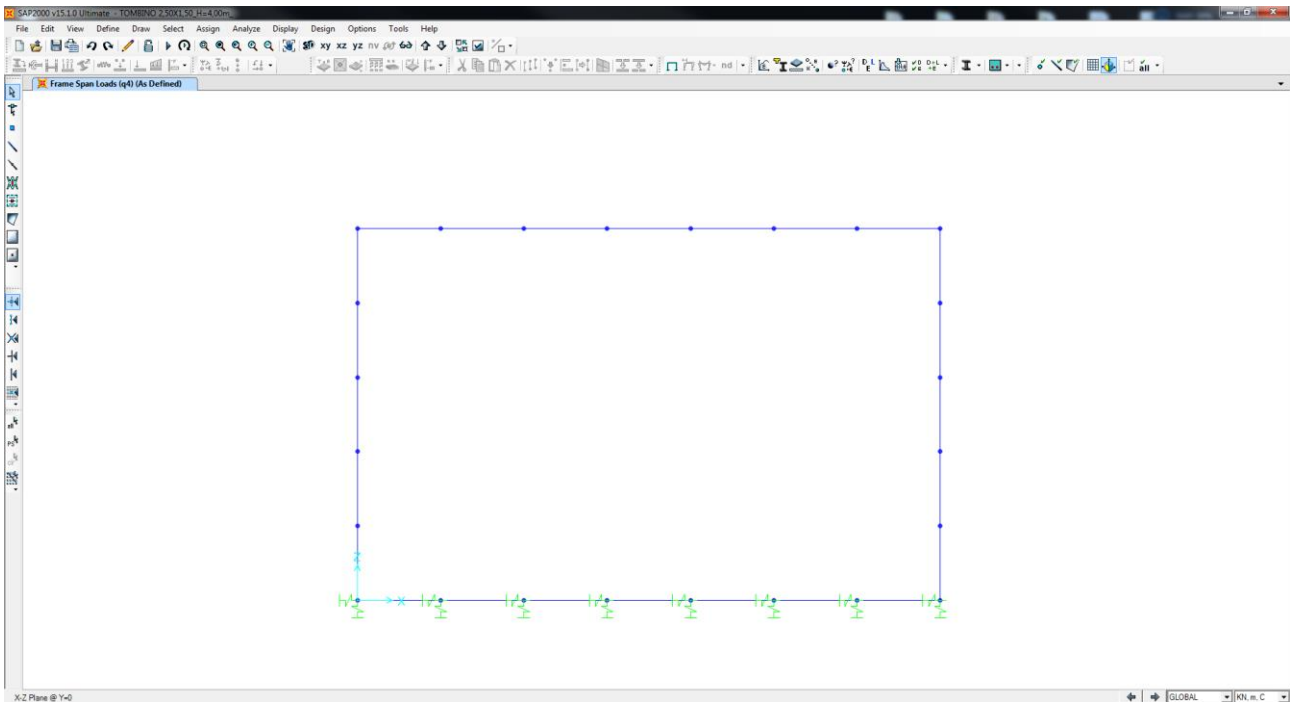
11.16 SPINTA DEL SOVRACCARICO ACCIDENTALE DA TRAFFICO DISTRIBUITO SUL RITTO DESTRO ($Q_{2B,2,1}$)



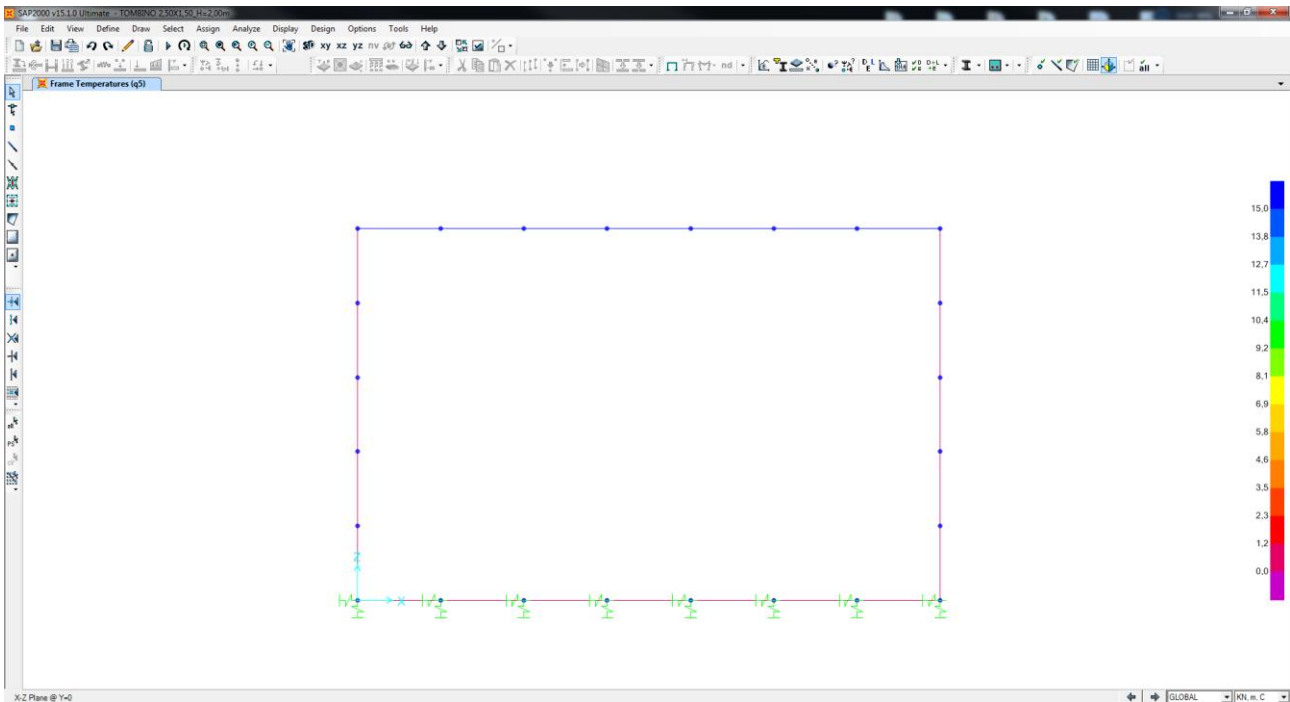
11.17 CARICO IDROSTATICO ACCIDENTALE AGENTE SULLA SOLETTA INFERIORE (Q₃)



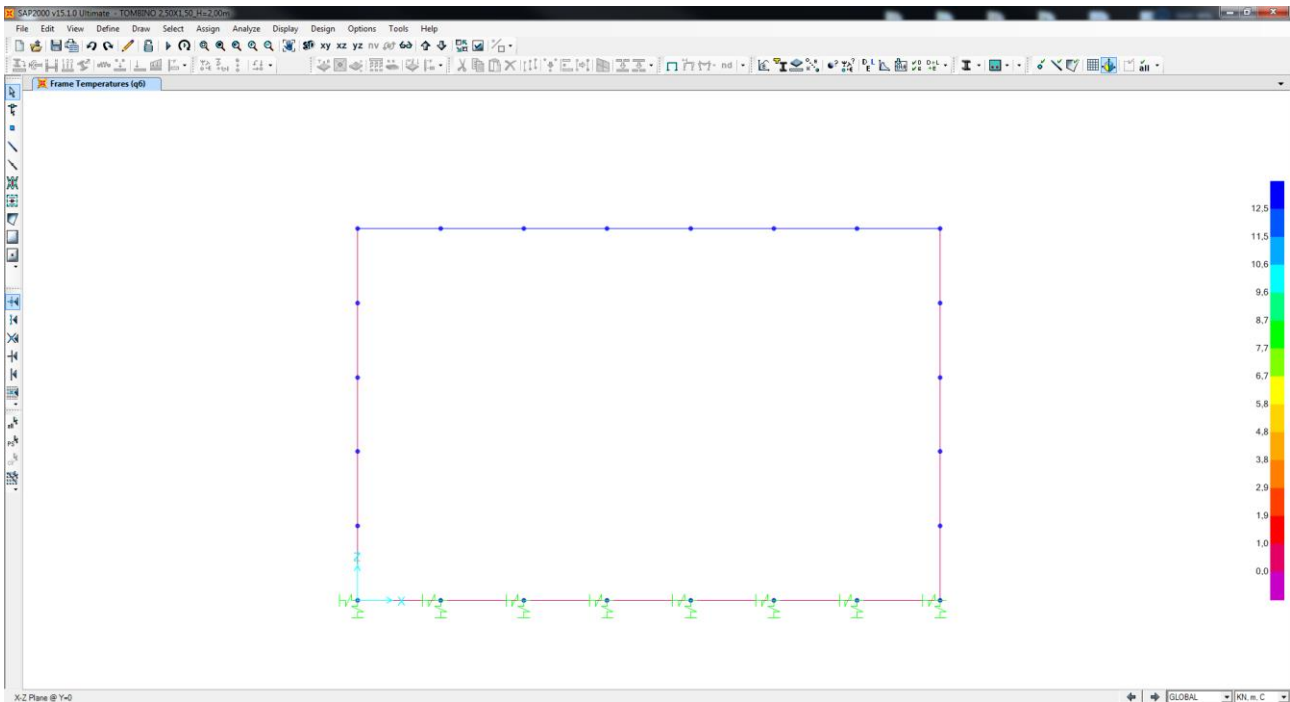
11.18 AZIONE ORIZZONTALE DELLA FRENATURA SULLA SOLETTA SUPERIORE (Q₄)



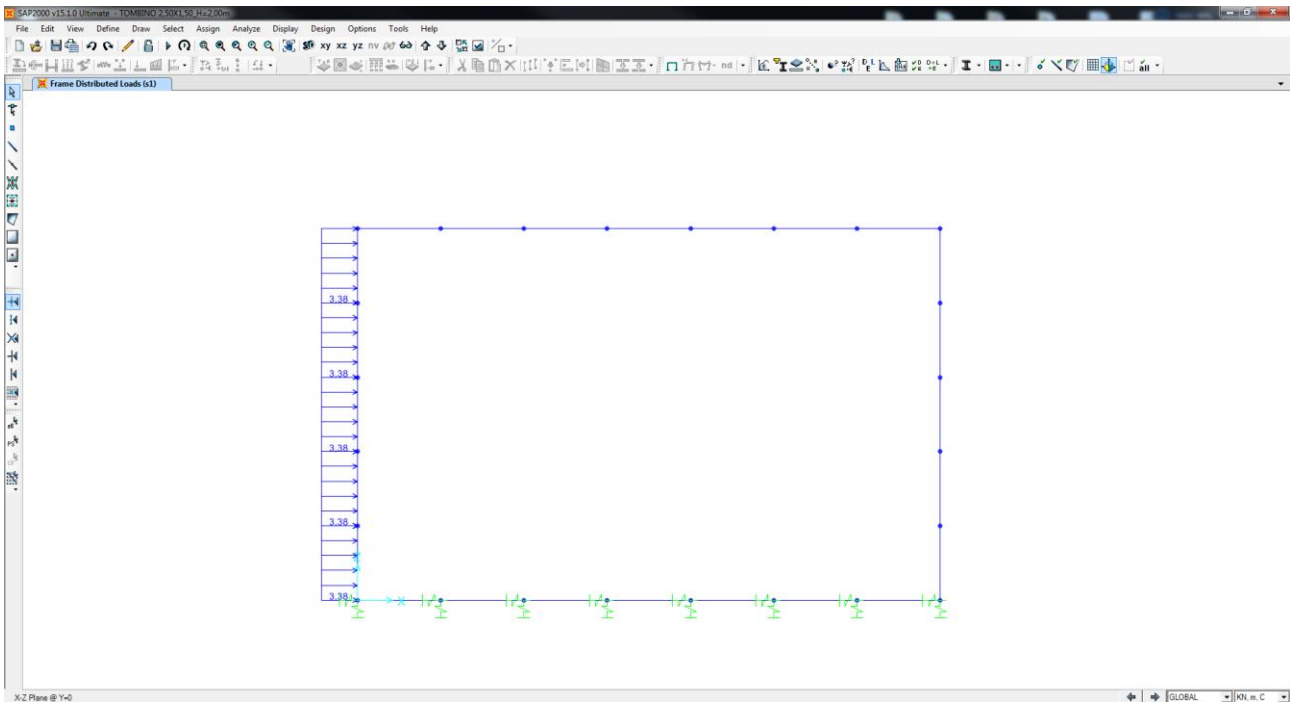
11.19 AZIONE TERMICA LONGITUDINALE SULLA SOLETTA SUPERIORE (Q₅)



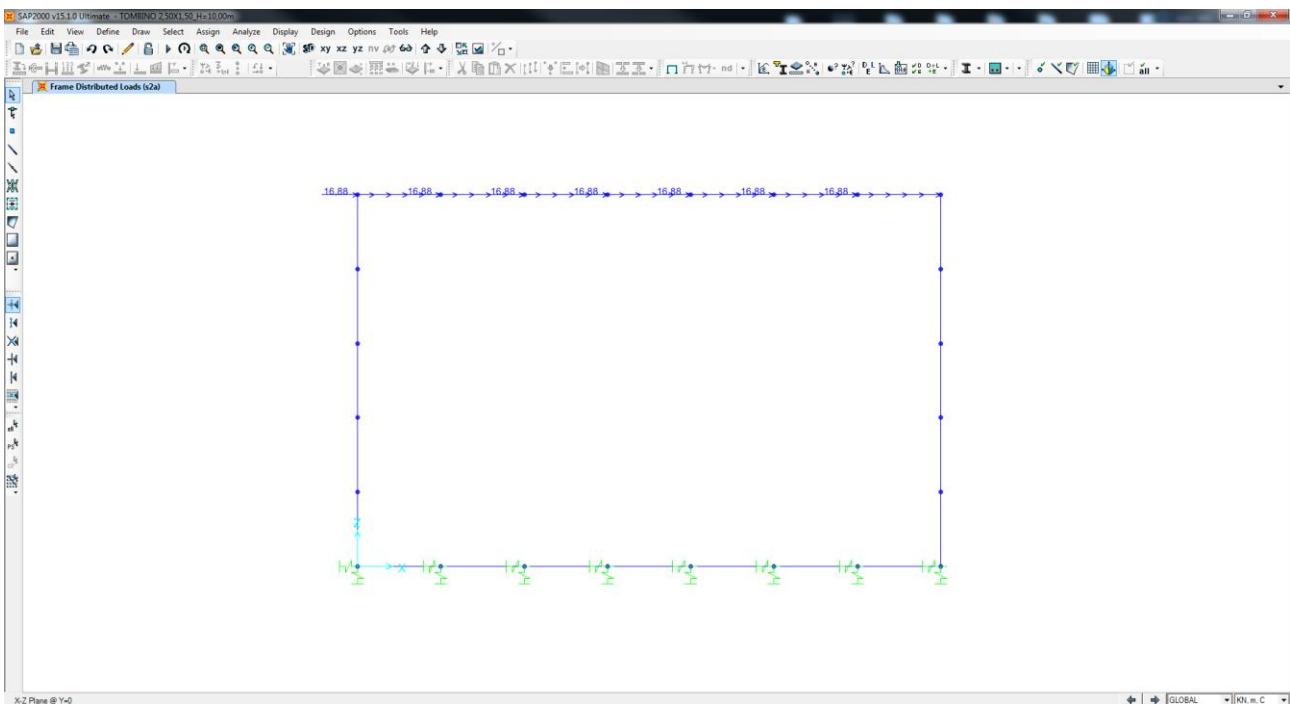
11.20 AZIONE TERMICA DIFFERENZIALE (Q₆)



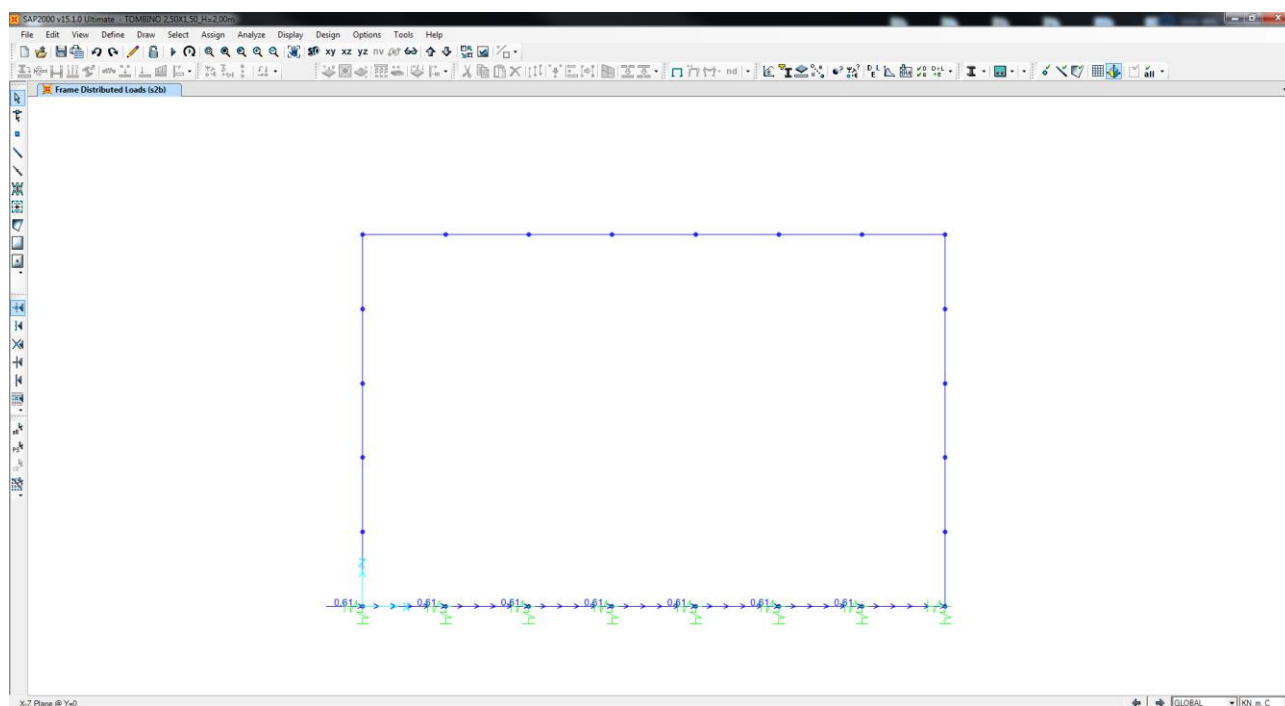
11.21 SOVRASPINTA DINAMICA DEL TERRENO SUL RITTO SINISTRO (S₁)



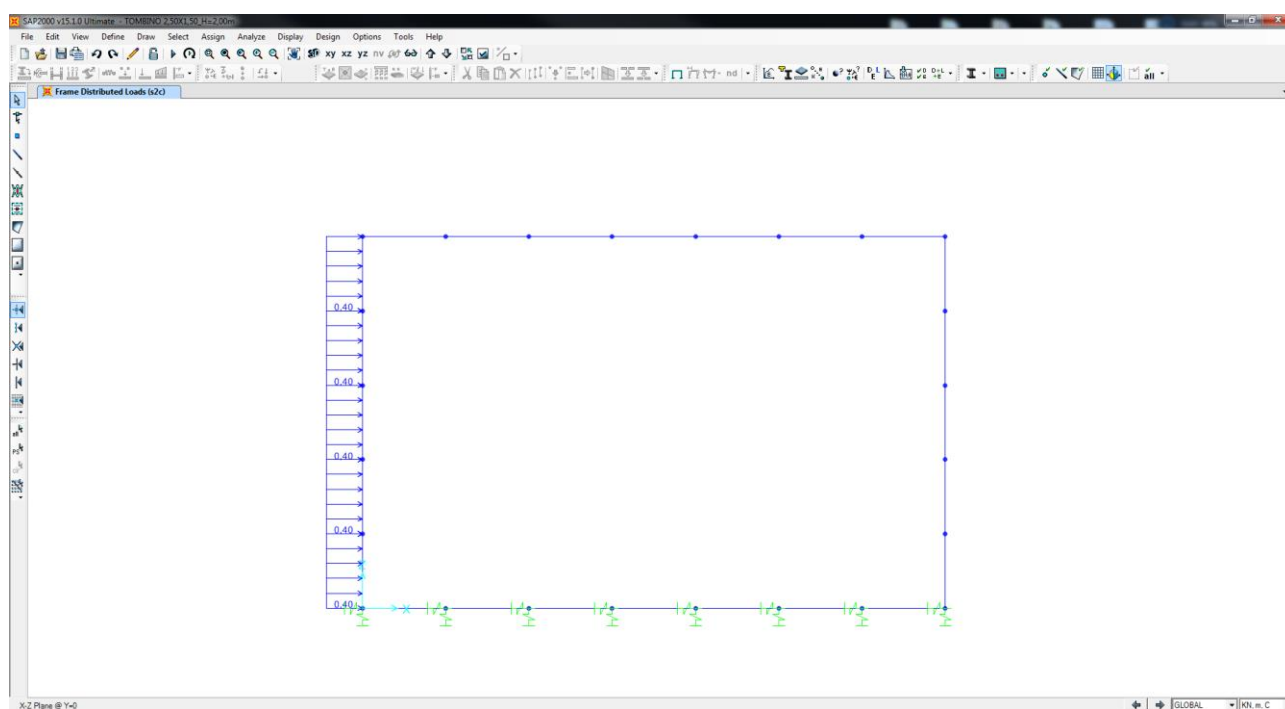
11.22 AZIONE INERZIALE ORIZZONTALE DELLA SOLETTA SUPERIORE E DEI CARICHI PERMANENTI DI PERTINENZA (S_{2A})



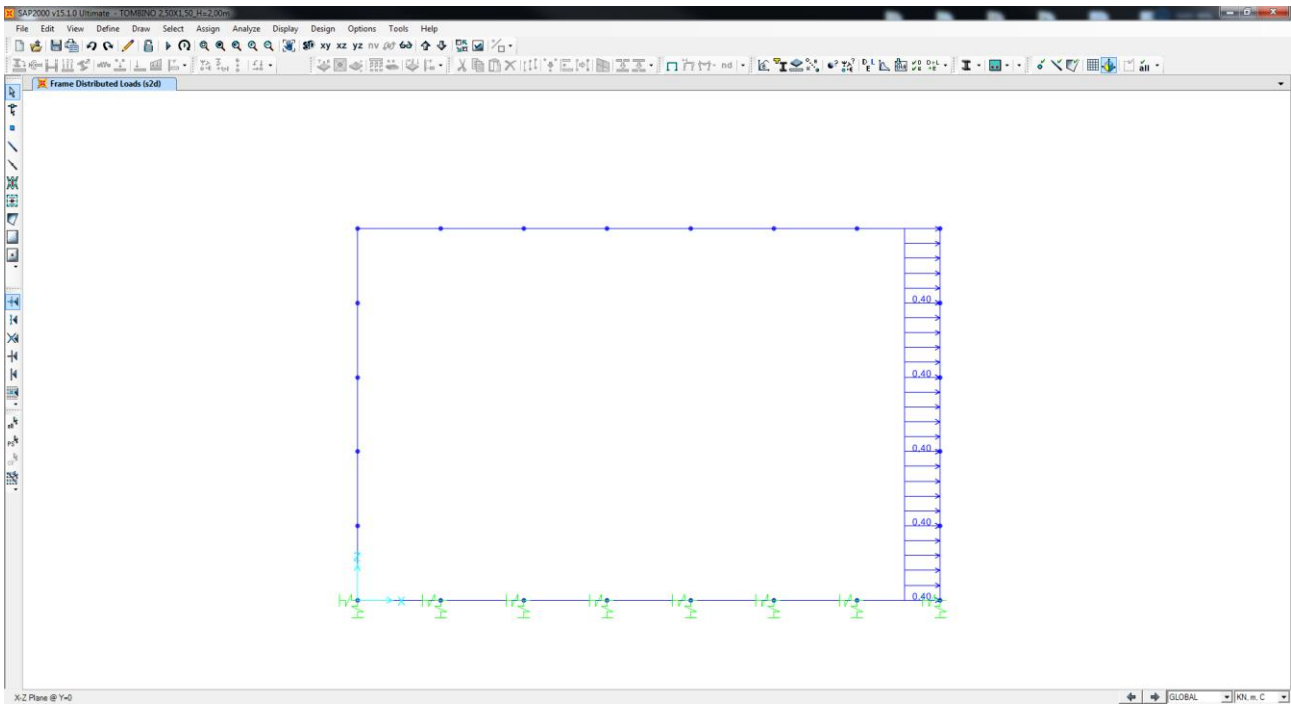
11.23 AZIONE INERZIALE ORIZZONTALE DELLA SOLETTA INFERIORE E DEI CARICHI PERMANENTI DI PERTINENZA (S_{2B})



11.24 AZIONE INERZIALE ORIZZONTALE DEL RITTO SINISTRO (S_{2c})



11.25 AZIONE INERZIALE ORIZZONTALE DEL RITTO DESTRO (S_{2D})

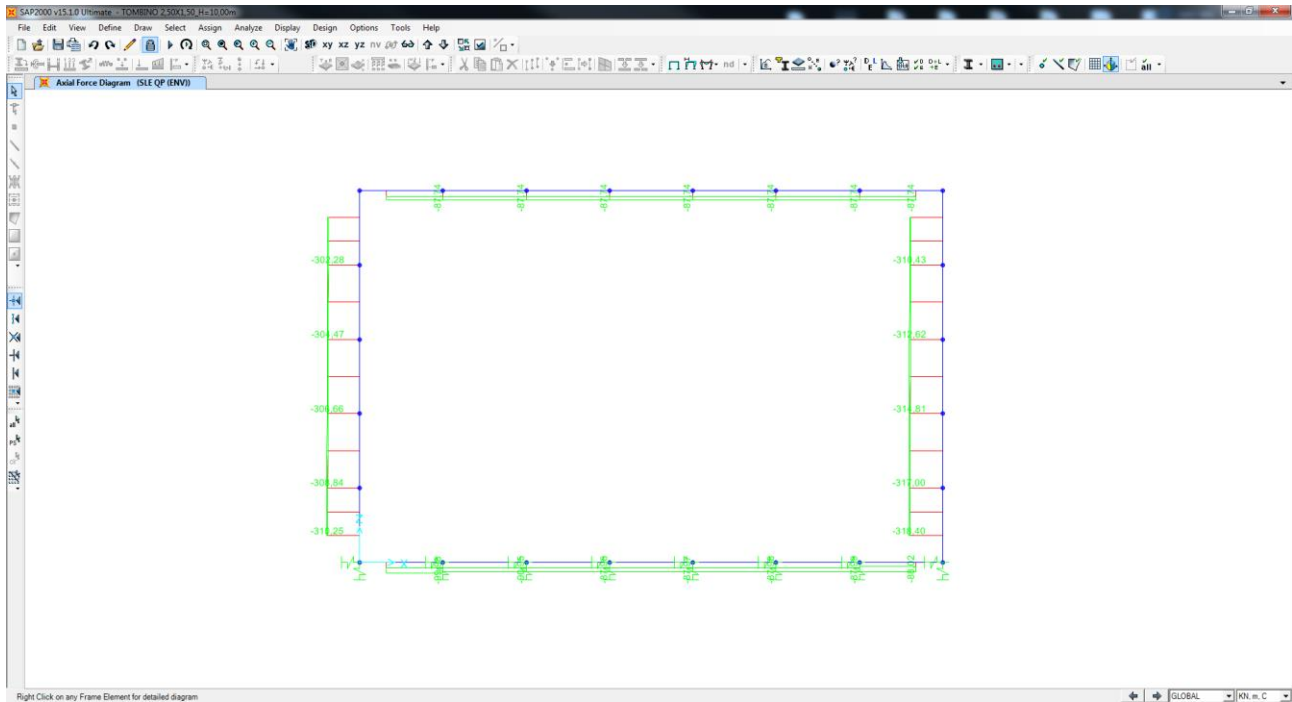


12 VALUTAZIONE DELLE AZIONI SOLLECITANTI

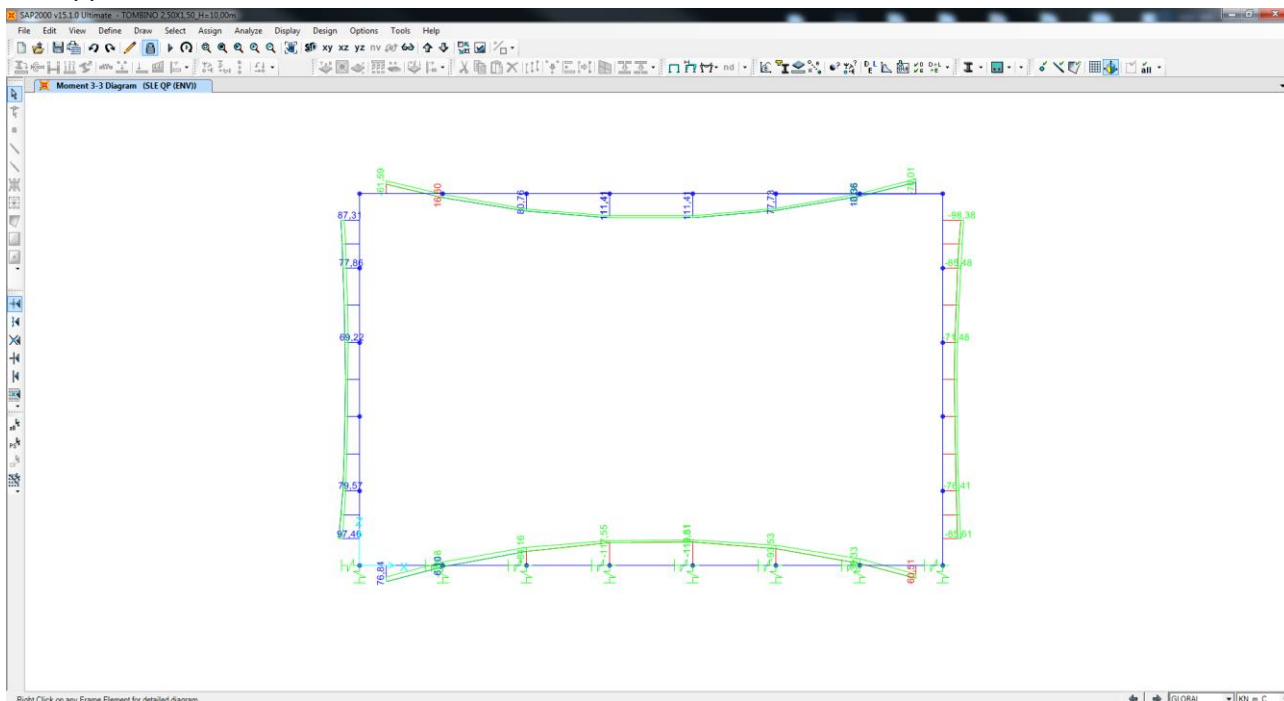
Nei paragrafi successivi sono riportati i diagrammi delle azioni sollecitanti sugli elementi strutturali per le diverse combinazioni di carico considerate.

12.1 COMBINAZIONI SLE – QUASI PERMANENTI

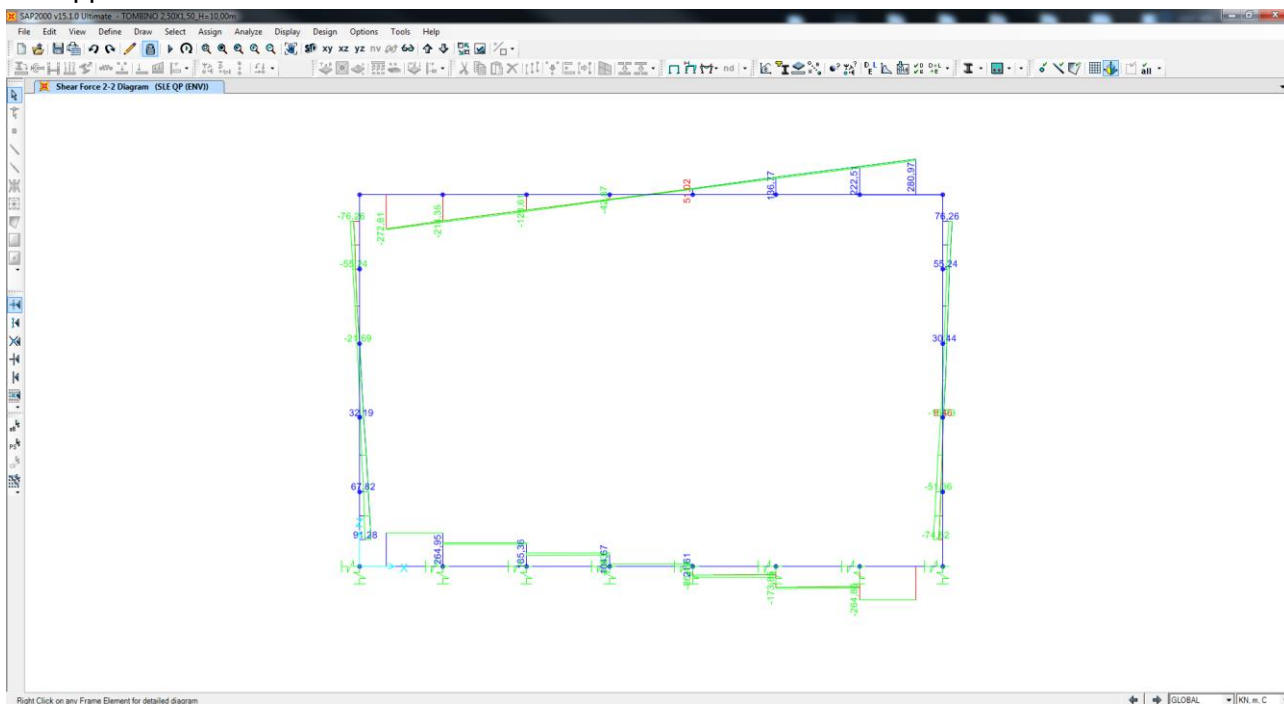
Nel diagramma successivo è riportato l'andamento dell'azione normale per la combinazione di inviluppo delle combinazioni di carico allo SLE – Quasi Permanenti:



Nel diagramma successivo è riportato l'andamento del momento flettente per la combinazione di involuppo delle combinazioni di carico allo SLE – Quasi Permanenti:

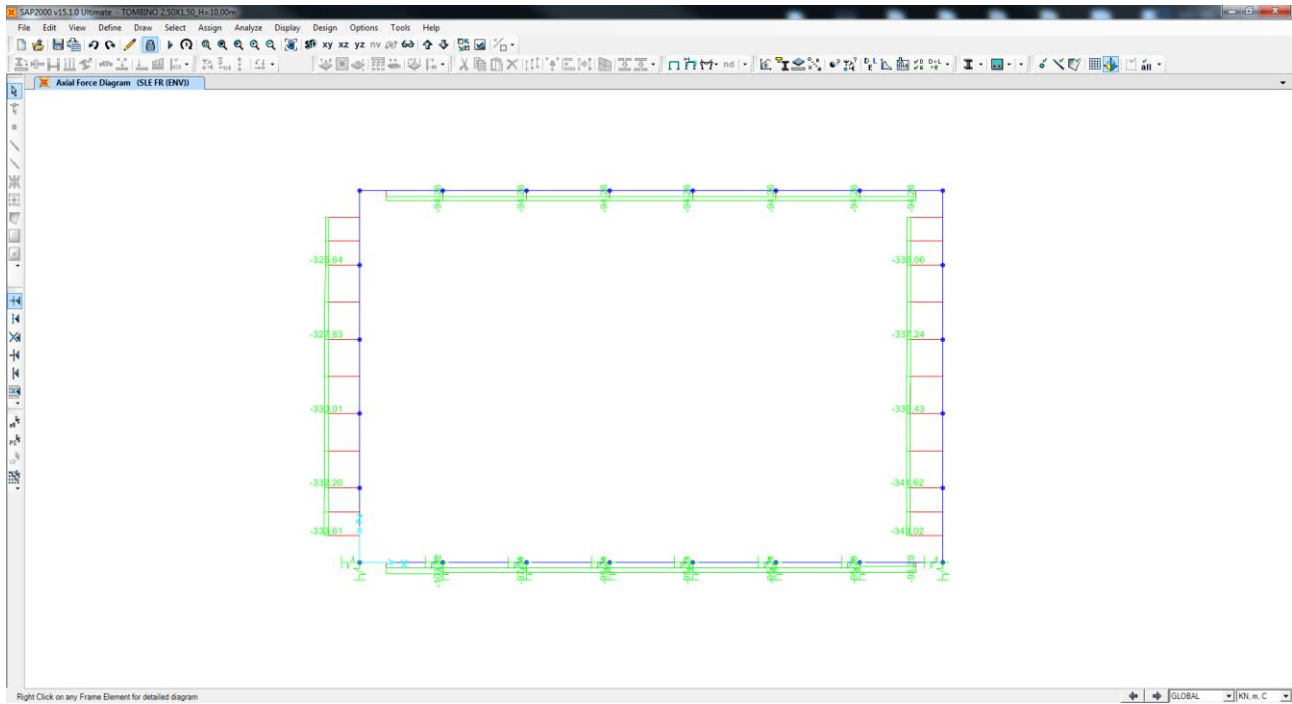


Nel diagramma successivo è riportato l'andamento dell'azione tagliante per la combinazione di involuppo delle combinazioni di carico allo SLE – Quasi Permanenti:

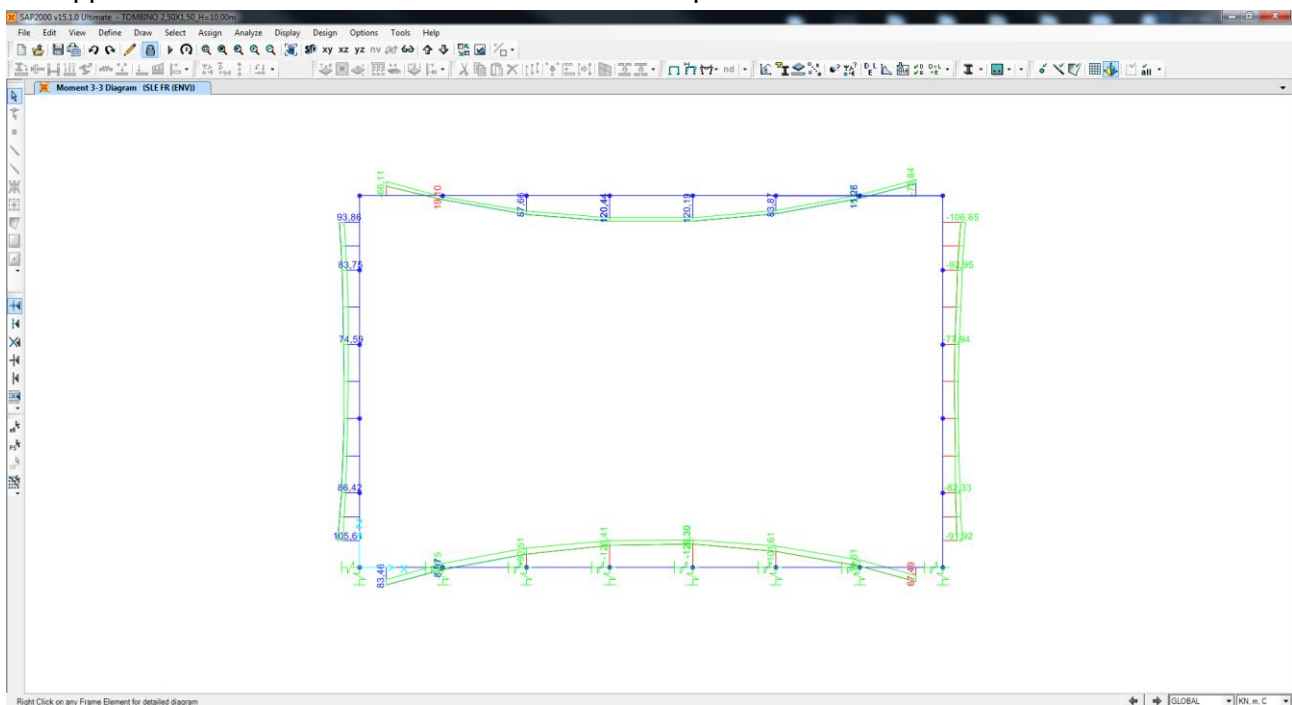


12.2 COMBINAZIONI SLE – FREQUENTI

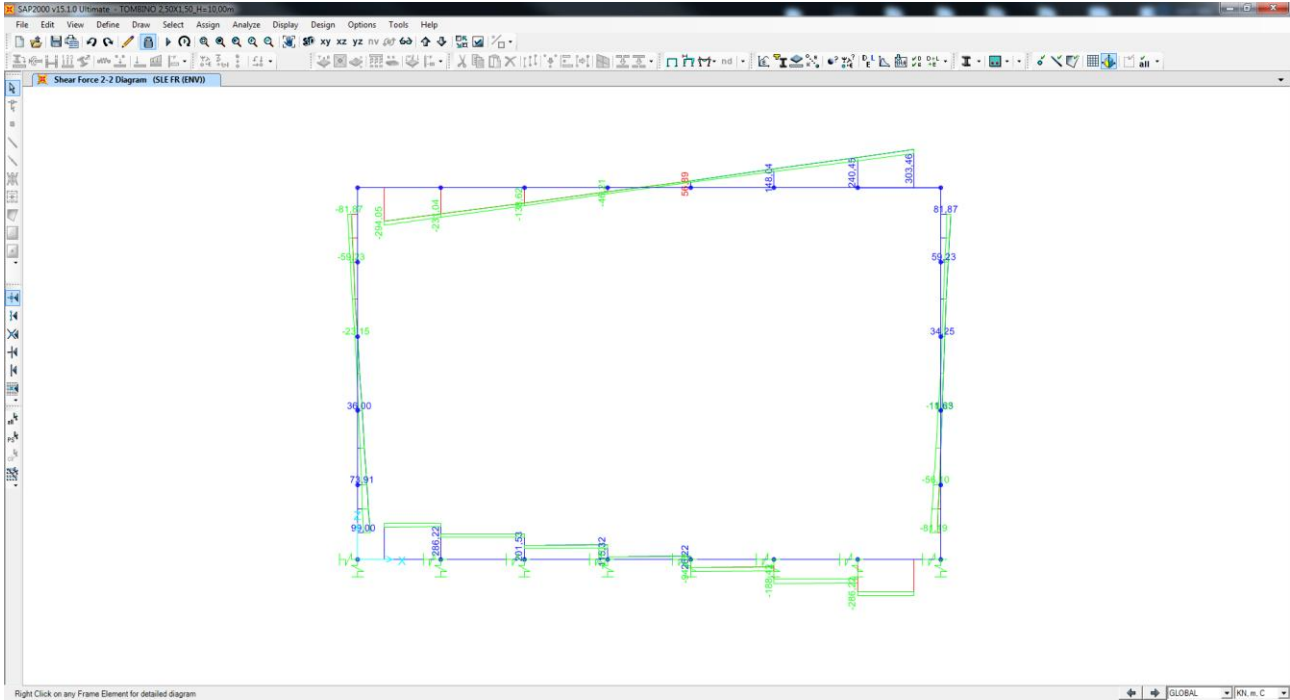
Nel diagramma successivo è riportato l'andamento dell'azione normale per la combinazione di involuppo delle combinazioni di carico allo SLE – Frequenti:



Nel diagramma successivo è riportato l'andamento del momento flettente per la combinazione di involuppo delle combinazioni di carico allo SLE – Frequenti:

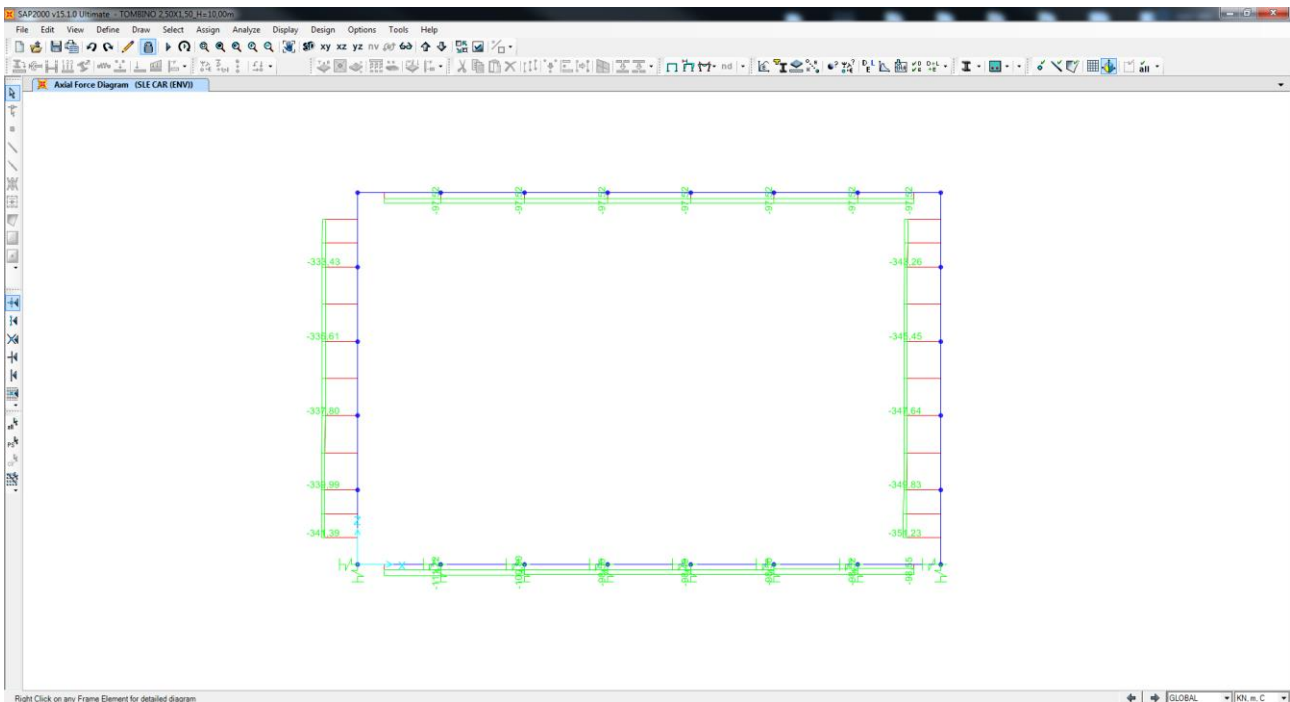


Nel diagramma successivo è riportato l'andamento dell'azione tagliante per la combinazione di involuppo delle combinazioni di carico allo SLE – Frequenti:

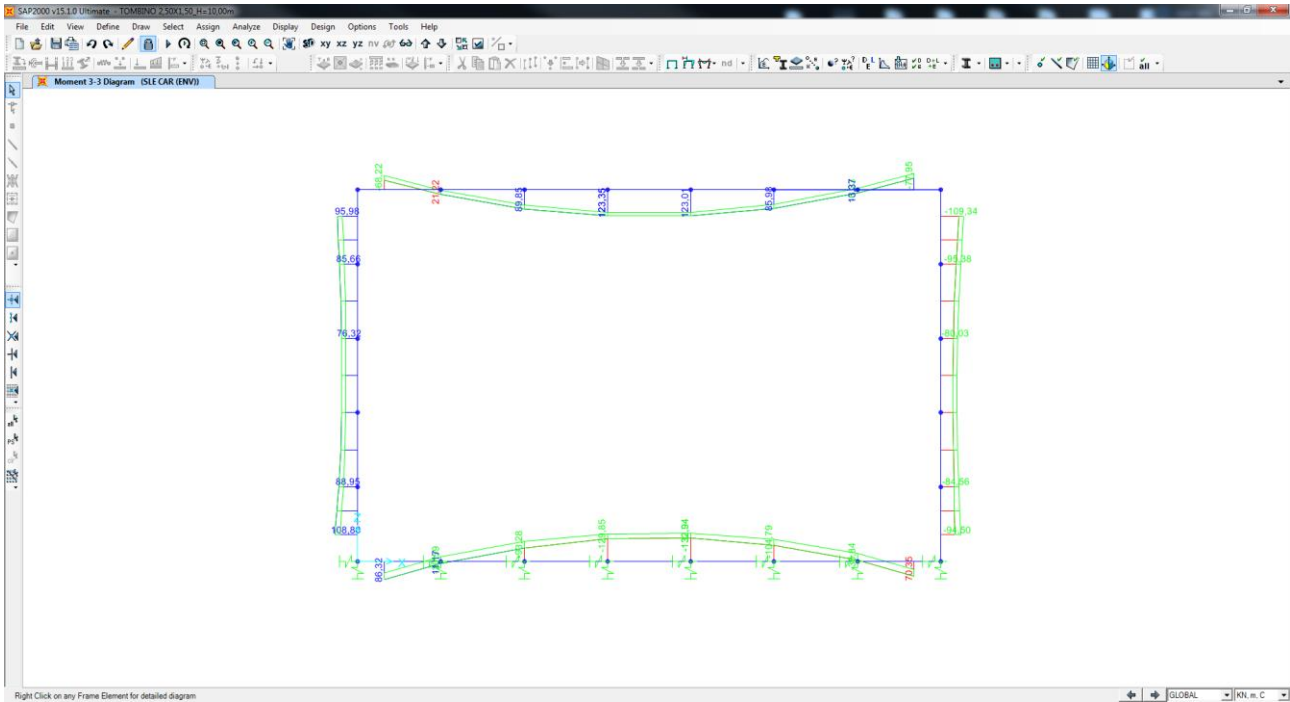


12.3 COMBINAZIONI SLE – CARATTERISTICHE

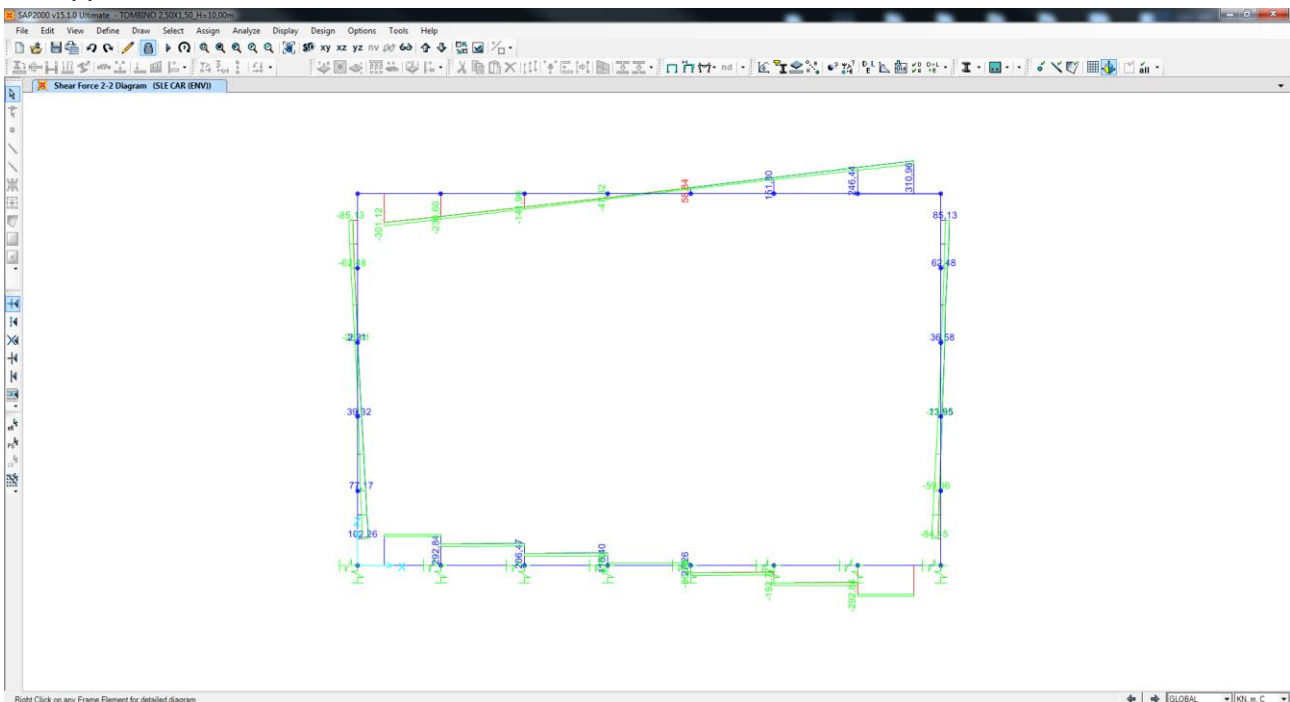
Nel diagramma successivo è riportato l'andamento dell'azione normale per la combinazione di involuppo delle combinazioni di carico allo SLE – Caratteristiche:



Nel diagramma successivo è riportato l'andamento del momento flettente per la combinazione di involuppo delle combinazioni di carico allo SLE – Caratteristiche:

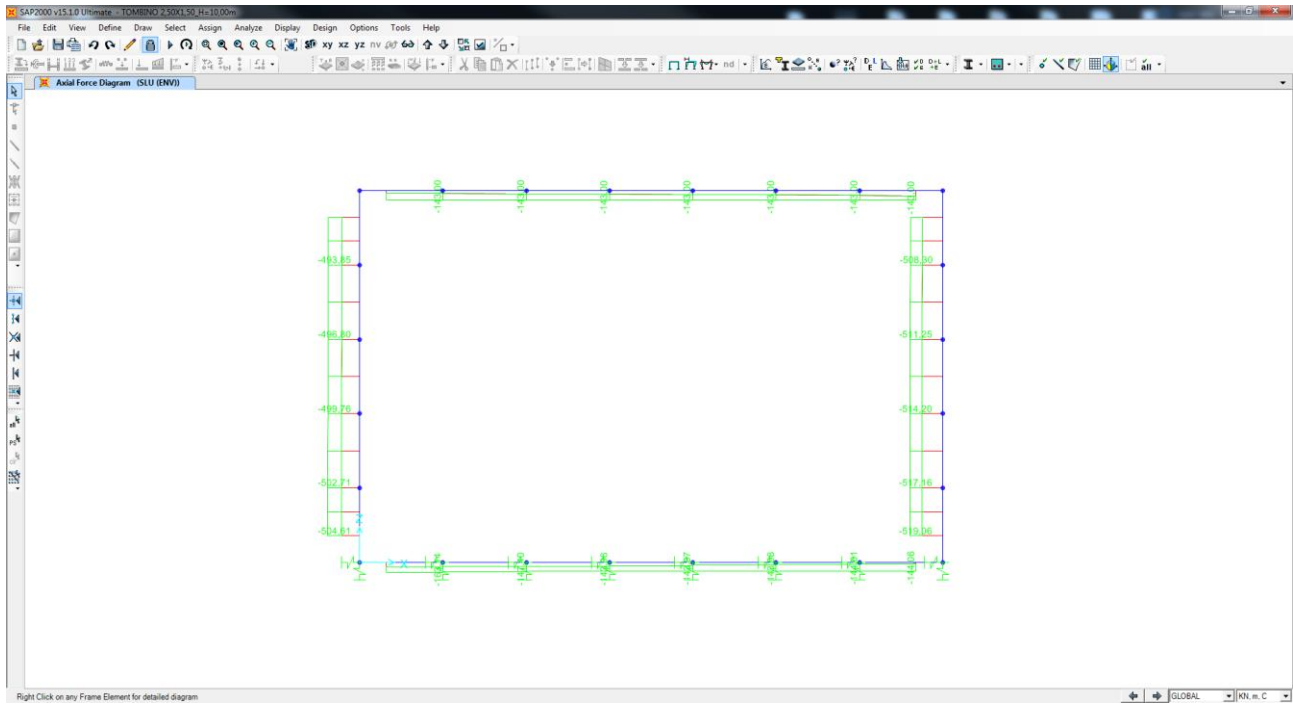


Nel diagramma successivo è riportato l'andamento dell'azione tagliante per la combinazione di involuppo delle combinazioni di carico allo SLE – Caratteristiche:

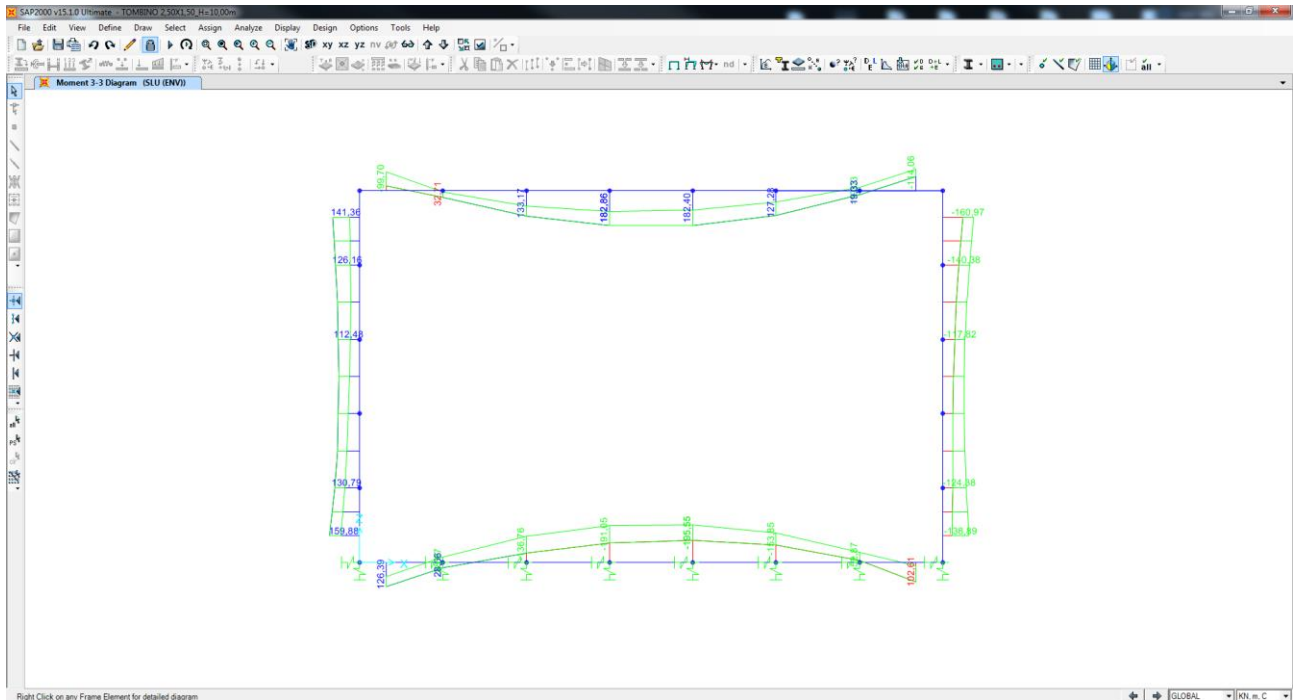


12.4 COMBINAZIONI SLU

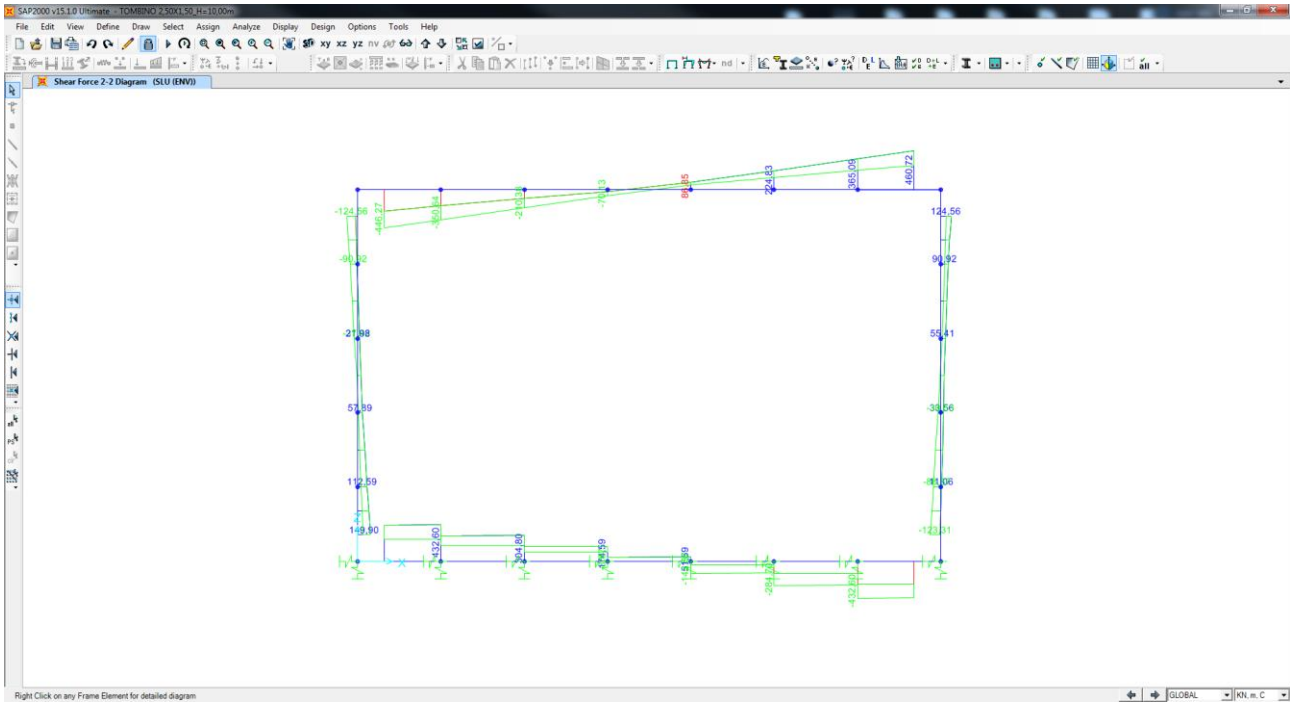
Nel diagramma successivo è riportato l'andamento dell'azione normale per la combinazione di involuppo delle combinazioni di carico allo SLU statiche (STR) e sismiche (SLV):



Nel diagramma successivo è riportato l'andamento del momento flettente per la combinazione di involuppo delle combinazioni di carico allo SLU – STR:



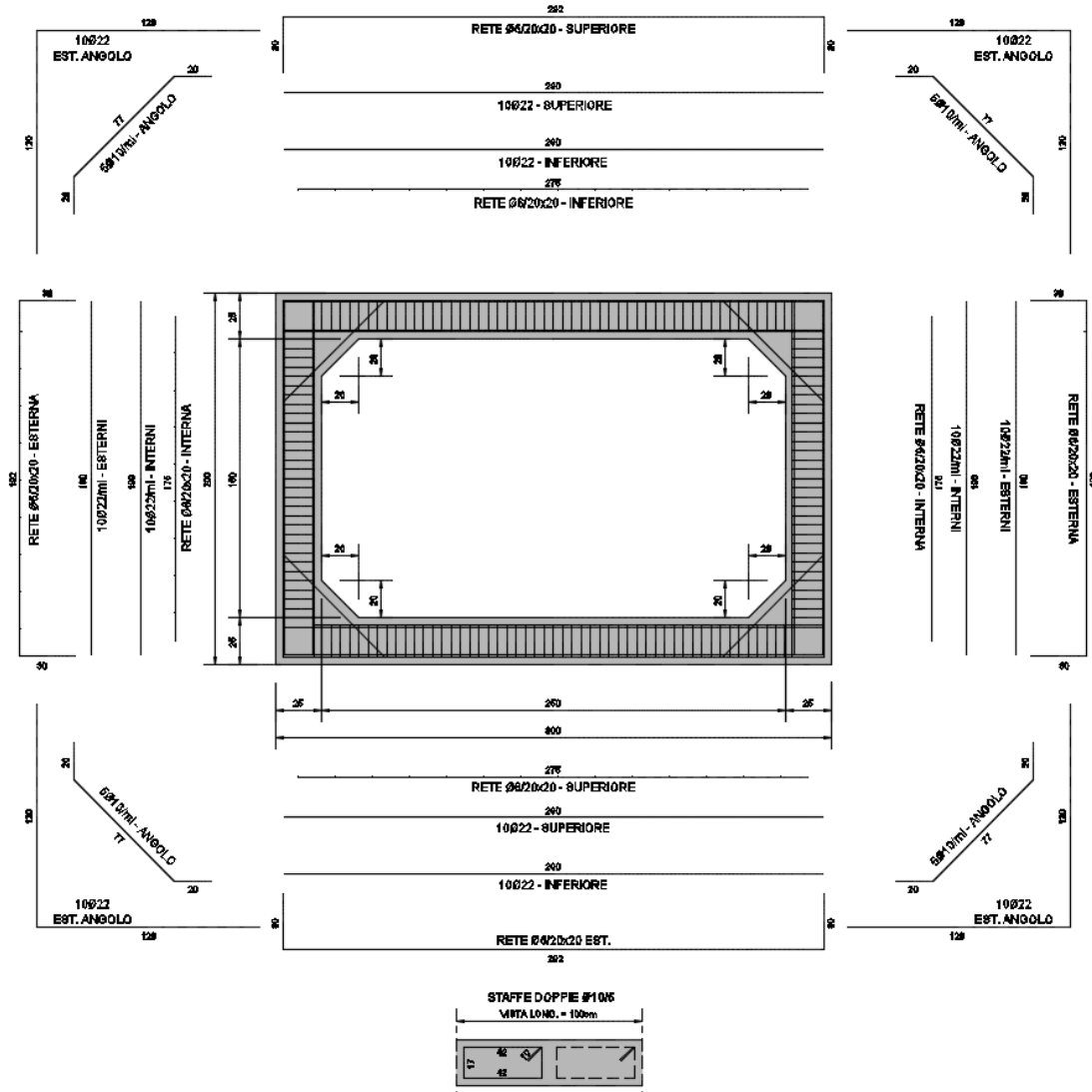
Nel diagramma successivo è riportato l'andamento dell'azione tagliante per la combinazione di involuppo delle combinazioni di carico allo SLU – STR:



13 ARMATURA DEL TOMBINO

SEZIONE TRASVERSALE DEL MANUFATTO SCATOLARE - ARMATURA

SCALA 1:20



14 VERIFICHE STRUTTURALI CANNA TOMBINO

Essendo l'elemento prefabbricato realizzato a conci di lunghezza contenuta ed avendo modellato la struttura come una fetta di 1,00m, l'armatura longitudinale non è oggetto di verifica.

14.1 VERIFICHE SOLETTA SUPERIORE

Poiché la soletta è armata in maniera costante, doppia e simmetrica lungo tutto il suo sviluppo, le verifiche verranno eseguite in corrispondenza delle sezioni maggiormente sollecitate.

14.1.1 DEFINIZIONE DELLE AZIONI SOLLECITANTI DI CALCOLO

Nella tabella successiva sono riportati i valori delle azioni sollecitanti maggiormente gravose per le differenti combinazioni di carico considerate.

Sono state prese in esame le seguenti combinazioni delle azioni sollecitanti:

- N_{max}
- N_{min}
- M_{max}
- M_{min}
- V_{max}
- V_{min}

GRUPPO DI COMBINAZIONI	CONDIZIONE	ELEMENTO	COMBINAZIONE	N_{Sd} [kN]	V_{Sd} [kN]	M_{Sd} [kNm]
SLE QUASI PERMANENTE	N_{max}	S.S.-3	QP.2	-87,74	-42,87	105,42
	N_{min}	S.S.-3	QP.7	-53,13	-42,87	110,70
	M_{max}	S.S.-3	QP.5	-54,26	-42,87	111,41
	M_{min}	S.S.-7	QP.12	-71,28	280,97	-70,01
	V_{max}	S.S.-7	QP.12	-71,28	280,97	-70,01
SLE FREQUENTE	N_{max}	S.S.-4	FR.38	-94,26	46,21	113,85
	N_{min}	S.S.-4	FR.55	-55,68	-43,55	114,22
	M_{max}	S.S.-3	FR.77	-56,94	-45,56	120,44
	M_{min}	S.S.-7	FR.36	-75,44	303,46	-75,84
	V_{max}	S.S.-7	FR.34	-76,57	303,46	-75,12
SLE CARATTERISTICA	N_{max}	S.S.-3	CAR.326	-97,52	-46,21	111,02
	N_{min}	S.S.-3	CAR.343	-52,43	-43,55	117,04
	M_{max}	S.S.-3	CAR.77	-58,03	-46,46	123,35
	M_{min}	S.S.-7	CAR.322	-79,83	303,46	-77,95
	V_{max}	S.S.-7	CAR.36	-76,74	310,96	-77,70
GRUPPO DI COMBINAZIONI	CONDIZIONE	ELEMENTO	COMBINAZIONE	N_{Sd} [kN]	V_{Sd} [kN]	M_{Sd} [kNm]
SLU - STR	N_{max}	S.S.-4	STR.326	-143,00	-68,62	166,46
	N_{min}	S.S.-4	STR.343	-79,30	-65,04	174,00
	M_{max}	S.S.-3	STR.77	-86,20	-68,96	182,86
	M_{min}	S.S.-7	STR.36	-113,46	460,72	-114,06
	V_{max}	S.S.-7	STR.36	-113,46	460,72	-114,06
SLU - SISMA	N_{max}	S.S.-7	SISMA-2	-110,32	289,39	-81,77
	N_{min}	S.S.-1	SISMA-7	-33,51	-256,24	-35,04
	M_{max}	S.S.-3	SISMA-5	-52,42	-26,29	114,50
	M_{min}	S.S.-7	SISMA-12	-93,86	297,54	-90,90
	V_{max}	S.S.-7	SISMA-10	-94,99	297,54	-90,19

Con:

- N_{max} sono indicate le azioni normali di compressione massime.
- N_{min} sono indicate le azioni normali di compressione minime o di trazione.

14.1.2 SEZIONE ED ARMATURA DI VERIFICA

La sezione di verifica è rettangolare con base pari a 100 cm e altezza pari a 25.

L'armatura orizzontale (armatura di forza) è prevista come segue:

- Rete Ø6/20x20 esterna
- 10Ø22 esterni
- 10Ø22 interni
- Rete Ø6/20x20 interna
- Verranno disposte a taglio staffe doppie Ø10/5.

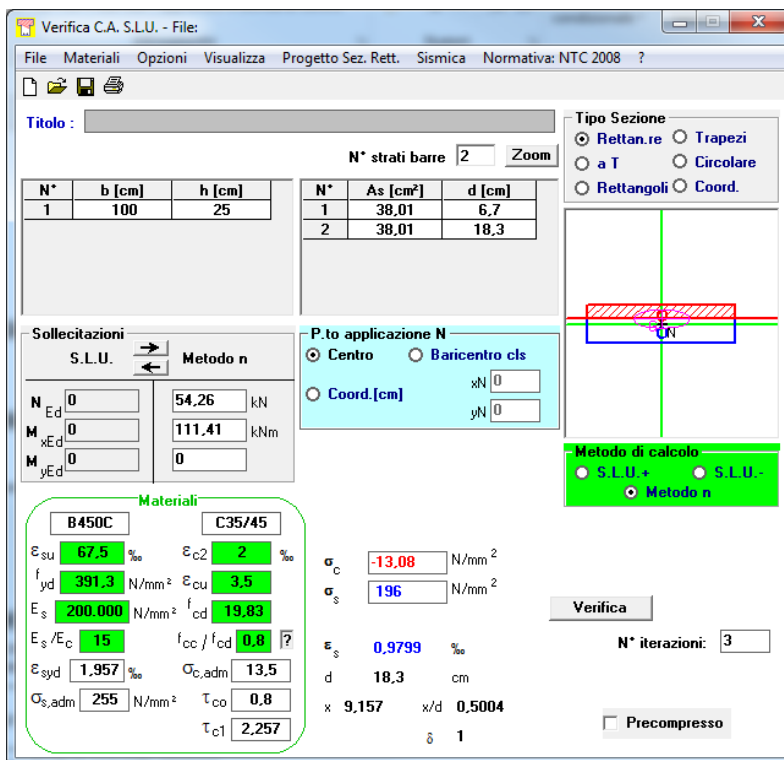
Il copriferro netto minimo è assunto pari a 40 mm

14.1.3 VERIFICA ALLO STATO LIMITE DI LIMITAZIONE DELLE TENSIONI – COMBINAZIONE QUASI PERMANENTE

La combinazione di carico maggiormente gravosa è risultata la combinazione **SLE-QP.5**

L'azione normale di calcolo è assunta pari a $N_{sd} = 54,26$ kN.

Il momento flettente di calcolo è assunto pari a $M_{sd} = 111,41$ kNm.



Le tensioni sui materiali risultano pari a:

$$\sigma_c = 13,08 \text{ N/mm}^2 < 0,45 f_{ck} = 16,81 \text{ N/mm}^2$$

$$\sigma_s = 196,00 \text{ N/mm}^2 < 0,80 f_{yk} = 360,00 \text{ N/mm}^2$$

La verifica risulta pertanto soddisfatta.

14.1.4 VERIFICA ALLO STATO LIMITE DI LIMITAZIONE DELLE TENSIONI – COMBINAZIONE FREQUENTE

La combinazione di carico maggiormente gravosa è risultata la combinazione **SLE-FR.77**.

L'azione normale di calcolo è assunta pari a $N_{sd} = 56,94$ kN.

Il momento flettente di calcolo è assunto pari a $M_{sd} = 120,44$ kNm.

The screenshot shows the 'Verifica C.A. S.L.U.' software interface. Key sections include:

- Materials:** B450C and C35/45. Properties for B450C: $\epsilon_{su} = 67,5$ ‰, $f_{yd} = 391,3$ N/mm², $E_s = 200.000$ N/mm², $\epsilon_{syd} = 1,957$ ‰, $\sigma_{s,adm} = 255$ N/mm². Properties for C35/45: $\epsilon_{c2} = 2$ ‰, $\epsilon_{cu} = 3,5$ ‰, $f_{cd} = 19,83$, $f_{cc}/f_{cd} = 0,8$, $\sigma_{c,adm} = 13,5$, $\tau_{co} = 0,8$, $\tau_{c1} = 2,257$.
- Section Properties:** $b = 100$ cm, $h = 25$ cm, $N^* = 2$ strati barre, $As = 38,01$ cm², $d = 18,3$ cm.
- Loads:** $N_{Ed} = 56,94$ kN, $M_{xEd} = 120,44$ kNm, $M_{yEd} = 0$.
- Calculation Method:** Metodo n.
- Results:** $\sigma_c = -14,14$ N/mm², $\sigma_s = 212,1$ N/mm², $\epsilon_s = 1,061$ ‰, $d = 18,3$ cm, $x = 9,151$, $x/d = 0,5001$, $\delta = 1$.
- Iteration:** N* iterazioni: 3.
- Buttons:** Verifica, Precompresso.

Le tensioni sui materiali risultano pari a:

$$\sigma_c = 14,14 \text{ N/mm}^2 > 0,45 f_{ck} = 16,81 \text{ N/mm}^2$$

$$\sigma_s = 212,10 \text{ N/mm}^2 < 0,80 f_{yk} = 360,00 \text{ N/mm}^2$$

La verifica risulta pertanto soddisfatta.

14.1.5 VERIFICA ALLO STATO LIMITE DI LIMITAZIONE DELLE TENSIONI – COMBINAZIONE CARATTERISTICA

La combinazione di carico maggiormente gravosa è risultata la combinazione **SLE-CAR.77**.
 L'azione normale di calcolo è assunta pari a $N_{sd} = 58,03$ kN.
 Il momento flettente di calcolo è assunto pari a $M_{sd} = 123,35$ kNm.

The screenshot shows the 'Verifica C.A. S.L.U.' software interface. It includes a menu bar (File, Materiali, Opzioni, Visualizza, Progetto Sez. Rett., Sismica, Normativa: NTC 2008), a title bar, and several data input and output sections.

Materiali:

Materiali	B450C	C35/45
ϵ_{su}	67,5 ‰	2 ‰
f_{yd}	391,3 N/mm ²	3,5 ‰
E_s	200.000 N/mm ²	f_{cd} 19,83
E_s/E_c	15	f_{cc}/f_{cd} 0,8
ϵ_{syd}	1,957 ‰	$\sigma_{c,adm}$ 13,5
$\sigma_{s,adm}$	255 N/mm ²	T_{co} 0,8
		T_{c1} 2,257

Geometric and Section Data:

N°	b [cm]	h [cm]	N°	As [cm ²]	d [cm]
1	100	25	1	38,01	6,7
			2	38,01	18,3

Load Application:

N° strati barre: 2

P.to applicazione N: Centro (selected), Baricentro cls

N_{Ed} : 58,03 kN
 M_{xEd} : 123,35 kNm
 M_{yEd} : 0

Calculation Results:

σ_c : -14,49 N/mm²
 σ_s : 217,3 N/mm²
 ϵ_s : 1,086 ‰
 d: 18,3 cm
 x: 9,15, x/d: 0,5
 δ : 1

Method of Calculation: Metodo n (selected)

Verification: Verifica button, N° iterazioni: 3, Precompresso checkbox.

Le tensioni sui materiali risultano pari a:
 $\sigma_c = 14,50$ N/mm² > $0,45 f_{ck} = 16,81$ N/mm²
 $\sigma_s = 217,30$ N/mm² < $0,80 f_{yk} = 360,00$ N/mm²

La verifica risulta pertanto non soddisfatta.

14.1.6 VERIFICA ALLO STATO LIMITE DI FESSURAZIONE

Per la verifica allo Stato Limite di fessurazione è stata utilizzata la procedura semplificata prevista dalla Circolare C.S.LL.PP. n.617 del 02.02.2009 – par. C4.1.2.2.4.6 – Tab. C4.1.II e C4.1.III. Le condizioni considerate sono riportate nella tabella seguente.

La verifica semplificata allo SL di fessurazione viene condotta secondo quanto previsto dalla Circolare C.S.LL.PP. n.617 del 02.02.2009, par. C4.1.2.2.4.6, tab. C4.1.II e C4.1.III.

TABELLA C4.1.II - Diametri massimi delle barre per il controllo di fessurazione			
Tensione nell'acciaio σ_s [N/mm ²]	Diametro massimo \varnothing delle barre [mm]		
	$w_3 = 0,40$ mm	$w_2 = 0,30$ mm	$w_1 = 0,20$ mm
160	40	32	25
200	32	25	16
240	20	16	12
280	16	12	8
320	12	10	6
360	10	8	0

TABELLA C4.1.III - Spaziatura massima delle barre per il controllo di fessurazione			
Tensione nell'acciaio σ_s [N/mm ²]	Spaziatura massima s delle barre delle barre [mm]		
	$w_3 = 0,40$ mm	$w_2 = 0,30$ mm	$w_1 = 0,20$ mm
160	300	300	200
200	300	250	150
240	250	200	100
280	200	150	50
320	150	100	0
360	100	50	0

CRITERI DI SCELTA DELLO STATO LIMITE DI FESSURAZIONE

I criteri di scelta dello Stato Limite di fessurazione sono definiti secondo quanto riportato dal D.M. 14.01.2008, par. 4.1.2.2.4.5, tab. 4.1.IV.

Condizioni ambientali: Armatura:

COMBINAZIONE ALLO S.L.E. QUASI PERMANENTE

Stato limite:		apertura fessure	
Ampiezza massima delle fessure:	$w_d \leq$	w1	
Tensione massima nell'acciaio calcolata:	$\sigma_{s,max}$	196,00	[N/mm ²]
Diametro massimo delle barre di armature poste in opera:	\varnothing_{max}	22	[mm]
Spaziatura massima delle barre di armatura poste in opera:	s_{max}	100,00	[mm]
Diametro massimo delle barre di armatura consentito:	\varnothing_{max}	16,00	[mm]
Spaziatura massima delle barre di armatura consentita:	s_{max}	150,00	[mm]

VERIFICA NEGATIVA - PROCEDERE CON LA VERIFICA ANALITICA

COMBINAZIONE ALLO S.L.E. FREQUENTE

Stato limite:		apertura fessure	
Ampiezza massima delle fessure:	$w_d \leq$	w2	
Tensione massima nell'acciaio calcolata:	$\sigma_{s,max}$	212,10	[N/mm ²]
Diametro massimo delle barre di armature poste in opera:	\varnothing_{max}	22	[mm]
Spaziatura massima delle barre di armatura poste in opera:	s_{max}	100,00	[mm]
Diametro massimo delle barre di armatura consentito:	\varnothing_{max}	16,00	[mm]
Spaziatura massima delle barre di armatura consentita:	s_{max}	200,00	[mm]

VERIFICA NEGATIVA - PROCEDERE CON LA VERIFICA ANALITICA

14.1.7 VERIFICA ALLO STATO LIMITE DI FESSURAZIONE – COMBINAZIONE QUASI PERMANENTE

Vista l'effettiva presenza di uno strato di rete elettrosaldata superiormente ed inferiormente, ai fini della verifica a fessurazione si tiene conto di quest'ultima.

VERIFICA ALLO STATO LIMITE DI APERTURA DELLE FESSURE										
H	25	cm	Armatura tesa nell'area di cls efficace:			Armatura compressa:				
b	100	cm	A_s	39,43	cm ²	A_s'	39,43	cm ²		
			$y_{G, A_s} (*)$	6,65	cm	$y_{G, A_s'} (*)$	18,35	cm		
$c_{f, \text{effettivo}}$	4	cm	(*) da lembo teso							
$c_{f, \text{norma}}$	4	cm	x (cm) (*)	n_{ferri}	Φ (mm)	x (cm) (*)	n_{ferri}	Φ (mm)		
d	18,35	cm	5,3	5	6	19,7	5	6		
			6,7	10	22	18,3	10	22		
R_{ck}	45	MPa								
f_{ctm}	3,42	MPa								
f_{ctk}	2,39	MPa								
E_s	210000	MPa								
n	15									
			Φ_{medio}	16,666667	mm	Φ_{staffe}	10	mm		
Sezione interam. reagente			Calcolo delle tensioni nella sezione fessurata							
y_G	12,50	cm	N	54,26	kN	carico assiale agente				
A_{ideale}	3683	cm ²	M	111,41	kN m	momento agente				
I_{ideale}	170690	cm ⁴	e	205,33	cm	eccentricità GRANDE ECCENTRICITÀ				
			en	3,71	cm	estremità nocciolo d'inerzia				
			d_G	12,50	cm	baricentro armature				
			u	192,83	cm	distanza centro di pressione - lembo compresso				
			p	-96974,13	cm ²					
			q	-11344925	cm ³					
			y_p	202,06	cm	distanza asse neutro - centro di pressione				
			y_c	9,23	cm	asse neutro				
			A^*	2106	cm ²	area ideale				
			S_n^*	393	cm ³	momento statico relativo all'asse neutro				
			I_n^*	79340,441	cm ⁴	momento d'inerzia relativo all'asse neutro				
			σ_c	12,75	MPa	massima tensione di compressione nel cls				
			σ_s	189,03	MPa	tensione di trazione nell'acciaio				
			Calcolo delle tensioni nella condizione di carico di prima fessurazione							
			N	54	kN	carico assiale agente				
			M_F	49	kN m	momento di prima fessurazione				
			e	89,67	cm	eccentricità GRANDE ECCENTRICITÀ				
			u	77,17	cm	distanza centro di pressione - lembo compresso				
			p	-11503,097	cm ²					
			q	-346132,1	cm ³					
			y_p	86,65	cm	distanza asse neutro - centro di pressione				
			y_c	9,48	cm	asse neutro				
			A^*	2131	cm ²	area ideale				
			S_n^*	919	cm ³	momento statico relativo all'asse neutro				
			I_n^*	79666,429	cm ⁴	momento d'inerzia relativo all'asse neutro				
			σ_{cr}	5,59	MPa	massima tensione di compressione nel cls				
			σ_{sr}	78,53	MPa	tensione di trazione nell'acciaio				
			β_1	1						
			β_2	0,5						
			k_1	0,8						
			k_2	0,5						
			k	-						
			h_A cls eff	16,62	cm					
			$A_{\text{cls eff}}$	1662,45	cm ²					
			ρ_r	0,0237						
			σ_s	189,03	MPa					
			σ_{sr}	78,53	MPa					
			ϵ_{sm}	0,00082						
			s_{rm}	120,3	mm					
			w_m	0,099	mm					
			β	1,7						
			χ	1						
			w_k	0,168	mm					
			w_k limite	0,2	mm					
			w_k	<	w_k limite					

14.1.8 VERIFICA ALLO STATO LIMITE DI FESSURAZIONE – COMBINAZIONE FREQUENTE

Vista l'effettiva presenza di uno strato di rete elettrosaldata superiormente ed inferiormente, ai fini della verifica a fessurazione si tiene conto di quest'ultima.

VERIFICA ALLO STATO LIMITE DI APERTURA DELLE FESSURE									
H	25	cm	Armatura tesa nell'area di cls efficace:			Armatura compressa:			
b	100	cm	A_s	39,43	cm ²	A_s'	39,43	cm ²	
			$y_{G, A_s} (*)$	6,65	cm	$y_{G, A_s'} (*)$	18,35	cm	
$c_{f, \text{effettivo}}$	4	cm	(*) da lembo teso						
$c_{f, \text{norma}}$	4	cm	x (cm) (*)	n_{ferri}	Φ (mm)	x (cm) (*)	n_{ferri}	Φ (mm)	
d	18,35	cm	5,3	5	6	19,7	5	6	
			6,7	10	22	18,3	10	22	
R_{ck}	45	MPa							
f_{ctm}	3,42	MPa							
f_{ctk}	2,39	MPa							
E_s	210000	MPa							
n	15								
			Φ_{medio}	16,666667	mm	Φ_{staffe}	10	mm	
Sezione interam. reagente			Calcolo delle tensioni nella sezione fessurata						
y_G	12,50	cm	N	56,94	kN	carico assiale agente			
A_{ideale}	3683	cm ²	M	120,44	kN m	momento agente			
I_{ideale}	170690	cm ⁴	e	211,52	cm	eccentricità GRANDE ECCENTRICITÀ			
Fessurazione indotta da:			en	3,71	cm	estremità nocciolo d'inerzia			
<input type="text" value="carichi"/>			d _G	12,50	cm	baricentro armature			
Caratteristiche ambiente:			u	199,02	cm	distanza centro di pressione - lembo compresso			
<input type="text" value="molto o moderatamente aggressivo"/>			p	-103816,62	cm ²				
β_1	1		q	-12588524	cm ³				
β_2	0,5		y_p	208,25	cm	distanza asse neutro - centro di pressione			
k_1	0,8		y_c	9,22	cm	asse neutro			
k_2	0,5		A^*	2105	cm ²	area ideale			
k	-		S_n^*	381	cm ³	momento statico relativo all'asse neutro			
$h_{A, \text{cls eff}}$	16,62	cm	I_n^*	79336,145	cm ⁴	momento d'inerzia relativo all'asse neutro			
$A_{\text{cls eff}}$	1662,45	cm ²	σ_c	13,79	MPa	massima tensione di compressione nel cls			
ρ_r	0,0237		σ_s	204,58	MPa	tensione di trazione nell'acciaio			
σ_s	204,58	MPa	Calcolo delle tensioni nella condizione di carico di prima fessurazione						
σ_{sr}	78,36	MPa	N	57	kN	carico assiale agente			
ϵ_{sm}	0,0009		M_F	49	kN m	momento di prima fessurazione			
s_{rm}	120,3	mm	e	85,63	cm	eccentricità GRANDE ECCENTRICITÀ			
w_m	0,109	mm	u	73,13	cm	distanza centro di pressione - lembo compresso			
β	1,7		p	-9965,8412	cm ²				
χ	1		q	-259332,09	cm ³				
w_k	0,185	mm	y_p	82,63	cm	distanza asse neutro - centro di pressione			
$w_k \text{ limite}$	0,3	mm	y_c	9,50	cm	asse neutro			
w_k	<	$w_k \text{ limite}$	A^*	2133	cm ²	area ideale			
			S_n^*	965	cm ³	momento statico relativo all'asse neutro			
			I_n^*	79706,437	cm ⁴	momento d'inerzia relativo all'asse neutro			
			σ_{cr}	5,61	MPa	massima tensione di compressione nel cls			
			σ_{sr}	78,36	MPa	tensione di trazione nell'acciaio			

14.1.9 VERIFICA ALLO STATO LIMITE ULTIMO PER PRESSOFLESSIONE

La combinazione di carico maggiormente gravosa è risultata la combinazione **STR.77**.

L'azione normale di calcolo è assunta pari a **$N_{sd} = 86,20$ kN**.

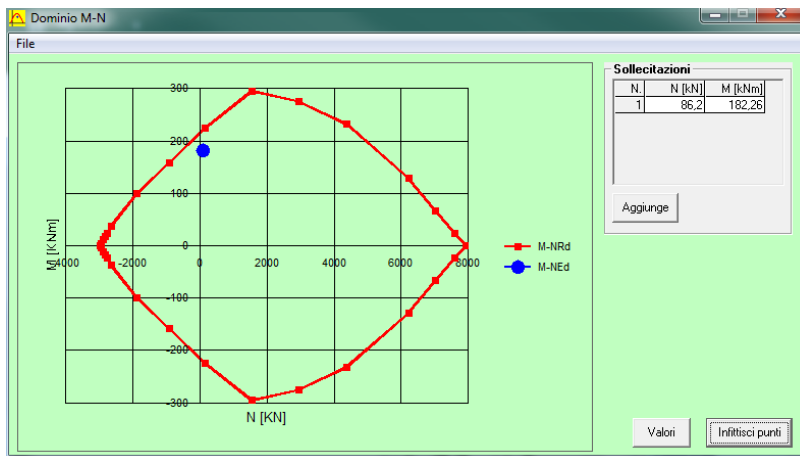
Il momento flettente di calcolo è assunto pari a **$M_{sd} = 182,26$ kN/m**.

The screenshot shows the 'Verifica C.A. S.L.U.' software interface. It includes a menu bar (File, Materiali, Opzioni, Visualizza, Progetto Sez. Rett., Sismica, Normativa: NTC 2008), a title bar, and several data input fields. The 'Sollecitazioni' section shows $N_{Ed} = 86,20$ kN and $M_{xEd} = 182,26$ kNm. The 'Materiali' section lists B450C and C35/45 with their respective properties. The 'Metodo di calcolo' is set to S.L.U. + Metodo n. The 'Tipo flessione' is set to Retta. The 'Lato calcestruzzo - Acciaio snervato' section shows $M_{xRd} = 220,7$ kNm. The 'Tipo Sezione' is set to Rettan.re. The 'P.to applicazione N' is set to Centro. The 'Tipo rottura' is set to Lato calcestruzzo - Acciaio snervato. The 'N° strati barre' is set to 2. The 'N° rett.' is set to 100. The 'Col. modello' is set to 0. The 'Precompresso' checkbox is unchecked.

Il momento resistente risulta pari a:

$$M_{Rd} = 220,70 \text{ kN/m} > M_{sd} = 182,26 \text{ kN/m}$$

Nell'immagine successiva è riportato il dominio di resistenza della sezione:



La verifica risulta pertanto soddisfatta.

14.1.10 VERIFICA ALLO STATO LIMITE ULTIMO PER TAGLIO

La combinazione di carico maggiormente gravosa è risultata la combinazione **STR.36**.

L'azione tagliante di calcolo è assunta pari a $V_{S,d} = 460,72$ kN.

A favore di sicurezza non viene considerato il contributo dell'azione normale.

Per la verifica a taglio a favore di sicurezza si considerano n°4 braccia.

CARATTERISTICHE GEOMETRICHE DELLA SEZIONE			
Base della sezione trasversale:	b	100,00	[cm]
Altezza della sezione trasversale:	h	25,00	[cm]
Copriferro netto:	c	4,00	[cm]
Altezza utile della sezione:	d	21,00	[cm]

CARATTERISTICHE DEI MATERIALI			
Classe di resistenza del calcestruzzo:		C35/45	
Resistenza caratteristica cubica a compressione:	R_{ck}	45,00	[N/mm ²]
Resistenza caratteristica cilindrica a compressione:	f_{ck}	37,35	[N/mm ²]
Resistenza di calcolo a compressione:	f_{cd}	21,17	[N/mm ²]
Tipologia dell'acciaio da armatura:		B450C	
Tensione caratteristica di rottura:	f_{tk}	540,00	[N/mm ²]
Tensione caratteristica di snervamento:	f_{yk}	450,00	[N/mm ²]
Resistenza di calcolo:	f_{yd}	391,30	[N/mm ²]

AZIONI SOLLECITANTI DI CALCOLO			
Azione tagliante di calcolo:	$V_{S,d}$	460,72	[kN]
Azione normale di calcolo:	$N_{S,d}$	0,00	[kN]

ARMATURA TRASVERSALE			
Inclinazione dei puntoni di calcestruzzo:	θ	45,00	[°]
Cotangente dell'angolo θ :	$\cot(\theta)$	1,00	
Inclinazione dell'armatura trasversale rispetto all'asse della trave:	α	90,00	[°]
Numero di bracci dell'armatura trasversale:	n	4,00	
Passo longitudinale delle armature trasversali:	s	5,00	[cm]
Diametro dell'armatura trasversale:	\varnothing_{trav}	10,00	[mm]
Area della singola barra:	A_{barra}	0,79	[cm ²]
Area totale dell'armatura trasversale:	A_{tot}	63,20	[cm ² /m]

VERIFICA ALLO S.L.U. PER TAGLIO			
La verifica allo S.L.U. per taglio viene condotta secondo quanto previsto dal D.M. 14.01.2008, par.4.1.2.1.3.2			
La resistenza di calcolo a "taglio trazione" viene valutata mediante la seguente relazione:			
$V_{Rsd} = 0,9 \cdot d \cdot \frac{A_{sw}}{s} \cdot f_{yd} \cdot [\cot(\alpha) + \cot(\theta)] \cdot \sin(\alpha)$			
La resistenza di calcolo a "taglio compressione" viene valutata mediante la seguente relazione:			
$V_{Rcd} = 0,9 \cdot d \cdot b_w \cdot \alpha_c \cdot f_{cd} \cdot \frac{[\cot(\alpha) + \cot(\theta)]}{[1 + \cot^2(\theta)]}$			
Larghezza minima della sezione:	b_w	100,00	[cm]
Resistenza a compressione ridotta del calcestruzzo:	f_{yd}	10,58	[N/mm ²]
Tensione media di compressione nella sezione:	σ_{cp}	0,000	[N/mm ²]
Coefficiente maggiorativo α_c :	α_c	1,0000	
RESISTENZA DI CALCOLO A "TAGLIO TRAZIONE"	V_{Rsd}	467,41	[kN]
RESISTENZA DI CALCOLO A "TAGLIO COMPRESSIONE"	V_{Rcd}	1.000,05	[kN]
AZIONE TAGLIANTE RESISTENTE DELLA SEZIONE:	$V_{R,d}$	467,41	[kN]
COEFFICIENTE DI SICUREZZA:	$F_s = V_{R,d} / V_{S,d}$	1,01	

LA VERIFICA RISULTA POSITIVA

14.2 VERIFICHE DEI RITTI

Poiché i ritti sono armati in maniera costante, doppia e simmetrica lungo tutto il loro sviluppo, le verifiche verranno eseguite in corrispondenza delle sezioni maggiormente sollecitate.

14.2.1 DEFINIZIONE DELLE AZIONI SOLLECITANTI DI CALCOLO

Nella tabella successiva sono riportati i valori delle azioni sollecitanti maggiormente gravose per le differenti combinazioni di carico considerate.

Sono state prese in esame le seguenti combinazioni delle azioni sollecitanti:

- N_{max}
- N_{min}
- M_{max}
- M_{min}
- V_{max}
- V_{min}

GRUPPO DI COMBINAZIONI	CONDIZIONE	ELEMENTO	COMBINAZIONE E	N_{Sd} [kN]	V_{Sd} [kN]	M_{Sd} [kNm]
SLE QUASI PERMANENTE	N_{max}	P.DX.-1	QP.11	-318,40	-33,06	-73,69
	N_{min}	P.SX.-5	QP.12	-292,72	-59,79	76,22
	M_{max}	P.SX.-1	QP.11	-302,10	91,29	97,46
	M_{min}	P.DX.-5	QP.12	-309,03	63,98	-98,38
	V_{max}	P.SX.-1	QP.11	-302,10	91,29	97,46
SLE FREQUENTE	N_{max}	P.DX.-1	FR.35	-343,02	-31,87	-78,12
	N_{min}	P.SX.-1	FR.59	-291,37	95,25	96,43
	M_{max}	P.SX.-1	FR.83	-324,19	97,25	105,61
	M_{min}	P.DX.-5	FR.36	-333,65	67,91	-106,65
	V_{max}	P.SX.-1	FR.11	-310,12	99,00	101,78
SLE CARATTERISTICA	N_{max}	P.DX.-1	CAR.33	-351,23	-30,25	-76,97
	N_{min}	P.SX.-5	CAR.250	-300,74	-64,38	76,70
	M_{max}	P.SX.-1	CAR.83	-331,56	100,44	108,80
	M_{min}	P.DX.-5	CAR.36	-341,86	69,13	-109,34
	V_{max}	P.SX.-1	CAR.299	-310,12	102,26	104,25
GRUPPO DI COMBINAZIONI	CONDIZIONE	ELEMENTO	COMBINAZIONE E	N_{Sd} [kN]	V_{Sd} [kN]	M_{Sd} [kNm]
SLU - STR	N_{max}	P.DX.-1	STR.35	-519,06	-47,15	-117,73
	N_{min}	P.SX.-5	STR.105	-448,53	-91,15	110,80
	M_{max}	P.SX.-1	STR.83	-490,16	147,25	159,88
	M_{min}	P.DX.-5	STR.36	-506,40	102,10	-160,97
	V_{max}	P.SX.-1	STR.11	-464,82	149,90	153,01
SLU - SISMA	N_{max}	P.DX.-1	SISMA-11	-334,98	-7,72	-56,01
	N_{min}	P.SX.-5	SISMA-10	-276,15	-38,72	55,49
	M_{max}	P.SX.-1	SISMA-11	-285,52	119,16	115,15
	M_{min}	P.DX.-5	SISMA-12	-325,61	88,72	-118,25
	V_{max}	P.SX.-1	SISMA-11	-285,52	119,16	115,15

Con:

- N_{max} sono indicate le azioni normali di compressione massime.
- N_{min} sono indicate le azioni normali di compressione minime o di trazione.

14.2.2 SEZIONE ED ARMATURA DI VERIFICA

La sezione di verifica è rettangolare con base pari a 100 cm e altezza pari a 25.

L'armatura verticale (armatura di forza) è prevista come segue:

- Rete Ø6/20x20 esterna
- 10Ø22 esterni
- 10Ø22 interni
- Rete Ø6/20x20 interna
- Verranno disposte a taglio staffe doppie Ø10/5.

Il copriferro netto minimo è assunto pari a 40 mm

14.2.3 VERIFICA ALLO STATO LIMITE DI LIMITAZIONE DELLE TENSIONI – COMBINAZIONE QUASI PERMANENTE

La combinazione di carico maggiormente gravosa è risultata la combinazione **SLE-QP.11**

L'azione normale di calcolo è assunta pari a **N_{sd} = 309,03 kN**.

Il momento flettente di calcolo è assunto pari a **M_{sd} = -98,38 kNm**.

The screenshot shows the 'Verifica C.A. S.L.U.' software interface. Key sections include:

- Titolo:** Empty field.
- Tipo Sezione:** Radio buttons for 'Rettan.re' (selected), 'Trapezi', 'a T', 'Circolare', 'Rettangoli', and 'Coord.'.
- Geometric Data:**

N°	b [cm]	h [cm]	N°	As [cm²]	d [cm]
1	100	25	1	38,01	6,7
			2	38,01	18,3
- Sollecitazioni:**

N _{Ed}	0	309,03 kN
M _{xEd}	0	-98,38 kNm
M _{yEd}	0	0
- P.to applicazione N:** Radio buttons for 'Centro' (selected), 'Baricentro cls', and 'Coord.[cm]'. xN and yN are 0.
- Materiali:**
 - B450C: ϵ_{su} 67,5‰, f_{yd} 391,3 N/mm², E_s 200.000 N/mm², E_s/E_c 15, ϵ_{syd} 1,957‰, $\sigma_{s,adm}$ 255 N/mm².
 - C35/45: ϵ_{c2} 2‰, ϵ_{cu} 3,5‰, f_{cd} 19,83, $\sigma_{c,adm}$ 13,5, T_{co} 0,8, T_{c1} 2,257.
- Calculated Values:**
 - σ_c -11,72 N/mm²
 - σ_s 137,8 N/mm²
 - ϵ_s 0,6888‰
 - d 18,3 cm
 - x 10,26, x/d 0,5606
 - δ 1
- Method of Calculation:** Radio buttons for 'S.L.U.+', 'S.L.U.-', and 'Metodo n' (selected).
- Buttons:** 'Verifica', 'Precompresso' (unchecked), and 'N° iterazioni: 3'.

Le tensioni sui materiali risultano pari a:

$$\sigma_c = 11,72 \text{ N/mm}^2 < 0,45 f_{ck} = 16,81 \text{ N/mm}^2$$

$$\sigma_s = 137,80 \text{ N/mm}^2 < 0,80 f_{yk} = 360,00 \text{ N/mm}^2$$

La verifica risulta pertanto soddisfatta.

14.2.4 VERIFICA ALLO STATO LIMITE DI LIMITAZIONE DELLE TENSIONI – COMBINAZIONE FREQUENTE

La combinazione di carico maggiormente gravosa è risultata la combinazione **SLE-FR.83**.

L'azione normale di calcolo è assunta pari a $N_{sd} = 333,65$ kN.

Il momento flettente di calcolo è assunto pari a $M_{sd} = -106,65$ kNm.

The screenshot shows the 'Verifica C.A. S.L.U.' software interface. It includes a menu bar (File, Materiali, Opzioni, Visualizza, Progetto Sez. Rett., Sismica, Normativa: NTC 2008), a toolbar, and several data input sections:

- Titolo:** [Empty field]
- N° strati barre:** 2
- Table 1:**

N°	b [cm]	h [cm]
1	100	25
- Table 2:**

N°	As [cm²]	d [cm]
1	38,01	6,7
2	38,01	18,3
- Sollecitazioni:**
 - S.L.U. / Metodo n
 - N_{Ed} : 0
 - M_{xEd} : 0
 - M_{yEd} : 0
 - Applied values: 333,65 kN, -106,65 kNm, 0
- P.to applicazione N:**
 - Centro (selected), Baricentro cls, Coord.[cm]
 - xN: 0, yN: 0
- Materiali:**
 - B450C: ϵ_{su} 67,5%, f_{yd} 391,3 N/mm², E_s 200.000 N/mm², E_s/E_c 15, ϵ_{syd} 1,957%, $\sigma_{s,adm}$ 255 N/mm²
 - C35/45: ϵ_{c2} 2%, ϵ_{cu} 3,5, f_{cd} 19,83, f_{cc}/f_{cd} 0,8, $\sigma_{c,adm}$ 13,5, T_{co} 0,8, T_{c1} 2,257
- Other parameters:**
 - σ_c : -12,7 N/mm²
 - σ_s : 149,5 N/mm²
 - ϵ_s : 0,7476%
 - d: 18,3 cm
 - x: 10,25, x/d: 0,5603, δ : 1
- Metodo di calcolo:** S.L.U.+, S.L.U.-, Metodo n (selected)
- Verifica:** N° iterazioni: 3
- Precompresso:** [Unselected checkbox]

Le tensioni sui materiali risultano pari a:

$$\sigma_c = 12,70 \text{ N/mm}^2 < 0,45 f_{ck} = 16,81 \text{ N/mm}^2$$

$$\sigma_s = 149,50 \text{ N/mm}^2 < 0,80 f_{yk} = 360,00 \text{ N/mm}^2$$

La verifica risulta pertanto soddisfatta.

14.2.5 VERIFICA ALLO STATO LIMITE DI LIMITAZIONE DELLE TENSIONI – COMBINAZIONE CARATTERISTICA

La combinazione di carico maggiormente gravosa è risultata la combinazione **SLE-CAR.36**

L'azione normale di calcolo è assunta pari a **$N_{sd} = 341,86$ kN**.

Il momento flettente di calcolo è assunto pari a **$M_{sd} = -109,34$ kNm**.

The screenshot shows the 'Verifica C.A. S.L.U.' software interface. It includes a menu bar (File, Materiali, Opzioni, Visualizza, Progetto Sez. Rett., Sismica, Normativa: NTC 2008), a toolbar, and several data input/output sections.

Titolo: [Empty field]

N° strati barre: 2

N°	b [cm]	h [cm]	N°	As [cm²]	d [cm]
1	100	25	1	38,01	6,7
			2	38,01	18,3

Sollecitazioni S.L.U. Metodo n

N_{Ed} : 0 341,86 kN
 M_{xEd} : 0 -109,345 kNm
 M_{yEd} : 0 0

P.to applicazione N

Centro Baricentro cls
 Coord.[cm] xN: 0 yN: 0

Metodo di calcolo

S.L.U. + S.L.U. -
 Metodo n

Materiali

Materiali	B450C	C35/45
ϵ_{su}	67,5 ‰	2 ‰
f_{yd}	391,3 N/mm²	3,5 ‰
E_s	200.000 N/mm²	f_{cd} 19,83
E_s/E_c	15	f_{cc}/f_{cd} 0,8
ϵ_{syd}	1,957 ‰	$\sigma_{c,adm}$ 13,5
$\sigma_{s,adm}$	255 N/mm²	T_{co} 0,8
		T_{c1} 2,257

σ_c : -13,02 N/mm²
 σ_s : 153,3 N/mm²

ϵ_s : 0,7667 ‰
 d: 18,3 cm
 x: 10,25 x/d: 0,5602
 δ : 1

Verifica N° iterazioni: 3

Precompresso

Le tensioni sui materiali risultano pari a:

$$\sigma_c = 13,02 \text{ N/mm}^2 < 0,45 f_{ck} = 16,81 \text{ N/mm}^2$$

$$\sigma_s = 153,30 \text{ N/mm}^2 < 0,80 f_{yk} = 360,00 \text{ N/mm}^2$$

La verifica risulta pertanto soddisfatta.

14.2.6 VERIFICA ALLO STATO LIMITE DI FESSURAZIONE

Per la verifica allo Stato Limite di fessurazione è stata utilizzata la procedura semplificata prevista dalla Circolare C.S.LL.PP. n.617 del 02.02.2009 – par. C4.1.2.2.4.6 – Tab. C4.1.II e C4.1.III.

Le condizioni considerate sono riportate nella tabella seguente.

La verifica semplificata allo SL di fessurazione viene condotta secondo quanto previsto dalla Circolare C.S.LL.PP. n.617 del 02.02.2009, par. C4.1.2.2.4.6, tab. C4.1.II e C4.1.III.

TABELLA C4.1.II - Diametri massimi delle barre per il controllo di fessurazione			
Tensione nell'acciaio σ_s [N/mm ²]	Diametro massimo \varnothing delle barre [mm]		
	$w_3 = 0,40$ mm	$w_2 = 0,30$ mm	$w_1 = 0,20$ mm
160	40	32	25
200	32	25	16
240	20	16	12
280	16	12	8
320	12	10	6
360	10	8	0

TABELLA C4.1.III - Spaziatura massima delle barre per il controllo di fessurazione			
Tensione nell'acciaio σ_s [N/mm ²]	Spaziatura massima s delle barre delle barre [mm]		
	$w_3 = 0,40$ mm	$w_2 = 0,30$ mm	$w_1 = 0,20$ mm
160	300	300	200
200	300	250	150
240	250	200	100
280	200	150	50
320	150	100	0
360	100	50	0

CRITERI DI SCELTA DELLO STATO LIMITE DI FESSURAZIONE

I criteri di scelta dello Stato Limite di fessurazione sono definiti secondo quanto riportato dal D.M. 14.01.2008, par. 4.1.2.2.4.5, tab. 4.1.IV.

Condizioni ambientali: Armatura:

COMBINAZIONE ALLO S.L.E. QUASI PERMANENTE

Stato limite:	apertura fessure	
Ampiezza massima delle fessure:	$w_d \leq$	w_1
Tensione massima nell'acciaio calcolata:	$\sigma_{s,max}$	137,80 [N/mm ²]
Diametro massimo delle barre di armature poste in opera:	\varnothing_{max}	22 [mm]
Spaziatura massima delle barre di armatura poste in opera:	s_{max}	100,00 [mm]
Diametro massimo delle barre di armatura consentito:	\varnothing_{max}	25,00 [mm]
Spaziatura massima delle barre di armatura consentita:	s_{max}	200,00 [mm]

VERIFICA POSITIVA

COMBINAZIONE ALLO S.L.E. FREQUENTE

Stato limite:	apertura fessure	
Ampiezza massima delle fessure:	$w_d \leq$	w_2
Tensione massima nell'acciaio calcolata:	$\sigma_{s,max}$	149,50 [N/mm ²]
Diametro massimo delle barre di armature poste in opera:	\varnothing_{max}	22 [mm]
Spaziatura massima delle barre di armatura poste in opera:	s_{max}	100,00 [mm]
Diametro massimo delle barre di armatura consentito:	\varnothing_{max}	32,00 [mm]
Spaziatura massima delle barre di armatura consentita:	s_{max}	300,00 [mm]

VERIFICA POSITIVA

14.2.7 VERIFICA ALLO STATO LIMITE ULTIMO PER PRESSOFLESSIONE

La combinazione di carico maggiormente gravosa è risultata la combinazione **STR.36**.

L'azione normale di calcolo è assunta pari a $N_{sd} = 506,40$ kN.

Il momento flettente di calcolo è assunto pari a $M_{sd} = -160,97$ kN/m.

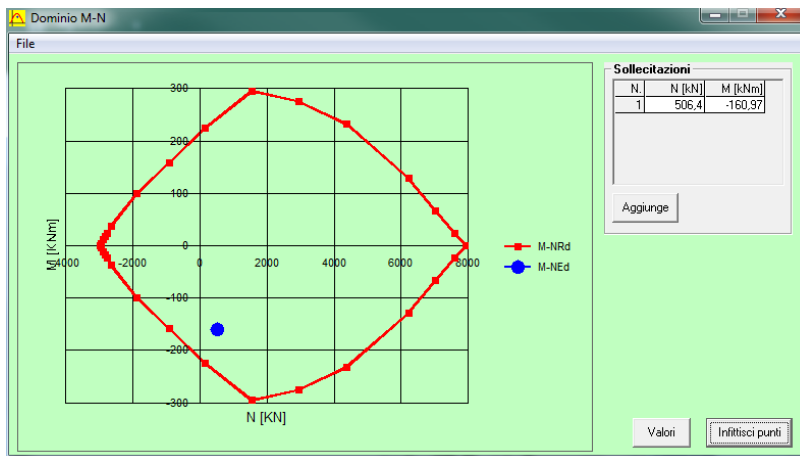
The screenshot shows the 'Verifica C.A. S.L.U.' software interface. Key parameters include:

- Section Properties:** N° strati barre = 2. Table with columns N°, b [cm], h [cm], N°, As [cm²], d [cm].
- Applied Forces:** N Ed = 506,40 kN; M xEd = -160,97 kNm; M yEd = 0.
- Materials:** B450C (steel) and C35/45 (concrete). Properties like ϵ_{su} , f_{yd} , E_s , E_s/E_c , ϵ_{syd} , $\sigma_{s,adm}$ are listed.
- Design Parameters:** $\sigma_c = -19,83$ N/mm²; $\sigma_s = 391,3$ N/mm²; $\epsilon_c = 3,5$ ‰; $\epsilon_s = 3,894$ ‰; $d = 18,3$ cm; $x = 8,663$; $x/d = 0,4734$.
- Calculation Method:** S.L.U. - Metodo n.

Il momento resistente risulta pari a:

$$M_{Rd} = -245,00 \text{ kN/m} > M_{sd} = -160,97 \text{ kN/m}$$

Nell'immagine successiva è riportato il dominio di resistenza della sezione:



La verifica risulta pertanto soddisfatta.

14.2.8 VERIFICA ALLO STATO LIMITE ULTIMO PER TAGLIO

La combinazione di carico maggiormente gravosa è risultata la combinazione **STR.11**.

L'azione tagliante di calcolo è assunta pari a **V_{S,d} = 149,90 kN**.

A favore di sicurezza non viene considerato il contributo dell'azione normale.

Per la verifica a taglio a favore di sicurezza si considerano n°4 braccia.

CARATTERISTICHE GEOMETRICHE DELLA SEZIONE

Base della sezione trasversale:	b	100,00	[cm]
Altezza della sezione trasversale:	h	25,00	[cm]
Copriferro netto:	c	4,00	[cm]
Altezza utile della sezione:	d	21,00	[cm]

CARATTERISTICHE DEI MATERIALI

Classe di resistenza del calcestruzzo:		C35/45	
Resistenza caratteristica cubica a compressione:	R _{ck}	45,00	[N/mm ²]
Resistenza caratteristica cilindrica a compressione:	f _{ck}	37,35	[N/mm ²]
Resistenza di calcolo a compressione:	f _{cd}	21,17	[N/mm ²]
Tipologia dell'acciaio da armatura:		B450C	
Tensione caratteristica di rottura:	f _{tk}	540,00	[N/mm ²]
Tensione caratteristica di snervamento:	f _{yk}	450,00	[N/mm ²]
Resistenza di calcolo:	f _{yd}	391,30	[N/mm ²]

AZIONI SOLLECITANTI DI CALCOLO

Azione tagliante di calcolo:	V _{S,d}	149,90	[kN]
Azione normale di calcolo:	N _{S,d}	0,00	[kN]

ARMATURA TRASVERSALE

Inclinazione dei puntoni di calcestruzzo:	θ	45,00	[°]
Cotangente dell'angolo θ:	cot(θ)	1,00	
Inclinazione dell'armatura trasversale rispetto all'asse della trave:	α	90,00	[°]
Numero di bracci dell'armatura trasversale:	n	4,00	
Passo longitudinale delle armature trasversali:	s	5,00	[cm]
Diametro dell'armatura trasversale:	Ø _{trav}	10,00	[mm]
Area della singola barra:	A _{barra}	0,79	[cm ²]
Area totale dell'armatura trasversale:	A _{tot}	63,20	[cm ² /m]

VERIFICA ALLO S.L.U. PER TAGLIO

La verifica allo S.L.U. per taglio viene condotta secondo quanto previsto dal D.M. 14.01.2008, par.4.1.2.1.3.2
La resistenza di calcolo a "taglio trazione" viene valutata mediante la seguente relazione:

$$V_{Rsd} = 0,9 \cdot d \cdot \frac{A_{sw}}{s} \cdot f_{yd} \cdot [\cot(\alpha) + \cot(\theta)] \cdot \sin(\alpha)$$

La resistenza di calcolo a "taglio compressione" viene valutata mediante la seguente relazione:

$$V_{Rcd} = 0,9 \cdot d \cdot b_w \cdot \alpha_c \cdot f_{cd} \cdot \frac{[\cot(\alpha) + \cot(\theta)]}{[1 + \cot^2(\theta)]}$$

Larghezza minima della sezione:	b _w	100,00	[cm]
Resistenza a compressione ridotta del calcestruzzo:	f _{yd}	10,58	[N/mm ²]
Tensione media di compressione nella sezione:	σ _{cp}	0,000	[N/mm ²]
Coefficiente maggiorativo α _c :	α _c	1,0000	

RESISTENZA DI CALCOLO A "TAGLIO TRAZIONE"	V _{Rsd}	467,41	[kN]
RESISTENZA DI CALCOLO A "TAGLIO COMPRESSIONE"	V _{Rcd}	1.000,05	[kN]

AZIONE TAGLIANTE RESISTENTE DELLA SEZIONE:	V _{R,d}	467,41	[kN]
COEFFICIENTE DI SICUREZZA:	F _s =V _{R,d} /V _{S,d}	3,12	

LA VERIFICA RISULTA POSITIVA

14.3 VERIFICHE SOLETTA INFERIORE

Poiché la soletta è armata in maniera costante, doppia e simmetrica lungo tutto il suo sviluppo, le verifiche verranno eseguite in corrispondenza delle sezioni maggiormente sollecitate.

14.3.1 DEFINIZIONE DELLE AZIONI SOLLECITANTI DI CALCOLO

Nella tabella successiva sono riportati i valori delle azioni sollecitanti maggiormente gravose per le differenti combinazioni di carico considerate.

Sono state prese in esame le seguenti combinazioni delle azioni sollecitanti:

- N_{max}
- N_{min}
- M_{max}
- M_{min}
- V_{max}
- V_{min}

GRUPPO DI COMBINAZIONI	CONDIZIONE	ELEMENTO	COMBINAZIONE E	N_{Sd} [kN]	V_{Sd} [kN]	M_{Sd} [kNm]
SLE QUASI PERMANENTE	N_{max}	S.I.-1	QP.11	-99,98	263,27	76,84
	N_{min}	S.I.-7	QP.10	-41,99	-262,96	40,33
	M_{max}	S.I.-1	QP.11	-99,98	263,27	76,84
	M_{min}	S.I.-5	QP.10	-59,97	-68,12	-119,81
	V_{max}	S.I.-1	QP.11	-99,98	264,95	6,10
SLE FREQUENTE	N_{max}	S.I.-1	FR.11	-107,92	271,15	81,19
	N_{min}	S.I.-7	FR.82	-39,22	-282,20	42,08
	M_{max}	S.I.-1	FR.35	-107,80	283,06	83,46
	M_{min}	S.I.-5	FR.82	-59,90	-73,19	-129,30
	V_{max}	S.I.-1	FR.87	-92,81	286,22	-8,76
SLE CARATTERISTICA	N_{max}	S.I.-1	CAR.11	-111,22	273,79	83,22
	N_{min}	S.I.-7	CAR.370	-35,96	-282,10	39,21
	M_{max}	S.I.-1	CAR.323	-111,06	283,17	86,32
	M_{min}	S.I.-5	CAR.82	-60,05	-74,37	-132,94
	V_{max}	S.I.-1	CAR.87	-95,50	292,84	-8,46
GRUPPO DI COMBINAZIONI	CONDIZIONE	ELEMENTO	COMBINAZIONE E	N_{Sd} [kN]	V_{Sd} [kN]	M_{Sd} [kNm]
SLU - STR	N_{max}	S.I.-1	STR.11	-163,14	406,66	122,31
	N_{min}	S.I.-7	STR.370	-54,85	-417,76	59,74
	M_{max}	S.I.-1	STR.35	-162,92	428,10	126,39
	M_{min}	S.I.-5	STR.82	-89,48	-110,03	-195,55
	V_{max}	S.I.-1	STR.87	-139,99	432,60	-13,38
SLU - SISMA	N_{max}	S.I.-1	SISMA-11	-124,61	261,73	28,56
	N_{min}	S.I.-7	SISMA-10	-20,32	-267,86	-52,45
	M_{max}	S.I.-1	SISMA-11	-124,45	260,06	98,44
	M_{min}	S.I.-5	SISMA-10	-53,65	-41,77	-125,54
	V_{max}	S.I.-7	SISMA-3	-67,49	-268,19	-29,87

Con:

- N_{max} sono indicate le azioni normali di compressione massime.
- N_{min} sono indicate le azioni normali di compressione minime o di trazione.

14.3.2 SEZIONE ED ARMATURA DI VERIFICA

La sezione di verifica è rettangolare con base pari a 100 cm e altezza pari a 25.

L'armatura orizzontale (armatura di forza) è prevista come segue:

- Rete Ø6/20x20 esterna
- 10Ø22 esterni
- 10Ø22 interni
- Rete Ø6/20x20 interna
- Verranno disposte a taglio staffe doppie Ø10/5.

Il copriferro netto minimo è assunto pari a 40 mm

14.3.3 VERIFICA ALLO STATO LIMITE DI LIMITAZIONE DELLE TENSIONI – COMBINAZIONE QUASI PERMANENTE

La combinazione di carico maggiormente gravosa è risultata la combinazione **SLE-QP.10**

L'azione normale di calcolo è assunta pari a $N_{sd} = 59,97$ kN.

Il momento flettente di calcolo è assunto pari a $M_{sd} = -119,81$ kNm.

The screenshot shows the 'Verifica C.A. S.L.U.' software interface. Key sections include:

- Titolo:** Empty field.
- N° strati barre:** 2
- Table 1:**

N°	b [cm]	h [cm]
1	100	25
- Table 2:**

N°	As [cm²]	d [cm]
1	38,01	6,7
2	38,01	18,3
- Sollecitazioni:**
 - S.L.U. / Metodo n
 - N_{Ed} : 0
 - M_{xEd} : 0
 - M_{yEd} : 0
 - 59,97 kN
 - 119,81 kNm
 - 0
- P.to applicazione N:**
 - Centro / Baricentro cls
 - Coord. [cm]: xN=0, yN=0
- Metodo di calcolo:** S.L.U. + / S.L.U. - / Metodo n
- Materiali:**
 - B450C / C35/45
 - ϵ_{su} : 67,5 ‰
 - f_{yd} : 391,3 N/mm²
 - E_s : 200.000 N/mm²
 - E_s/E_c : 15
 - ϵ_{syd} : 1.957 ‰
 - $\sigma_{s,adm}$: 255 N/mm²
 - ϵ_{c2} : 2 ‰
 - ϵ_{cu} : 3,5 ‰
 - f_{cd} : 19,83
 - f_{cc}/f_{cd} : 0,8
 - $\sigma_{c,adm}$: 13,5
 - T_{co} : 0,8
 - T_{c1} : 2,257
- Results:**
 - σ_c : -14,07 N/mm²
 - σ_s : 210,5 N/mm²
 - ϵ_s : 1,053 ‰
 - d: 18,3 cm
 - x: 9,162 x/d: 0,5006
 - δ : 1
- Buttons:** Verifica, N° iterazioni: 3, Precompresso

Le tensioni sui materiali risultano pari a:

$$\sigma_c = 14,07 \text{ N/mm}^2 < 0,45 f_{ck} = 16,81 \text{ N/mm}^2$$

$$\sigma_s = 210,50 \text{ N/mm}^2 < 0,80 f_{yk} = 360,00 \text{ N/mm}^2$$

La verifica risulta pertanto soddisfatta.

14.3.4 VERIFICA ALLO STATO LIMITE DI LIMITAZIONE DELLE TENSIONI – COMBINAZIONE FREQUENTE

La combinazione di carico maggiormente gravosa è risultata la combinazione **SLE-FR.82**.

L'azione normale di calcolo è assunta pari a $N_{sd} = 59,97$ kN.

Il momento flettente di calcolo è assunto pari a $M_{sd} = -129,30$ kNm.

The screenshot shows the 'Verifica C.A. S.L.U.' software interface. It includes a menu bar (File, Materiali, Opzioni, Visualizza, Progetto Sez. Rett., Sismica, Normativa: NTC 2008), a toolbar, and several data entry fields. The 'Sollecitazioni' section shows $N_{Ed} = 59,97$ kN and $M_{xEd} = -129,30$ kNm. The 'Materiali' section lists properties for B450C and C35/45, including $\sigma_c = -15,18$ N/mm² and $\sigma_s = 227,9$ N/mm². A 'Verifica' button and 'N* iterazioni: 3' are also visible.

Le tensioni sui materiali risultano pari a:

$$\sigma_c = 15,18 \text{ N/mm}^2 < 0,45 f_{ck} = 16,81 \text{ N/mm}^2$$

$$\sigma_s = 227,90 \text{ N/mm}^2 < 0,80 f_{yk} = 360,00 \text{ N/mm}^2$$

La verifica risulta pertanto soddisfatta.

14.3.5 VERIFICA ALLO STATO LIMITE DI LIMITAZIONE DELLE TENSIONI – COMBINAZIONE CARATTERISTICA

La combinazione di carico maggiormente gravosa è risultata la combinazione **SLE-CAR.82**.
 L'azione normale di calcolo è assunta pari a $N_{sd} = 60,05$ kN.
 Il momento flettente di calcolo è assunto pari a $M_{sd} = 132,94$ kNm.

The screenshot shows the 'Verifica C.A. S.L.U.' software interface. Key input fields include:

- Titolo:** (empty)
- N° strati barre:** 2
- Table 1:**

N°	b [cm]	h [cm]
1	100	25
- Table 2:**

N°	As [cm²]	d [cm]
1	38,01	6,7
2	38,01	18,3
- Sollecitazioni:**
 - N_{Ed} : 0
 - M_{xEd} : 0
 - M_{yEd} : 0
 - Applied: 60,05 kN (N), 132,94 kNm (M)
- Materiali:**
 - B450C: ϵ_{su} 67,5‰, f_{yd} 391,3 N/mm², E_s 200.000 N/mm², E_s/E_c 15, ϵ_{syd} 1,957‰, $\sigma_{s,adm}$ 255 N/mm²
 - C35/45: ϵ_{c2} 2‰, ϵ_{cu} 3,5‰, f_{cd} 19,83 N/mm², f_{cc}/f_{cd} 0,8, $\sigma_{c,adm}$ 13,5 N/mm², T_{co} 0,8, T_{c1} 2,257
- Stress Results:**
 - σ_c : -15,61 N/mm²
 - σ_s : 234,5 N/mm²
 - ϵ_s : 1,172‰
 - d : 18,3 cm
 - x : 9,143, x/d : 0,4996
 - δ : 1
- Method of Calculation:** Metodo n
- Iterations:** 3
- Precompressed:** (unchecked)

Le tensioni sui materiali risultano pari a:
 $\sigma_c = 15,61 \text{ N/mm}^2 < 0,45 f_{ck} = 16,81 \text{ N/mm}^2$
 $\sigma_s = 234,50 \text{ N/mm}^2 < 0,80 f_{yk} = 360,00 \text{ N/mm}^2$
 La verifica risulta pertanto soddisfatta.

14.3.6 VERIFICA ALLO STATO LIMITE DI FESSURAZIONE

Per la verifica allo Stato Limite di fessurazione è stata utilizzata la procedura semplificata prevista dalla Circolare C.S.LL.PP. n.617 del 02.02.2009 – par. C4.1.2.2.4.6 – Tab. C4.1.II e C4.1.III. Le condizioni considerate sono riportate nella tabella seguente.

La verifica semplificata allo SL di fessurazione viene condotta secondo quanto previsto dalla Circolare C.S.LL.PP. n.617 del 02.02.2009, par. C4.1.2.2.4.6, tab. C4.1.II e C4.1.III.

TABELLA C4.1.II - Diametri massimi delle barre per il controllo di fessurazione			
Tensione nell'acciaio σ_s [N/mm ²]	Diametro massimo \varnothing delle barre [mm]		
	$w_3 = 0,40$ mm	$w_2 = 0,30$ mm	$w_1 = 0,20$ mm
160	40	32	25
200	32	25	16
240	20	16	12
280	16	12	8
320	12	10	6
360	10	8	0

TABELLA C4.1.III - Spaziatura massima delle barre per il controllo di fessurazione			
Tensione nell'acciaio σ_s [N/mm ²]	Spaziatura massima s delle barre delle barre [mm]		
	$w_3 = 0,40$ mm	$w_2 = 0,30$ mm	$w_1 = 0,20$ mm
160	300	300	200
200	300	250	150
240	250	200	100
280	200	150	50
320	150	100	0
360	100	50	0

CRITERI DI SCELTA DELLO STATO LIMITE DI FESSURAZIONE

I criteri di scelta dello Stato Limite di fessurazione sono definiti secondo quanto riportato dal D.M. 14.01.2008, par. 4.1.2.2.4.5, tab. 4.1.IV.

Condizioni ambientali: Armatura:

COMBINAZIONE ALLO S.L.E. QUASI PERMANENTE

Stato limite:		apertura fessure	
Ampiezza massima delle fessure:	$w_d \leq$	w1	
Tensione massima nell'acciaio calcolata:	$\sigma_{s,max}$	210,50	[N/mm ²]
Diametro massimo delle barre di armature poste in opera:	\varnothing_{max}	22	[mm]
Spaziatura massima delle barre di armatura poste in opera:	s_{max}	100,00	[mm]
Diametro massimo delle barre di armatura consentito:	\varnothing_{max}	12,00	[mm]
Spaziatura massima delle barre di armatura consentita:	s_{max}	100,00	[mm]

VERIFICA NEGATIVA - PROCEDERE CON LA VERIFICA ANALITICA

COMBINAZIONE ALLO S.L.E. FREQUENTE

Stato limite:		apertura fessure	
Ampiezza massima delle fessure:	$w_d \leq$	w2	
Tensione massima nell'acciaio calcolata:	$\sigma_{s,max}$	227,90	[N/mm ²]
Diametro massimo delle barre di armature poste in opera:	\varnothing_{max}	22	[mm]
Spaziatura massima delle barre di armatura poste in opera:	s_{max}	100,00	[mm]
Diametro massimo delle barre di armatura consentito:	\varnothing_{max}	16,00	[mm]
Spaziatura massima delle barre di armatura consentita:	s_{max}	200,00	[mm]

VERIFICA NEGATIVA - PROCEDERE CON LA VERIFICA ANALITICA

14.3.7 VERIFICA ALLO STATO LIMITE DI FESSURAZIONE – COMBINAZIONE QUASI PERMANENTE

Vista l'effettiva presenza di uno strato di rete elettrosaldata superiormente ed inferiormente, ai fini della verifica a fessurazione si tiene conto di quest'ultima.

VERIFICA ALLO STATO LIMITE DI APERTURA DELLE FESSURE									
H	25	cm	Armatura tesa nell'area di cls efficace:			Armatura compressa:			
b	100	cm	A_s	39,43	cm ²	A_s'	39,43	cm ²	
			$y_{G, A_s} (*)$	6,65	cm	$y_{G, A_s'} (*)$	18,35	cm	
$c_{f, \text{effettivo}}$	4	cm	(*) da lembo teso						
$c_{f, \text{norma}}$	4	cm	x (cm) (*)	n_{ferri}	Φ (mm)	x (cm) (*)	n_{ferri}	Φ (mm)	
d	18,35	cm	5,3	5	6	19,7	5	6	
			6,7	10	22	18,3	10	22	
R_{ck}	45	MPa							
f_{ctm}	3,42	MPa							
f_{ctk}	2,39	MPa							
E_s	210000	MPa							
n	15								
			Φ_{medio}	16,666667	mm	Φ_{staffe}	10	mm	
Sezione interam. reagente			Calcolo delle tensioni nella sezione fessurata						
y_G	12,50	cm	N	59,97	kN	carico assiale agente			
A_{ideale}	3683	cm ²	M	119,81	kN m	momento agente			
I_{ideale}	170690	cm ⁴	e	199,78	cm	eccentricità GRANDE ECCENTRICITÀ			
			en	3,71	cm	estremità nocciolo d'inerzia			
			d_G	12,50	cm	baricentro armature			
			u	187,28	cm	distanza centro di pressione - lembo compresso			
			p	-91046,688	cm ²				
			q	-10302899	cm ³				
			y_p	196,52	cm	distanza asse neutro - centro di pressione			
			y_c	9,24	cm	asse neutro			
			A^*	2106	cm ²	area ideale			
			S_n^*	404	cm ³	momento statico relativo all'asse neutro			
			I_n^*	79344,633	cm ⁴	momento d'inerzia relativo all'asse neutro			
			σ_c	13,72	MPa	massima tensione di compressione nel cls			
			σ_s	203,07	MPa	tensione di trazione nell'acciaio			
			Calcolo delle tensioni nella condizione di carico di prima fessurazione						
			N	60	kN	carico assiale agente			
			M_F	49	kN m	momento di prima fessurazione			
			e	81,49	cm	eccentricità GRANDE ECCENTRICITÀ			
			u	68,99	cm	distanza centro di pressione - lembo compresso			
			p	-8494,943	cm ²				
			q	-182994,05	cm ³				
			y_p	78,51	cm	distanza asse neutro - centro di pressione			
			y_c	9,52	cm	asse neutro			
			A^*	2135	cm ²	area ideale			
			S_n^*	1016	cm ³	momento statico relativo all'asse neutro			
			I_n^*	79753,919	cm ⁴	momento d'inerzia relativo all'asse neutro			
			σ_{cr}	5,62	MPa	massima tensione di compressione nel cls			
			σ_{sr}	78,16	MPa	tensione di trazione nell'acciaio			
			β_1	1					
			β_2	0,5					
			k_1	0,8					
			k_2	0,5					
			k	-					
			$h_{A, \text{cls eff}}$	16,62	cm				
			$A_{\text{cls eff}}$	1662,45	cm ²				
			ρ_r	0,0237					
			σ_s	203,07	MPa				
			σ_{sr}	78,16	MPa				
			ϵ_{sm}	0,0009					
			s_{rm}	120,3	mm				
			w_m	0,108	mm				
			β	1,7					
			χ	1					
			w_k	0,183	mm				
			$w_k \text{ limite}$	0,2	mm				
			w_k	<	$w_k \text{ limite}$				

14.3.8 VERIFICA ALLO STATO LIMITE DI FESSURAZIONE – COMBINAZIONE FREQUENTE

Vista l'effettiva presenza di uno strato di rete elettrosaldata superiormente ed inferiormente, ai fini della verifica a fessurazione si tiene conto di quest'ultima.

VERIFICA ALLO STATO LIMITE DI APERTURA DELLE FESSURE									
H	25	cm	Armatura tesa nell'area di cls efficace:			Armatura compressa:			
b	100	cm	A_s	39,43	cm ²	A_s'	39,43	cm ²	
			$y_{G, A_s} (*)$	6,65	cm	$y_{G, A_s'} (*)$	18,35	cm	
$c_{f, \text{effettivo}}$	4	cm	(*) da lembo teso						
$c_{f, \text{norma}}$	4	cm	x (cm) (*)	n_{ferri}	Φ (mm)	x (cm) (*)	n_{ferri}	Φ (mm)	
d	18,35	cm	5,3	5	6	19,7	5	6	
			6,7	10	22	18,3	10	22	
R_{ck}	45	MPa							
f_{ctm}	3,42	MPa							
f_{ctk}	2,39	MPa							
E_s	210000	MPa							
n	15								
			Φ_{medio}	16,666667	mm	Φ_{staffe}	10	mm	
Sezione interam. reagente			Calcolo delle tensioni nella sezione fessurata						
y_G	12,50	cm	N	59,97	kN	carico assiale agente			
A_{ideale}	3683	cm ²	M	129,3	kN m	momento agente			
I_{ideale}	170690	cm ⁴	e	215,61	cm	eccentricità GRANDE ECCENTRICITÀ			
			en	3,71	cm	estremità nocciolo d'inerzia			
			d_G	12,50	cm	baricentro armature			
			u	203,11	cm	distanza centro di pressione - lembo compresso			
			p	-108456,96	cm ²				
			q	-13455997	cm ³				
			y_p	212,33	cm	distanza asse neutro - centro di pressione			
			y_c	9,22	cm	asse neutro			
			A^*	2105	cm ²	area ideale			
			S_n^*	374	cm ³	momento statico relativo all'asse neutro			
			I_n^*	79333,515	cm ⁴	momento d'inerzia relativo all'asse neutro			
			σ_c	14,80	MPa	massima tensione di compressione nel cls			
			σ_s	219,78	MPa	tensione di trazione nell'acciaio			
			Calcolo delle tensioni nella condizione di carico di prima fessurazione						
			N	60	kN	carico assiale agente			
			M_F	49	kN m	momento di prima fessurazione			
			e	81,49	cm	eccentricità GRANDE ECCENTRICITÀ			
			u	68,99	cm	distanza centro di pressione - lembo compresso			
			p	-8494,943	cm ²				
			q	-182994,05	cm ³				
			y_p	78,51	cm	distanza asse neutro - centro di pressione			
			y_c	9,52	cm	asse neutro			
			A^*	2135	cm ²	area ideale			
			S_n^*	1016	cm ³	momento statico relativo all'asse neutro			
			I_n^*	79753,919	cm ⁴	momento d'inerzia relativo all'asse neutro			
			σ_{cr}	5,62	MPa	massima tensione di compressione nel cls			
			σ_{sr}	78,16	MPa	tensione di trazione nell'acciaio			
			β_1	1					
			β_2	0,5					
			k_1	0,8					
			k_2	0,5					
			k	-					
			$h_{A, \text{cls eff}}$	16,62	cm				
			$A_{\text{cls eff}}$	1662,45	cm ²				
			ρ_r	0,0237					
			σ_s	219,78	MPa				
			σ_{sr}	78,16	MPa				
			ϵ_{sm}	0,00098					
			s_{rm}	120,3	mm				
			w_m	0,118	mm				
			β	1,7					
			χ	1					
			w_k	0,200	mm				
			$w_k \text{ limite}$	0,3	mm				
			w_k	<	$w_k \text{ limite}$				

14.3.9 VERIFICA ALLO STATO LIMITE ULTIMO PER PRESSOFLESSIONE

La combinazione di carico maggiormente gravosa è risultata la combinazione **STR.82**.

L'azione normale di calcolo è assunta pari a $N_{sd} = 89,48$ kN.

Il momento flettente di calcolo è assunto pari a $M_{sd} = -195,55$ kN/m.

The screenshot shows the 'Verifica C.A. S.L.U.' software interface. Key parameters include:

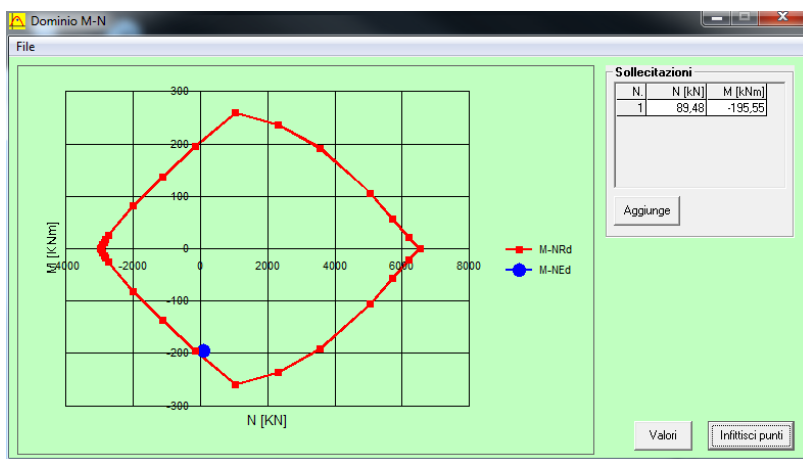
- Section Properties:** N° strati barre = 2. Table:

N°	As [cm²]	d [cm]
1	38,01	6,6
2	38,01	18,4
- Applied Forces:** N Ed = 89,48 kN; M xEd = -195,55 kNm; M yEd = 0.
- Material Properties:** B450C (steel), C25/30 (concrete). $\epsilon_{su} = 67,5\%$; $f_{yd} = 391,3$ N/mm²; $E_s = 200.000$ N/mm²; $\epsilon_{cu} = 2\%$; $f_{cd} = 14,17$ N/mm²; $E_c = 3,5\%$; $\epsilon_{sc} / \epsilon_{cd} = 0,8$.
- Design Results:** $M_{Rd} = -210,6$ kNm; $\sigma_c = -14,17$ N/mm²; $\sigma_s = 391,3$ N/mm²; $\epsilon_c = 3,5\%$; $\epsilon_s = 4,059\%$; $d = 18,4$ cm; $x = 8,519$; $x/d = 0,463$.

Il momento resistente risulta pari a:

$M_{Rd} = -210,60$ kN/m $>$ $M_{sd} = -195,55$ kN/m.

Nell'immagine successiva è riportato il dominio di resistenza della sezione:



La verifica risulta pertanto soddisfatta.

14.3.10 VERIFICA ALLO STATO LIMITE ULTIMO PER TAGLIO

La combinazione di carico maggiormente gravosa è risultata la combinazione **STR.87**.

L'azione tagliante di calcolo è assunta pari a **$V_{S,d} = 432,60$ kN**.

A favore di sicurezza non viene considerato il contributo dell'azione normale.

Per la verifica a taglio a favore di sicurezza si considerano n°4 braccia.

CARATTERISTICHE GEOMETRICHE DELLA SEZIONE			
Base della sezione trasversale:	b	100,00	[cm]
Altezza della sezione trasversale:	h	25,00	[cm]
Copriferro netto:	c	4,00	[cm]
Altezza utile della sezione:	d	21,00	[cm]

CARATTERISTICHE DEI MATERIALI			
Classe di resistenza del calcestruzzo:		C35/45	
Resistenza caratteristica cubica a compressione:	R_{ck}	45,00	[N/mm ²]
Resistenza caratteristica cilindrica a compressione:	f_{ck}	37,35	[N/mm ²]
Resistenza di calcolo a compressione:	f_{cd}	21,17	[N/mm ²]
Tipologia dell'acciaio da armatura:		B450C	
Tensione caratteristica di rottura:	f_{tk}	540,00	[N/mm ²]
Tensione caratteristica di snervamento:	f_{yk}	450,00	[N/mm ²]
Resistenza di calcolo:	f_{yd}	391,30	[N/mm ²]

AZIONI SOLLECITANTI DI CALCOLO			
Azione tagliante di calcolo:	$V_{S,d}$	432,60	[kN]
Azione normale di calcolo:	$N_{S,d}$	0,00	[kN]

ARMATURA TRASVERSALE			
Inclinazione dei puntoni di calcestruzzo:	θ	45,00	[°]
Cotangente dell'angolo θ :	$\cot(\theta)$	1,00	
Inclinazione dell'armatura trasversale rispetto all'asse della trave:	α	90,00	[°]
Numero di bracci dell'armatura trasversale:	n	4,00	
Passo longitudinale delle armature trasversali:	s	5,00	[cm]
Diametro dell'armatura trasversale:	\varnothing_{trav}	10,00	[mm]
Area della singola barra:	A_{barra}	0,79	[cm ²]
Area totale dell'armatura trasversale:	A_{tot}	63,20	[cm ² /m]

VERIFICA ALLO S.L.U. PER TAGLIO			
La verifica allo S.L.U. per taglio viene condotta secondo quanto previsto dal D.M. 14.01.2008, par.4.1.2.1.3.2			
La resistenza di calcolo a "taglio trazione" viene valutata mediante la seguente relazione:			
$V_{Rsd} = 0,9 \cdot d \cdot \frac{A_{sw}}{s} \cdot f_{yd} \cdot [\cot(\alpha) + \cot(\theta)] \cdot \sin(\alpha)$			
La resistenza di calcolo a "taglio compressione" viene valutata mediante la seguente relazione:			
$V_{Rcd} = 0,9 \cdot d \cdot b_w \cdot \alpha_c \cdot f_{cd} \cdot \frac{[\cot(\alpha) + \cot(\theta)]}{[1 + \cot^2(\theta)]}$			
Larghezza minima della sezione:	b_w	100,00	[cm]
Resistenza a compressione ridotta del calcestruzzo:	f_{yd}	10,58	[N/mm ²]
Tensione media di compressione nella sezione:	σ_{cp}	0,000	[N/mm ²]
Coefficiente maggiorativo α_c :	α_c	1,0000	
RESISTENZA DI CALCOLO A "TAGLIO TRAZIONE"	V_{Rsd}	467,41	[kN]
RESISTENZA DI CALCOLO A "TAGLIO COMPRESSIONE"	V_{Rcd}	1.000,05	[kN]
AZIONE TAGLIANTE RESISTENTE DELLA SEZIONE:	$V_{R,d}$	467,41	[kN]
COEFFICIENTE DI SICUREZZA:	$F_s = V_{R,d} / V_{S,d}$	1,08	

LA VERIFICA RISULTA POSITIVA			
-------------------------------------	--	--	--